

МИНИСТЕРСТВО ГЕОЛОГИИ СССР
ОБЪЕДИНЕНИЕ «АЭРОГЕОЛОГИЯ»

Уч. № 026

ГОСУДАРСТВЕННАЯ
ГЕОЛОГИЧЕСКАЯ
КАРТА СССР

МАСШТАБА 1:200 000

СЕРИЯ МАЙСКАЯ

Листы О-53-XVIII (Курун-Урах), О-53-XXIV

Объяснительная записка

Составители: С. В. Поганов, А. Ф. Лобанова

Редактор А. Л. Ставицев

Утверждено Научно-редакционным советом Мингео СССР при ВСЕГЕИ
27 декабря 1984 г., протокол № 40

О ГЛАВЛЕНИЕ

Стр.

| | |
|-------------------------------------|-----|
| Введение | 5 |
| Геологическая изученность | 6 |
| Стратиграфия | 14 |
| Интузивные образования | 42 |
| Тектоника | 55 |
| Геоморфология | 64 |
| Полезные ископаемые | 69 |
| Потевые воды | 91 |
| Оценка перспектив района | 93 |
| Литература | 99 |
| Приложения | 105 |

ВВЕДЕНИЕ

Территория листов 0-53-XVII и 0-53-XVIII ограничена координатами 57°20' - 58°40' с.ш. и 137°00' - 138°00' в.д. и административно относится к Аяно-Майскому району Хадаровского края. Она располагается в южных отрогах хр.Джутикур, к северо-западу переходящих в Юдомо-Майское нагорье.

Район горно-таежный, рельеф среднегорный, сильно расчлененный. В предгорьях хр.Джутикур водоразделы узкие, гребенеобразные (абс.высота 1071-1569 м, превышения 450-660 м), склоны крутое (до 40°). На Юдомо-Майдском нагорье водоразделы широкие, плоские (абс.высота 745-774 м, превышения 350-600 м), склоны пологие.

Реки принадлежат бассейну р.Мая, которая пересекает северо-западную часть района. Ширина русла до 160 м, глубина до 2-3 м, скорость течения 0,7-1,0 м/с. Крупный левый приток р.Мая - р.Сев.Уй пересекает район с юго-запада. Ширина его русла 60-90 м, глубина 1,0-1,5 м, скорость течения 1,5 м/с. Остальные реки неширокие (до 60 м), скорость течения 0,5-1,8 м/с, изобилуют перекатами и косами. Замерзают реки в октябре, вскрываются в мае, и только глубокие пльес крупных рек не промерзают до дна. Реки Мая и Сев.Уй (до устья р.Тогты) проходят на моторных лодках. По рекам Нёт, Тогта, Челсиин, Иотган можно сплавляться на легких резиновых лодках.

Климат резко континентальный. По данным метеостанции в пос.Курун-Урх, среднегодовая температура -10°C, годовое количества осадков 377 мм, около 75% их выпадает в мае - сентябре. Зима длится с октября по май. Средняя температура января -37,7°C, минимальная -52,4°C; средняя температура июля +15,4°C, максимальная +30,7°C. Снеговой покров неподъемный (в среднем 0,5 м). Повсеместно развита многолетняя мерзлота. Глубина сезонного оттаяния грунтов 0,7-3 м.

В тайге преобладает даурская лиственница, реже встречаются сосна, ель, в долинах крупных рек — тополь. Всего деревьев 15—20 м, диаметр 0,25—0,5 м, у короля — до 1,5 м. Выше границы леса располагаются заросли кедрового стланника. Широко развиты сухостой, гаря, лесные занавы, густые поросли молодняка и кустарника.

У северной границы района в пос. Курун-Уржак расположаются метеостанция, полевые базы Аяно-Майской ГРЭ (ПО "Дальгегиология") и артели стартелей (трест "Амурзолото"). Здесь продолжаются начатые почти 50 лет назад поиски, разведка и разработка золотых россыпей. В Курун-Уржак имеется посадочная площадка для самолетов Ан-2. Он соединен автозимником с пос. Нелкан, расположенным на р. Маэ в 90 км к западу от района, где сосредоточены Аяно-Майская ГРЭ,правление оленеводческого союза и Рыбхоза, отделение почтово-телеграфной связи, больница, аэропорт и речной порт.

Обнаженность района плохая, коренные выходы пород встречаются лишь на водоразделах и в беретовых обнажениях. Мощность рыхлых покровных образований не более 2—3 м, редко до 10—15 м.

Проходимость плохая, а в долинах крупных рек очень плохая. Вместе с тем степень доступности района для исследования вполне удовлетворительная. На аэрофотоснимках и космических снимках высокого разрешения хорошо различируются литологические пачки пород, простирающиеся и падение пластов, генетические и возрастные комплексы четвертичных рыхлых образований, протяженные сияны и дайки, интузионные массивы, фрагменты складок, разломов на космических снимках среднего и низкого разрешения видны протяженные линейные субмеридиональные и субширотные разрывные нарушения.

ГЕОЛОГИЧЕСКАЯ ИЗУЧЕННОСТЬ

В 1913 г. В.Н. Зверев и В.С. Панкратов (Госгеолком) прошли маршрутом по рекам Маэ, Челасину, Сев. Ур. Развитые здесь осадочные породы они сопоставили с фаунистически оконтактированными камбрийскими отложениями низовьев р. Маэ /10/.

В 1933—1934 гг. А.А. Леонтьев и др. (ДВГУ), производившие оценку соленоности бассейна р. Маэ, расчленили осадочную толщу на карбонатные и терригенные пачки; были выделены дайки габбро-диабазов и небольшие массивы мезозойских гранитоидов. Перспективы соленоности оценили отрицательно, но было обращено внимание на повышенную близкиминозность осадочных отложений /17/.

В 1936 г. В.Н. Натаров (трест "Золоторазведка") при поисковых работах в бассейне р. Нелкан выявил плаковой ореол золота по левому притоку руч. Курун-Уржак, а в 1937 г. открыл здесь промышленную россыпь. До 1940 г. золото добывалось стартелями /53/.

В 1937 г. Ю.К. Дзевановский (трест "Золоторазведка") в

II долинах бассейна р. Челасин обнаружил единичные знаки золота, а выходящую здесь терригенно-карбонатную толщу разделил на майлскую, челябинскую и нельзянскую свиты и отнес их к кембрию /8,9/.

В 1938 г. В.А. Ярмолюк (ДВГУ) проводил геологическую съемку масштаба 1:200 000 на правобережье р. Маэ (переоцененную и прорванную речением ДВГУ в 1956 г. к съемке масштаба 1:500 000). В терригенно-карбонатной толще бассейна р. Нелкан были найдены среднекембрийские трилобиты. В том же году В.А. Кузнецов (трест "Золоторазведка") выявил шлиховые ореолы золота и шеелита в притоках р. Лев. Нелкан (северо-запад листа 0-53-ХШ) /69/.

В 1938—1939 гг. Н.И. Зайдев на составленной по материалам В.Н. Натарова геологической карте масштаба 1:200 000 показал в бассейне р. Нелкан доломитовую и перинскую свиту среднего, квартовидную свиту верхнего кембра и метаморфическую свиту кембр-ро-ситура (?), а также лайки пластазов /41/.

В 1940 г. трестом "Джуликэрзолово" был создан присык Курун-Уржак, который действовал до 1958 г.

В 1941 г. В.А. Ярмолюк расчленил осадочную толщу по р. Маэ на семь свит: майскую, малгинскую, челябинскую, лахандинскую, кандинскую, юломскую и пестроливую. Выявление несогласия в основании юломской свиты и предположение о принадлежности ее к зоне Olenellus позволили В.А. Ярмолюку отнести дююромские отложения к протерозое /27/.

В 1942—1944 гг. В.Н. Натаров (трест "Джуликэрзолово") в результате поисково-разведочных работ в окрестностях присыка Курун-Уржак расширил его перспективы. В 1944 г. поиски россыпного золота проводили сотрудники того же треста В.А. Шомилова (в бассейнах р. Тогта и нижнего течения р. Челасин), В.И. Петушкин (в верховьях р. Нет), В.Н. Натаров (в верховьях р. Сев. Ур.), В.А. Шмырин (в междууречье Сев. Ур. и Челасина). Только В.А. Шмырину удалось установить знаковое содержание золота в руслоных отложениях рек Большой и Малый Конуй /53/.

В 1945—1948 гг. В.А. Шмырин в том же районе проводил поиски коренного золота; в 1945 г. такими же поисками в вершине кг. Малого — левого притока руч. Курун-Уржак занимался Ф.А. Поганов. Результат поисков оказался отрицательным /58, 68/.

В 1949 г. В.И.Нагаров и В.А.Димитрова при проведении регионально-увязочных маршрутов выделили на востоке района "бильякчанские слои" метаморфизованных кварцитоидных песчаников, разделенные на три свиты вулканогенную толщу и установили архейский, протерозойский и мезойойский интрузивные комплексы /53/.

В 1951 г. О.Ф.Шишкановой (ДГУ) был составлен обобщенный очерк по геологии и металлогении Малко-Охотского рудного района /67/.

В 1952 г. Ю.К.Горелый и др. (ДГУ) по результатам маркетинговых исследований по р.Мак отрицательно оценили перспективы протерозойских отложений в отношении осадочной минерализации /33/.

В 1956 г. В.И.Нагаров разведочными работами на присыке Курун-Урех впервые выявил коренное золото в кварцевом штокверке в верховьях кр.Малотка /54/.

В 1956-1957 гг. Е.Г.Херувимова (ВАГТ) провела аэромагнитную съемку масштаба 1:200 000 на листе 0-53-ХШ, а также в северной и южной третях листа 0-53-ХШ. Было показано, что на фоне общего отрицательного поля интенсивностью до минус 4 мЭ выделяются положительные аномалии от 2-5 до 15 мЭ, оконтуривающие выходы гранитоидов /64, 65/.

В 1957 г. С.М.Калмулин, И.С.Баранова, С.В.Нужнов (ВАГТ) провели на территории листа 0-53-ХШ геологическую съемку масштаба 1:1 000 000 с широким использованием аэрофотоснимков. Были выделены гончанская, энинская, омнинская, малтинская, ципандинская, лахадинская, каныкская свиты, относенные к синии, юломской, пестровецкой, иниканской, нельзинской свитам, относенные к нижнему камбрию. К верхней части синии также относятся условно "бильякчанские слои" метаморфизованных песчаников и аргиллито-альвролитовые "тотинские" слои. Кроме того, были установлены позднеюрские - раннемеловые вулканогенные образования среднего состава, предположительно палеозойские даики и сильные диабазов, позднемеловые гранитоиды (Лягушурский комплекс), а также в отложениях омниской и лахадинской свит, молибдана, меди и полиметаллических руд в эндо-экзоконтактовых зонах Лягушурских гранитоидов /30, 44/.

В том же году Г.О.Гужасян и др. (Геологическое управление) в процессе аэрополисовых работ, сопровождающих наземной зондировкой аномалий, выявили Малокумское медно-полиметаллическое проявление. В.М.Терентьев и др. (всегда) составили металлогеническую карту рудного участка /37/.

В 1958 г. А.С.Филиппов, С.М.Калмулин и др. (ВАГТ) провели геологическую съемку масштаба 1:200 000 на листе 0-53-ХШ. Сибирский комплекс с омнинской свитой в основании был разделен на три свиты включительно, так же как на площади северного края листа 0-53-ХШ. Были выделены три новые свиты: челятская, курунуржская и неруринская, на которых не согласовано залегание юшомской свиты, среднего кембрия и джунистических охарактеризованные породы нижнего силура и нижнего карбона. Были откартированы силы и даичи палеозойских диабазов и габбро-диабазов, а также малые интрузии позднемеловых гранитоидов, сопровождающиеся мелкими даичами и жилами кислого-среднего состава, реже кварца. Кроме того, выявлены проявления железа в лахадинской свите, фосфора - в омнинской, а в восточной части листа - шлиховые ореолы золота и щелочного потока рассекания уранинита (?) /43/.

В том же году К.А.Комлак и др. (СВГУ) выделили на посередине восточного района (верховья рек Сев.У и Магтан) амфиболиты и гнейсы, которые отнесли к архею /45/, а В.М.Терентьев, В.А.Рудник и др. (ВСЕГЕИ) дали подробную характеристику кремнисто-камногравому метасоматизу, проявленному в зоне Бильякчанского глубинного разлома. К метасоматитам, в частности, отнесены щелочные интрузии бильякчанского комплекса.

В 1959 г. С.М.Калмулин, М.С.Баранова и др. (ВАГТ) провели геологическую съемку масштаба 1:200 000 в восточной половине листа 0-53-ХШ. В отличие от схемы расчленения осадочной толщи, предложенной авторами в 1957 г., "бильякчанские слои" (бильякчанская, гончанская, омнинская, малтинская, ципандинская, лахадинская, каныкская, устьхоринская, челятская и курунуржская свиты). Вулканогенные образования были расчленены на джелоноскую (верхняя юра - нижний мел), магейскую (нижний мел) и мевачансскую (палеоген) свиты. Выделены щелочные граниты и граносиениты (бильякчанский комплекс), синийские и среднепалеозойские даики диабазов и габбро-диабазов, позднегорские и ранне-позднемеловые (Лягушурский комплекс) гранитоиды, позднемеловые субшелочные граниты. В бассейне р.Мак.Кому были выявлены знаки золота в аллювии, геохимические аномалии серебра и поля окварцованных пиритизированных пород, что привело позже к выделению здесь Олховского рудного поля /44/.

В том же году Н.С.Шак, В.И.Гольденберг, С.В.Нужнов, В.А.Самозванцев (ВАГТ) составили Государственную геологическую карту масштаба 1:1 000 000 листа 0-53. В объяснительной запис-

хе, изданной в 1962 г., определено структурное положение района в зоне переходной складчатости на стыке восточной окраины Сибирской платформы и Верхоянской складчатой системы /26/.

В 1960 г. В.Р.Алексеев и др. (ВАГТ) провели тематические работы по стратиграфическому расчленению отложений нижнего и среднего палеозоя. Для севера района было установлено значительное изменение мощности и фации кембрийских отложений в широтном направлении, что послужило основанием для выделения западного и восточного типов разреза. Было показано, что на терригенных отложениях ульской серии верхнего протерозоя залегают юлонская свита, выше которой располагаются фаунистически характеризованные породы пестролистовой и иннанской свит нижнего кембра. Отложения среднего – верхнего (?) кембра были выделены в потоканскую толщу. На ней несогласно залегают породы нижнего ордовика, нижнего силура, нижнего карбона /1,29/.

В 1961 г. А.А.Ельянов, М.С.Баранова и др. (ВАГТ) провели геологическую съемку масштаба 1:200 000 западной (за исключением правобережья р.Сев.Ул.) половины листа О-53-ХХII. Впервые были выделены раннемеловые субувалические образования среднего – кислого состава. Выявлены Джалгинское проявление молибдена, Мавинское проявление бора и полиметаллических руд, золотая Марализация в субувалических образованиях, проявления железа в отложениях лахалинской свиты, а также небольшие шлиховые обробы золота, шеита /36/.

В 1963–1966 гг. В.С.Майоранов (ДВГУ) провел в районе гравиметрическую съемку масштаба 1:1 000 000. На фоне нулевых и отрицательных изоманомал выделены положительные аномалии на юго-востоке и юго-западе района /49,50/.

В 1963–1965 гг. В.С.Кузьмин, О.А.Степанов и др. (ДВГУ), А.Ф.Бутикова, Е.В.Кубышкин (ИМГРЭ) изучали борносность Челасинского района. Известные на Мавинском и Малокумыкском участках (юг листа О-53-ХХII) борносные скары получили отрицательную оценку из-за низких содержаний антидрида бора и установленного магнитометристами наблюдениями неглубокого распространения оруднения /47/.

В 1964 г. Н.И.Шапочка (ДВГУ) провел аэромагнитную съемку масштаба 1:200 000 средней трети листа О-53-ХХII. При геофизической интерпретации была выделена субширотная региональная зона, совпадающая с долиной р.Сев.Ул. и уходящая далеко на запад (называемая позднее Кетканской) /66/.

В 1965–1976 гг. М.А.Самахатов, В.Л.Комар, С.Н.Серебряков (ГИН АН СССР) изучали вендинские (пционские) и рифейские отложе-

ния Учуро-Матского района. Было показано, что в центральной части Юдомо-Майского прогиба нижний рифей (учурская свита) отсутствует, а в основании осадочной толщи здесь залегают талько-светло-серые отложения, выделенные в амчанскую серию; мощность рифейских и юлонских отложений значительно возрастает от периферии к внутренней зоне прогиба. Выделены в дополнение к нижне- и среднерифейскому верхнерифейский и юлонский комплексы строматолитов, обособленные в три последовательные ассоциации: сметлинскую, приандинскую и лахалинскую (нерянская), которые стали рассматриваться как палеонтологическое обоснование соответствующих стратиграфических подразделений /24,25/.

В 1968–1973 гг. Д.А.Дильсов и др. (ВАГТ) проводили оценку доконтактности позднепротерозойских отложений. На правобережье р.Мал (северо-восток листа О-53-ХУ) и на левобережье р.Чалсан (юго-запад листа О-53-ХХII) была установлена предлаханинская кора выветривания. Из-за незначительной мощности и низкого содержания пинозема перспективы были оценены отрицательно /37,38/.

В 1969–1971 гг. И.Н.Щоров и др. (ВАГТ) провели геологическую съемку масштаба 1:50 000 на юго-востоке листа О-53-ХХII (95-Г; 96-В.Г.). Составленная геологическая карта недостаточно согласовывалась со среднескаштабными картами. Был сделан вывод о малой перспективности площади в отношении коренного и первого отложенного золота /35/.

В 1970 г. В.А.Верхковская и др. (ВАГТ) составили металлогеническую карту масштаба 1:500 000 листа О-53 и соседней ю запада части листа О-52. Были выделены Нетеко-Челасинская металлогеническая бокситоносная зона, Челасинский рудный узел с боровой и полиметаллической минерализацией и Комуское рудное поле, перспективное на бор, медь и полиметаллы. Перспективы Челасинского узла на коренное и переотложенное золото оценены отрицательно /28,31/.

В 1973–1975 гг. Б.Е.Рунов, В.С.Колген (ПГО "Аэрогеология") проводили тематические работы по изучению закономерностей размещения золото-редкометального оруднения в зоне Бильганско-глубинного разлома. Бильганско-горстообразное поднятие, по мнению авторов, возникло в мезозое на месте древнего щовного прогиба, который на рубеже архея – протерозоя разграничил Алданский и Охотский блоки земной коры. Выходящие в горах метаморфизованные в эпилит-амфиболитовой и гранито-гнейсовой фации породы были отнесены к позднему архею – раннему протерозою. Аз-

торы прогноziруют золотое и медное оруднение в зеленокаменных толщах, стратиформное медное, марганцевое, полиметальное – в осадочном чехле /12,61/.

В 1973–1975 гг. Л.И.Красный (ВСЕГМ), Ю.П.Рассказов, Ю.И.Некитин (ДВИМС) изучали металлоение Оютского-Майского района: в 1976–1979 гг. Ю.И.Некитин и др. продолжили исследование в пределах Челябинского рудного узла. Были выявлены новые проявления золота (Олух), меди (Снежок), молибдена, полиметаллов, олова, полевоцеменных камней, а также новые перспективные формации: медно-порфировая, медно-колчедановая, золотоносных березитов. Челябинский рудный район был оценен как золотоносный и меденоносный с комплексным (полиметальным) составом большинства рудопроявлений и с характерным разнообразием генетических и формационных типов. Здесь, по мнению авторов, возможно обнаружение коренных месторождений золото-серебряного, золото-березитового, золото-турмалинового типа и россыпей золота, комплексных золото-полиметаллических и медно-порфировых месторождений, боровых месторождений магнезиально-скарнового типа и редкоземельных месторождений в измененных вулканитах /15,19,55,59,60/.

В 1974–1980 гг. Д.А.Жильцов и др. (ПГО "Аэрогеология") проводили поиски олово-вольфрамовых и полиметаллических руд в южной части Верхнеуралья. На площади листа 0-53-ХШ были выявлены проявления меди в осадочных породах усть-Кирбинской свиты (Боронт, Малмыж), скарновое вольфрам-молибденовое проявление Северный и южная медно-свинцово-цинковая минерализация. Перспективы района для поисков полиметаллического сырья оценены положительно /39,40/.

В 1976–1981 гг. А.А.Мяло (ДГУ) проводили поисково-оценочные работы на россыпное золото в пределах Курган-Уральского узла и в бассейне р.Чинка. Выделена Майская и оценена как промышленная Верхненикандская россыпь золота /51,52/.

В 1981–1983 гг. С.В.Погодов, А.Ф.Лобакова, С.А.Чернов и др. (ПГО "Аэрогеология") провели геологическую съемку масштаба 1:200 000 северо-западной части листа 0-53-ХШ и редакционно-вязочные работы на площади листа 0-53-ХШ и в восточной половине листа 0-53-ХХУ, где геологическая съемка масштаба 1:200 000 проводилась до 1960 г. Целью этих работ была подготовка к изданию Геологической карты СССР масштаба 1:200 000 листов 0-53-ХШ и 0-53-ХХУ. В результате работ в районе впервые откартированы среднерибейские талько-светильниковые отложения (амманитовая серия), отвечающие ранее выделенным гонаково-омаутинским и энинским толщам; установлены перерывы в основании

вышележащей тоттинской свиты (майская серия). Установлено, что к Кругуруйской свите (синий) были отнесены разные по возрасту отложения: раннепротерозойские метаморфические породы биляктинской серии, позднерибейская лахандинская подсерия, южноуральские и средне-верхнекаменноугольные отложения с запада на восток фаций и мощности позднерибейско-камбрийских отложений значительно меняются. На юго-востоке выделены раннепротерозойские и раннекомплексные структулярные образования. Установлено, что в центральной части района более широко, чем было показано ранее, развиты силик и даики габбро-диабазов и диабазов, а также кварцевые метасоматиты. Впервые составлена карта рудоисконструирующих факторов и прогноза полезных ископаемых масштаба 1:200 000, выделены три рудных узла: на северо-востоке, в центральной части и на юге района, а в пределах их 12 рудоносных полей (в том числе два – Уманское и Усть-Нетское – в процессе редакционно-вязочных работ). Промышленное развитие района связывается с перспективами обнаружения месторождений золота, меди и других полезных ископаемых /57/.

Геологическая карта, совмещенная с картой полезных ископаемых листов 0-53-ХШ и 0-53-ХХУ, составлена по материалам съемок масштаба 1:200 000, полученным в 1958, 1959, 1961 и 1981 гг. /43, 44, 36, 57/, масштаба 1:50 000 – в 1969–1971 гг. /35/, тематических исследований В.Р.Алексеева и др. /1, 29/ в 1960 г., редакционно-вязочных работ авторов записки /57/ в 1981–1983 гг., с учетом результатов исследований, проведенных как в районе, так и на сопредельных территориях. Были использованы опубликованные карты аномального магнитного поля масштаба 1:200 000 /18/, гравиметрическая карта масштаба 1:1 000 000, аэрофотоснимки масштаба 1:50 000, космоснимки масштаба 1:200 000 – 1:2 500 000. Качество и степень геологической ленифируемости этих материалов хорошие.

Согласно существующей схеме лист 0-53-ХШ относится к Майской серии, а лист 0-53-ХХУ – к Донгуринской. По разрешению НРС ВСЕГМ оба листа подготовлены к печати по сводной легенде Майской серии, утвержденной 03.06.82 г., с общей объяснительной запиской. Геологическая карта полностью связана со схемами издающихся листами 0-53-ХШ, 0-53-ХХШ, 0-53-ХХУ, 0-54-ХШ и 0-54-ХХУ. Имена несоответствия в индексации и возрасте части свит и интузивных образований объясняются получением новых материалов и изменениями названий свит в новой сводной легенде серии /1, 13, 14, 21/.

Сведения о полезных ископаемых дани на карте по состоянию на 1 июля 1984 г.

Биликанская серия

В подготовке материалов к печати и редакционно-увязочных работах, кроме авторов, участвовали А.М.Манукян, Б.С.Неволин, М.М.Старышкин, Т.Н.Анищенко. Определение фауны проводили Т.А.Добролюбова, Е.В.Лермонтова, Н.В.Литвинович, О.Ф.Никандрова, Н.П.Суворова, В.Г.Ганелин, строматолитов – С.В.Нужнов, М.А.Семихатов. Минералогический, подсчеточный спектральный, золотометрический, палеонтологический анализ по работам 1958–1961, 1969–1971 гг. и определение абсолютного возраста выполнены лабораториями ГГО "Аэрогеология", подсчеточный спектральный, золото-, химико-спектральный по работам 1981–1983 гг. – Центральной лабораторией обследования "Центргеодизика", химические анализы – Красковским опытным заводом РОСНИИМС.

СТРАТИГРАФИЯ

В юго-восточной части района на поверхность выходят метаморфизованные вулканогенно-терригенные образования нижнего протерозоя. Очень широко распространены терригенно-карбонатные отложения среднего и верхнего рифов, венда (юромия), нижнего и среднего кембрия, в северной части – нижнего ордовика, нижнего силура, среднего – верхнего карбона. Незначительно в южной части развиты нижнemеловые вулканогенные породы. Четвертичные отложения приурочены к речным долинам. Состав и мощность отложений верхнего рифа, венда и кембра существенно меняются в широтном направлении. Выделяются три фациальные зоны – западная, центральная и восточная, разграниченные Бурзянским и Бильгачанским меридиональными разломами. Западный и восточный типы близки между собой и значительно отличаются от центрального.

Нижний протерозой

Нельбачанская серия (РН₁п₁п₂)

Образования этой серии выходят в двух небольших (до 6 км²) тектонических блоках на левобережье р.Бильгачан и в верховых р.Мал.Комуя (0–53-ХХII). Полосы серии не обнажаются. В вилюйской (400 м) части разреза преобладают (200 м) залежи хлорит-апидот-актинолит-альбитовых сланцев и кварциты (120 м). Последние включают прослои и линзы (до 30 м) темно- и зеленовато-серых порфироидов и флюидово-серых порфироидов.

Образования этой серии обнаруживаются в тектонических складках на юго-востоке на площади обоих листов. Серия разделена на три толщи.

Нижняя толща (РН₁б₁п₁) сложена кварцитами красными, сиреневыми, бурыми, серыми, которые по простиранию замещаются зелеными кварц-хлорит-серидитовыми сланцами. Присутствуют прослои и линзы порфироидов и метасланцевников, в нижней части – метаконгломераты и гравелиты. Основание толщи не вскрыто. В верховых р.Мал.Комуя в нижней части разреза залегают метаконгломераты (видимая мощность 80 м) серые, буроватые, ржаво-коричневые. Состоит из уплощенной хорошо окатанной гальки (2–10 см) и валунов (15–20 см) микрокварцитов (95%), зеленокаменноизмененных пород (до 4%), яшмоидов (до 1%). Цемент (до 5% породы) песчано-гравийный с примесью тонкого агрегата кварца, серпентаита, иногда гематита. Выше располагаются кварциты (400 м) сиреневые, красноватые с линзами (0,5–1 м) зеленых кварц-хлорит-серидит-актинолитовых сланцев и темно-коричневых мелкогалечниковых конгломератов с галькой кварцитов (до 80%), кварца (5–10%), метакамбийзов (5–7%), рогоников (3–5%), цемент песчано-алевритовый, окисленный, слюдистый. В верхней части разреза преобладают (400 м) зеленые сланцы, включающие пласт (120 м) кварцитов.

Общая видимая мощность 1000 м.

На водоразделе рек Сев. Ул и Тоты в нижней части (500 м) толщи залегают красные и красновато-серые кварциты с плавающей галькой (до 3 см) молочно-белого кварца, с прослоями (до 20 м) суроваро-розовых расщепленных порфироидов (липаратовых и диоритовых порфиророз). Верхняя часть (500 м) сложена красными метасланцевниками, пронизанными кварцевыми прожилками; включает линзы зеленовато-серых кварц-серидитовых сланцев (до 50 м), розовых порфироидов (до 10 м) и окисленных песчаников (1–3 м) с гематитовым цементом.

Средняя толща (РН₁б₂п₂) сложена белыми, зеленовато- и светло-серыми массивными кварцитами, ритмично переслаивающимися с кварц-серидит-хлоритовыми сланцами; включает прослои и линзы (до 10 м) темно-зеленых порфироидов и суроваро-розовых порфироидов. Общая мощность 500 м.

Верхняя толща (РН₁б₃п₃), как и средняя, представлена переслаиванием кварцитов (25–70 м) и сланцев (100–170 м). Кварциты рассланцованные, редко массивные, серые, зеле-

новато-серые, бурые; сланцы кварди-хлорит-серидитовые, темно-серые и темно-зеленые, иногда с прожилками (до 3 см) кварца.

Видимая мощность 1300 м.

Общая видимая мощность бильякчанская серии 2800 м.

Как видно, в метаморфических образованиях непальбачанской и бильякчанской серий присутствуют вулканогенные и терригенные породы. Установленные настоллениями замещения по простиранию кварцитов сланцами или метазоикузивами говорят об их синхронном наложении. Породы подверглись метаморфизму в зеленосланцевой, а для непальбачанской серии — до эпилот-амфиболитовой фации метаморфизма. Метазоикузы отличаются портмандибластовыми структурами с гранолепидобластовой основной массой. Во ядраленныхниках (от 5–30 до 60–65% от основной массы) альбит (5–30%), кварц (10–40%), ортоклаз (10–30%), редко микроклин (до 5%). Основная масса состоит из альбита (5–20%), кварца (30–70%) и калиевого полевого шпата (10–30%); новообразованные минералы — серицит (20–30%), алигат (5–30%), реже хлорит (пенин) до 10%, зеленый биотит (3–20%), актинолит (1–2%). Аксессорные минералы — скаполит, офорит, пироксен, апатит. Первоначальная природа сланцев устанавливается по наличию минераломиметических разностей, реликтовых участков с пойкилоподиотоной и микролитовой структурами.

Обломочные зерна в кварцах отличаются хорошей окатанностью и сортировкой по размеру. В их составе преобладает кварц (85–90%), значительно меньше полевого шпата (до 10%). Чемент кварцевый, сплошисто-кварцевый, в красных песчаниках — кварц-гематитовый, контактовый, реже базальтий. С кварцитами бильякчанской серии связаны проявления железа (содержание окиси железа 65,6–80,8%). Спектральный анализ метаморфизованных пород показывает, что только содержание тинка в них в 2 раза (максимальное 0,025%) превышает кварковое.

Раннепротерозойский возраст метаморфизованных образований определяется на основании того, что непосредственно к востоку, на левобережье р. Тотты, бильякчанская серия перекрывает карбонатными породами горючанская серия, выше которой с угловым несогласием залегают позднепротерозойские отложения. Абсолютный возраст речных их интрузий 1990 млн. лет /44/.

X/ Здесь и далее по сравнению с породным чарком, определенным для района.

ВЕРХНИЙ ПРОТЕРОЗОЙ

Верхний протерозой включает отложения среднего и верхнего ридая и венда (плато). Рифейские образования расположены на залыжную, макскую и узкую серии. Макская серия состоит из кердильской и лахандинской подсерий, между которыми проводится граница среднего и верхнего ридая.

Средний рида

Амчанская серия

Амчанская серия включает две свиты — талыскую и светлинскую, причем последняя на площади листа 0-53-ХIII выделена лишь на одном разрезе.

Талыская свита. Терригенные отложения талынской свиты распространены только в южной половине листа 0-53-ХIII, между р. Челасин и правобережьем р. Тотты. Они разделяются на две половины.

Нижняя половина ($R_{2\ell 1}$) на левобережье р. Мал. Комуя сложена в основном белыми и светло-серыми мелко- и среднезернистыми кварцитовидными песчаниками. Основание ее не вскрыто. В верхней части (185 м) появляются прослои (20–40 м) зеленовато- и темно-серых алевролитов и линзы (1–2 м) кварцевых гравийлитов с железистым цементом. Видимая мощность нижней половины 500 м.

Верхняя половина ($R_{2\ell 2}$) в нижней части (170 м) представлена сероцветными мелкозернистыми кварцевыми песчаниками с прослоями и линзами (0,5–2 м) гравийлитов, бурых токозернистых песчаников с железистым цементом и аргиллитов. Химическим анализом в железистых песчаниках установлена окись железа (16,83–28,75%) и закись железа (0,58–1,6%). В верхней части (130 м) переслаиваются (20–50 м) зеленовато-серые алевролиты, светло-серые и дальше кварцевые и аркозовые песчаники, на 40 м ниже кровли — прослой (3 м) светло-серых доломитов. На правобережье р. Сев. Уй верхняя половина сложена в основном алевролитами с прослоями песчаников и аргиллитов, в средней части с пластом (3–5 м) серых водорослевых доломитов с *Colonella kyllanoid Schop.*, *Kussiella kussiensis* (Masi.), *Svetiella svetlica* Schop., *Sv. tottilis* Kom. et Semikh., *Omaothenia omaothenensis* Nurkin.

Общая видимая мощность талынской свиты 800 м.

Обломочные зерна в песчаниках отличаются сладой окатанностью. В их составе преобладает (70–90%) кварц: в аркозовых

песчаниках — обломки полевых шпатов (до 30%). Аксессорные минералы — турмалин, циркон. Цемент кварцевый релевераптический.

С в е т л и н с к а я с в и т а, согласно залегающей на

талинской, расщеплена на три подсвиты: нижнюю и верхнюю — доломитовые, среднюю — алевролито-песчаниковую.

Нижняя подсвита ($R_2 t_1$) обнажается в обрывах правого берега р. Тотти, в 3 км выше устья. Здесь на песчаниках талинской свиты залегают (20 м) буроватые кремнистые доломиты, ритмично переслаивающиеся (0,3—4 м) с водорослевыми доломитами и зелено-вато-серыми алевролитами. Из доломитов определены *Svetliella tottuica* Kom., *S. semikh.*, *Colomella kyllachii* Schap. Выше (180 м) доломиты темно-серые, пронизанные кальцитовыми прожилками (до 0,5 см) с прослоями и линзами (до 15 см) серых и черных кремней, водорослевые (1,5 м) в кровле. Завершает разрез буровато-серые искристые доломиты с прослойками (до 1 см) черных кремней.

Мощность нижней подсвиты 450 м.

Средняя подсвита ($R_1 t_2$) терригенная. В разрезе, в ме-

диане Сев. Уя — Тотти выделяются:

- | | |
|---|-------|
| 1. Алевролиты темно-серые с прослоями (0,5—1,5 м) | 120 м |
| 2. Песчаники кварцевые, буровато-серые, с лимонитовым краем, тонкоплитчатые | 80 " |
| 3. Алевролиты зелено-серые, с прослоями (5—10 м) мелкозернистых песчаников, вверху (50 м) коричневатые, известковистые, с прослоями (до 2 м) темно-серых аргиллитов | 200 " |

Мощность средней подсвиты 400 м.

Верхняя подсвита ($R_2 t_3$) сложена серыми доломитами, в нижней части (150 м) с кремнистыми прожилками, рельефно выступающими на поверхности выветривания, в средней части (100 м) — водорослевыми доломитами с *Kussielia kussiensis* (Masl.), *Spongites fragilis* Kor., *Svetliella svetlica* Schap., содержащими в верхней части прослои (0,1 см) темно-серых кремней. Помимо химического анализа, доломит содержит (в %): CaO — 29,38—31,31; MgO — 20,05—21,68; SiO₂ — 0,24—5,65; кремнистые доломиты: CaO — 8,9; MgO — 4,3; SiO₂ — 46,0.

Мощность верхней подсвиты 350 м. Общая мощность светлинской свиты 1260 м.

X Здесь и далее разрезы описывают снизу вверх; они составлены по элювиальному и делювиальному развалам, реже по юрским выходам.

Спектральный анализ показал, что породы светлинской свиты содержат на порядок выше калька: кобальт (0,0002%), скандий (0,001%), никелий (0,0007%) и более чем в 2 раза выше калька медь (0,001%).

Среднерибейский возраст амчансской серии обосновывается тем, что на севере Идомо-Майского прогиба она неогласно налегает на аналоги учурской серии нижнего рибейна, а в описываемом районе с разницей перекрывает отложениями тогтинской свиты маиской серии и содержит среднерибейскую светлинскую ассоциацию строматолитов *Svetliella svetlica* Schap., *Sv. tottuica* Kom., *et Semikh.* Радиологический возраст плаукоита из светлинской свиты в нижнем течении р. Челасина — 1270 млн. лет /25/.

Маиская серия

Отложения маиской серии слагают центральную часть района, протягиваясь от южной границы до левобережья р. Май на севере.

Керпильская подсериа

Керпильская подсериа включает тогтинскую, маисскую и дипандинскую свиты.

Т о г т и н с к а я с в и т а ($R_2 t_1$), сложенная в основном серыми, зелено-ватными и вишнево-красными аргиллитами и алевролитами, с разницей залегает на светлинской свите. На правобережье р. Май. Комы (0—53—ХХII) выше доломитов светлинской свиты обнажаются (1,5 м) контомераты, состоящие из хорошо окатанной гальки (до 5 см) песчаников, доломитов, окислененных алевролитов, спементированных кварц-желеизистым цементом. Пустоты заполнены лимонитом и/or антимонитом, в то-рично проявленным материалом. На них залегают:

- | | |
|---|-------|
| 1. Аргиллиты вишнево-красные с прослоями (5—7 м) зеленых алевролитов | 70 м |
| 2. Алевролиты серые, тонкослоистые, с прослоями (7—10 м) темно-серых аргиллитов и вишневых или буровато-серых мелкозернистых, косослоистых песчаников | 180 " |
| 3. Песчаники кварцевые, буроватые, реже зелено-серые, мелко- и среднезернистые | 50 " |
| 4. Аргиллиты дымчато-серые, фиолетовые, вишнево-красные, с пластом (3 м) строматолитовых глинистых из- | 400 " |

5. Алевролиты зелено-серые, буроватые, с прослойками (10-15 м) темно-серых аргиллитов 200 м

6. Аргиллиты пятистые, буровато-розовые и зелено-серые 50 "

Общая мощность 950 м.

Севернее, на правобережье р.Нёт, в разрезе свиты преобладают алевролиты (55%) и аргиллиты (35%) с прослойем (100 м) кварцевых песчаников в нижней части и пластом (1,5 м) строматолитовых известняков в верхней части. Общая мощность свиты здесь 1000 м.

Алевролиты и песчаники по составу кварцевые и полевошпатовые. Обломочные зерна отличаются слабой окантованностью и сортировкой. В их составе преобладают кварц (70-90%), полевые шпаты (8-20%). Аксессорные минералы - магнетит, пирокон, апатит.

Цемент кварцевый поровый. Спектральный анализ показал, что содержание элементов-примесей в породах тоттинской свиты klarkevoe и лишь для хобальта и герmania в 2 раза выше klarkevoe.

М а л г и н с к а я с в и т а (R_2^{al}) известняков и глинистых известняков, в верхней части биогуминозных, согласно залегает на терригенных породах тоттинской свиты.

В разрезе в верховых р.Мал. Комуя в нижней части (65 м) выходят вишнево-красные и зелено-серые пелитоморфные известняки с прослойками (3-5 см) аргиллитов, в средней части (135 м) светло-серые и буроватые тонкослоистые известняки с линзочками (до 3 мм) глинистого материала, в верхней части массивные, темно-серые биогуминозные известняки.

Общая мощность свиты 400 м.

Севернее, на правобережье р.Тотты, в верхней части отмечены (50 м) темно- и зелено-серые алевролиты и аргиллиты на правобережье р.Нёт (0-53-ХШ) в нижней части (80 м) - простой-ки (3-5 мм) зеленых и коричнево-красных мергелей.

По данным химического анализа, известняки содержат (в %): CaO - 43,42-54,45; MgO - 0,47-1,39; SiO₂ - 1,44-14,94. Спектральный анализ показал, что в породах малгинской свиты только содержание скандия и никеля в 2 раза превышает кварц.

П и п а н г и н с к а я с в и т а (R_2^{cr}). Доломитами ципадинской свиты, согласно залегающим на малгинской свите, заканчивается разрез керильской подсвиты.

На левобережье р.Челасина (0-53-ХШ) в нижней части разреза (150 м) доломиты серые, светло-серые и глинистые темно-серые; в средней части (130 м) пятистые, буровато-серые, неравномернозернистые; в верхней части (120 м) - светло-серые и

белые, искристые, в кровле кавернозные, окварцованные. По данным химического анализа доломиты содержат (в %): MgO - 21,84; CaO - 29,50; SiO₂ - 1,16. Они отличаются практическим отсутствием элементов-примесей. На правобережье р.Айли (0-53-ХШ) верхняя часть разреза сложена водорослевыми доломитами.

Общая мощность свиты 400 м.

Среднерейнский возраст керильской подсвиты определяется ее стратиграфическим положением между амчансской серией среднего района и лахандинской подсерийей верхнего района. Радиологический возраст глауконита из отложений тоттинской свиты в нижнем течении р.Челасина 1195 млн. лет, из отложений малгинской свиты в среднем течении р.Мал. 1000 млн. лет, из отложений ципадинской свиты - 950 млн. лет /25/.

Доверхнерейфельская (предлахандинская) кора выветривания (РЗ)

К коре выветривания отнесены пестроокрашенные железисто-глинистые породы, покрытие камнями на правобережье р.Мал (северо-восток листа 0-53-ХШ). Эти породы, по составу соответствующие бокситам (окись железа 13,13-23,72%, окись железа 0,14-13,3%, окись кремния 13,22-17,42%, окись алюминия 23,67-38,65%), слагают слой мощностью 0,2-0,6 м, протяженностью до 200 м. Они залегают на доломитах ципадинской свиты и перекрываются аргиллитами кумехинской свиты лахандинской подсвиты.

В е р х н и й р и ф о й

Лахандинская подсвита

Глинисто-карбонатными породами лахандинской подсвиты, залегающими на ципадинской свите, mestами на предлахандинской коре выветривания, начинается разрез верхнего района. На площа-ди листа 0-53-ХШ поверхность расщеплена на кумехинскую, мильонскую, нельманскую и иппикансскую свиты, на большей части листа 0-53-ХШ показана нерасщепленной из-за существенно карбонатного состава.

К у м е х и н с к а я с в и т а (R_3^{sh}) сложена доломитами, известняками и аргиллитами, в основании mestами залегают бурые глинисто-хелезистые породы.

На левобережье р.Челасина на доломитах ципадинской свиты залегают:

| | |
|---|------|
| 1. Аргиллиты темно- и зеленовато-серые, в нижней части (9 м) с пластами и линзовидными прослоями (0,1-0,2 м) бурых гематит-тидрогематитовых пород (химическим анализом установлена окись железа 48,31-71,85%, закись железа 0,36-2,34%) и тонкостольстых ожелезненных полюков (1,5 м) и алевролитов (0,3 м) | 25 м |
| 2. Поломиты темно-серые с прослоями (0,3-1 м) аргиллитов | 35 " |
| 3. Аргиллиты темно-серые, в средней части (5 м) бурые, ожелезненные | 20 " |
| 4. Доломиты строматолитовые, серые и пятнистые, вишневые, с прослоями (до 1 м) зеленовато-бурых аргиллитов. Из доломитов определены <i>Baicalia ingilensis Nuskin.</i> , <i>Jacutophyton ramosum Schap.</i> , <i>Cylindrophyton metula Kir.</i> , <i>Con. cylindricum Masl.</i> , <i>Con. aff. Cylindrophycus Masl.</i> , <i>Jacutophyton cognitum Schap.</i> | 60 " |
| 5. Известники глинистые, темно- и зеленовато-серые, в кровле аргиллитов | 60 " |
| Общая мощность свиты 200 м. | |

М и л ь к о н с к а я с в и т а (R_3^{m-f}), согласно за-лагаемая на Кумахинской, представлена буровато-красными и серыми известняками и глинистыми известняками, в нижней части строматолитовыми (1-2 см) аргиллитами. В разрезе на левобережье р. Чаласина из строматолитовых известняков определены *Sphaerophyton cylindricus Masl.*, *Jacutophyton multiforme Schap.*, *Jac. ramosum Schap.*, *Baicalia lacera Semikh.*, *B. Ingilensis Nuzhn.*

Общая мощность свиты 300 м.

Н е л ь к а н с к а я с в и т а (R_3^{n-f}) залягает со-гласно на Мильконской и сложена буровато-зелеными и зеленовато-серыми аргиллитами с прослоями известняков, песчаников и алевролитов.

В разрезе на левобережье р. Чаласина выходят:

| | |
|--|------|
| 1. Аргиллиты буровато-зеленые, иногда ожелезненные, в верхней части с линзой (0,5x3,5 м) бурого железника | 55 м |
| 2. Известники доломитистые, светло-серые, строматолитовые, с <i>Pectalia lacera Semikh.</i> , <i>Jacutophyton cognitum Schap.</i> , <i>Jac. ramosum Schap.</i> , <i>Jac. multiforme Schap.</i> | 65 " |

1. Аргиллиты темно- и зеленовато-серые, в нижней

части (9 м) с пластами и линзовидными прослоями (0,1-

0,2 м) бурых гематит-тидрогематитовых пород (химическим

анализом установлена окись железа 48,31-71,85%, закись

железа 0,36-2,34%) и тонкостольстых ожелезненных полю-
ков (1,5 м) и алевролитов (0,3 м)

2. Поломиты темно-серые с прослоями (0,3-1 м) аргиллитов

3. Аргиллиты темно-серые, в средней части (5 м) бурые, ожелезненные

4. Доломиты строматолитовые, серые и пятнистые, вишневые, с прослоями (до 1 м) зеленовато-бурых арги-
ллитов. Из доломитов определены *Baicalia Ingilensis Nuskin.*, *Jacutophyton ramosum Schap.*, *Cylindrophyton metula Kir.*, *Con. cylindricum Masl.*, *Con. aff. Cylindrophycus Masl.*, *Jacutophyton cognitum Schap.*

5. Известники глинистые, темно- и зеленовато-серые, в кровле аргиллитов

Общая мощность свиты 200 м.

3. Аргиллиты буровато-зеленые, в нижней части с

прослоем (1,5 м) строматолитовых известняков, в верхней - зеленовато-серых алевролитов (5 м)

4. Песчаники кварцевые, светло-серые, мелкозер-
нистые

5. Аргиллиты зеленовато-серые, с прослоем (6 м) строматолитовых известняков

Общая мощность свиты 200 м.

И г н и к а н с к а я с в и т а (R_3^{i-g}), согласно за-
лагаемая на Мильконской, сложена серыми и темно-серыми массивными

слюдитовыми, строматолитовыми и обломочными известняками. На ле-
вобережье р. Чаласина обнажаются:

1. Известники серые, в верхней части с прослоя-
ми (до 2 м) строматолитовых известняков

2. Известники облитовые, светло-серые, коричне-
вые, вверху (10 м) строматолитовые, с *Baicalia tica Nuzin.*, *Inseria tjomusi Kir.*, *Baicalia lacera Semikh.* . . 50 "

3. Известники темно-серые, облитовые, с прослоя-
ми (1-2 м) вишнево-серых, вверху (7 м) жигивато-се-
рых

4. Известники темно-серые, в средней части с про-
слоями (до 6 м) псевдобобломочных и облитовых известня-
ков, вверху (20 м) доломитовые известняки

Общая мощность свиты 300 м.

**К у м а х и н с к а я , м и л ь к о н с к а я , н е л ь -
к а н с к а я , и г н и к а н с к а я с в и т ы** **н е р а с -**
ч л е н е н и я ($R_3^{f-m-i-g}$) установлены на площади листа
0-53-УШ. Отложения представлены известняками, аргиллитами и
доломитами. На правом берегу р. Май они залягают на предлахи-
днической коре выветривания. В нижней части нерасчлененные лежан-
днические образования (250 м) выполнены буроватыми доломитами,
stromatolitovymi известняками и вишнево-красными аргиллитами;
в средней части (300 м) - зеленовато-серыми известняками и ар-
гиллитами с прослоями строматолитовых известняков и алевроли-
тов и в верхней - темно-серыми и черными известняками и доломи-
тами известняками. Общая мощность их 900 м.

В междурусле №6 - Лев. Айли лахандинская подсерия без
следов размыва залягает на доломитах чипандинской свиты. Здесь
обнажаются:

1. Доломиты и строматолитовые известковистые до-
ломиты серые и розовато-серые, внизу (40 м) вишнево-

красные ожелезненные аргиллиты с конкрециями (2—3 см) бурого железняка в основании. В конкрециях химическим анализом (2 пробы) установлено 36,85 и 37,41% железа 200 м

2. Известники серые с прослойями отроматолитов и литовых известняков и пачкой (40 м) зеленоватых аргиллитов. Из известняков определены отроматолиты

Soloplyton metulae Kir., *Sol. cylindricus* Masl., *Jacut-*

toplyton cognitum Sohar., *Beccalia lacera* Semikh.,

Beccalia Ingliensis Nuzhn., *Jacutoplyton multiforme* Sohar., Jac. sp. *Conoplyton* sp., характерные, по за-

ключению М.А. Семихатова, для долинской части ла-

хандинской подсерии 300 "

3. Аргиллиты зеленовато-серые с прослойями (5—7 м) алевролитов и известняков, в средней части с линзами

(0,5—2 м) бурых лимонитизированных аргиллитов с же-

лезистыми конкрециями 150 "

4. Известники, доломитистые известники серые и

темно-серые, с прожилками кальцита и линзами олиго-

вых, обломочных и отроматолитовых известняков 350 "

Общая мощность разреза 1000 м.

Спектральный анализ показал, что кроме повышенных концент-

раций железа, породы лахандинской подсерии содержат кобальт на

порядок выше кипарса, содержание скандия и ниobia более чем в

пять раз превышает кипарковое.

Позднерифейский возраст лахандинской подсерии уверенно оп-
ределяется характерной для верхнего рифея лахандинской ассоциа-
цией строматолитов.

Устьская серия

Устьская серия терригенных пород распространена по всему району. Она включает кандинскую, днепровскую и усть-кировинскую свиты.

К а н д и н с к а я с в и т а. Нижняя подсвита ($R_3 k_1$),

сложенная алевролитами и песчаниками, без следов размыва зали-
гает на известняках лахандинской подсерии. В верховых р. Агань-
ди (юго-восток листа 0-53-XIII) выходят:

1. Алевролиты зеленовато-серые с прослойями (до

1-2 м) аргиллитов и тонкозернистых песчаников 80 м

2. Песчаники белые, буровато-серые, мелкозерни-

стые 100 "

3. Алевролиты зеленовато-серые, с прослойями ар-
гиллитов (до 5 м) и песчаников (до 0,5 м) 250 "

4. Песчаники известковистые, буровато-серые,

крапчатые 70 м

5. Песчаники буровато-серые, мелкозернистые,

плитчатые, в нижней части с прослойями (до 5 м) темно-

серых алевролитов и аргиллитов. 100 "

Общая мощность разреза 600 м.

На левобережье р.Май (юго-запад листа 0-53-XIII) в разрезе нижней подсвиты преобладают алевролиты (400 м), общая мощность их 500 м. На водоразделе Чемалия — Манакана (юго-запад листа 0-53-XIII) наблюдается равномерное развитие алевролитов и пес-
чаников, общая мощность которых здесь 450 м. В целом мощность нижней подсвиты увеличивается в 450 м в западной зоне до 600 м в центральной и вновь уменьшается до 500 м в восточной. В направлении с запада на восток известковистые песчаники замещаются кварцевыми и кварц-полевошпатовыми.

Верхняя подсвита ($R_3 k_2$) маркируется. Складки ее белые песчаники образуют уступы и борозды поверхности, которые хорошо лепидотируются на аэро- и космических снимках.

На левобережье р.Май (0-53-XIII) в разрезе преобладают бу-
роватые и белые кварцевые песчаники, в нижней части (150 м) с прослойями (2-3 м) алевролитов; мощность 400 м (западная зона). Восточнее на левобережье р.Нёт мощность увеличивается до 600 м (центральная зона) и еще восточнее, в верховых р.Аганьди, уменьшается до 700 м (восточная зона).

Песчаники кварцевые и полевошпат-кварцевые. Обломочные зерна отличаются хорошей окатанностью и сортировкой. В их составе преобладают кварц (60-80%), полевые шпаты (15-35%) и различные породы (до 5%). Аксессорные минералы — турмалин, монацит. Це-
мент поровий, глинистый с примесью гидроокислов железа и квар-
цевый регенерации.

Спектральный анализ показал, что породы кандинской свиты содержат на порядок выше кипарка медь (0,002%), кобальт (0,0003%), олово (0,0002%), ниобий (0,0005%); в два раза выше кипарка содер-
жание цинка, никеля, хрома и молибдена.

Джа́даты́нскай́ свиты́ ($R_3 d_1$), сложенная зеленоватыми полимиктовыми и полевошпат-кварцевыми песчаниками, алевролитами и аргиллитами, согласно залегает на кандинской.

В разрезе центральной зоны Ютомо-Майского прогиба в бассейне р.Аганьди (юго-восток листа 0-53-XIII) выходят:

I. Алевролиты темно- и зеленовато-серые с про-

слойями (2-20 м) мелкозернистых полевошпат-кварцевых

песчаников и аргиллитов 600 м

2. Песчаники полимиктовые, зеленовато-серые и красновато-фиолетовые, с прослойками алевролитов. 350 м

3. Алевролиты серые и вишнево-бурые, с прослойками (до 1,5 м) аргиллитов 250 "

Общая мощность разреза 1200 м.

В разрезах западной зоны на левобережье рек Май и Нета нижняя часть свиты (320 м) сложена полевошпат-кварцевыми, полимиктовыми и известковистыми песчаниками, верхняя часть — аргиллитами и алевролитами.

Общая мощность отложений на левобережье р.Май 500 м, на левобережье р.Нета — 750 м.

Мощность джабатинской свиты увеличивается от 500-750 м в западной зоне до 1200 м в центральной и вновь уменьшается до 200 м в восточной зоне. В направлении с запада на восток возрастает роль полимиктовых песчаников и исчезают из разреза известняковистые песчаники.

Обломочные зерна в песчаниках отличаются хорошей окатанностью и сортировкой зерен по размеру. В их составе преобладают кварцы (75-90%), присутствуют полевые шпаты (5-15%) и глиноzemисто-кремнистые породы (5-10%). Аксессуарные минералы — циркон, турмалин. Цемент железистый порозий, реже кварцевый перидионит.

По содержанию элементов-примесей джабатинская свита сходна с кандинской.

В е р х н я я п о д с в и т а к а н д и н с к о й с в и т ы и д ж а б а т и н с к а я с в и т а н е — р а с ч л е н о н ы (Рз⁴и²+д⁶) выражены только на юго-западе листа О-53-ХШУ. Здесь на водоразделе рек Челасина — Манакана на алевролитах нижней подсвity кандинской свиты залегают песчаники в нижней части (140 м) бедные, серые, кварцевые и полевошпат-кварцевые, в средней части (100 м) зеленовато-серые полимиктовые и в верхней — кварцевые.

Общая мощность отложений 300 м.

У с т ь - к и р б и н с к а я с в и т а (Рз⁴и²). Красногипсовыми терригennыми отложениями усть-киринской свиты, согласно залегающими на джабатинской, заканчивается разрез верхнего района.

Практически напрерывный разрез составлен в бассейне р.Агамиджи (центральная зона, юго-восток листа О-53-ХШ):

1. Песчаники кварцевые, вишнево-серые, средне-зарисистые 110 м

2. Алевролиты зеленовато-серые, с линзами (2-

3 м) сурых песчаников 90 м

3. Песчаники кварцевые, вишнево-красные, мелко-и среднезернистые, с прослойками (до 5 м) алевролитов и аргиллитов 250 "

4. Алевролиты вишнево-бурые, зеленовато-серые, с прослойками (до 10 м) песчаников и аргиллитов 100 "

5. Песчаники вишнево-бурые кварцевые и зелено-вато-серые полимиктовые, с прослойками (2-5 м) алевро-литов 230 "

6. Алевролиты вишнево-бурые, с прослойками (5-7 м) мелкозернистых полевошпат-кварцевых песчаников 340 "

7. Песчаники вишнево-бурые, кварцевые, разнозернистые 280 "

Общая мощность разреза 1400 м.

В междуурье Бераны — Иникиана (северо-восток листа О-53-ХШ) в верхней части (250 м) отмечена линза (2x30 м) внутриструктурных конгломератов с хорошо окатанной галькой (1-3 см) кварцевых песчаников. Мощность свиты здесь 1600 м.

На левобережье р.Май (западная зона) на алевролитах джабатинской свиты залегают песчаники в нижней части (270 м) полевошпат-кварцевые с прослойками (5-10 м) известковистых алевролитов; в средней части (130 м) полимиктовые зеленовато-серые и в верхней — полевошпат-кварцевые и полимиктовые с прослойками (2-10 м) известковистых алевролитов и аргиллитов.

Общая мощность отложений 600 м.

Состав усть-киринской свиты, как видно из приведенного описания, существенно не меняется. Однако мощность изменяется от 400-600 м в западной зоне до 1600 м — в центральной. В восточной зоне отложения усть-киринской свиты не отмечены, вероятно, они срезаны предпоморской трансгрессией.

В пестроличистных песчаниках усть-киринской свиты на северо-востоке листа О-53-ХШ известны проявления медн-Боронг и Маякан, по чертам геологического строения близкие к стратиграфическим /37/.

Позднерифейский возраст устьской серии определяется тем, что она согласно залегает на лахандинской подсерией верхнего района и с разрывом перекрывает венескими (юдомскими) отложениями.

В е н д

Юдомская серия

Юдомская серия обнажается на западе и северо-востоке района и включает амфото и усть-юдомскую свиты.

А и м с к а я с в и т а (*Чап*), сложенная в нижней части песчаниками, а в верхней доломитами, трансгрессивно залегает на усть-киришинской.

В разрезе в пределах западной зоны на левобережье р. Челасина в основании свиты (15 м) залегают песчаники кварцевые, гравийные и мелкозернистые, бурые и яшнево-красные; выше они сменяются доломитами и известковистыми доломитами с прослойками строматолитовых доломитов (0,5-2 м) и аргиллитов (0,5-0,7 м). Из доломитов определены строматолиты *Jurusalis Jodomica* Kom. et Semik., микрофитолиты *Vermiculites irregularis Reitl.*, *Vesicularites botryoidiformis* Krasnor.

Общая мощность отложений 75 м.

Обломочные зерна в песчаниках хорошо окатаны и сортированы. В их составе преобладает кварц (85-95%), значительно меньше полевых шпатов (5-12%); цемент глинисто-кальцитовый пороватый.

На северо-западе листа О-53-ХШ (левобережье р. Чапы) состав свиты существенно не меняется, а мощность увеличивается до 120 м. В пределах Центральной зоны разрез составлен на левобережье р. Иникина (северо-восток листа О-53-ХШ):

1. Песчаники кварц-полевошпатовые, мелкозернистые, с прослойками (2,5-5 м) серых и буровато-серых тонкодисперсных алевролитов и песчанистых доломитов, вверху (20 м) бурые, массивные 90 м

2. Доломиты буровато-розовые, с темно-серыми кремнисто-глинистыми прослойками (до 5 см). 140 "

Общая мощность разреза 230 м.

Как видно, состав юдомской свиты существенно не меняется мощность в пределах западной зоны увеличивается от 75 м на юге до 120 м на севере района, а в Центральной зоне возрастает до 230 м, вновь уменьшаясь до 50 м в восточной.

У с т ь - ю д о м с к а я с в и т а (*Чид*), согласно залегающая на юдомской, сложена преимущественно доломитами. Разрез на левобережье р. Иникина (Центральная зона) выглядит:

1. Песчаники кварцевые, средне- и мелкозернистые, белые и светло-серые 40 м

2. Доломиты светло-серые и белье, мелкозернистые, винзу (10-15 м) онкомитовые 110 м

3. Доломиты белые, крупнозернистые, искристые. Поданным химического анализа, доломиты содержат (в %):

CaO - 31-34,56; MgO - 17,37-19,7%; n.O. - 0,72-1,78 . . . 220 "

4. Доломиты белье, светло-серые и белые кавер-розовые, с мелочно-белым кварцем по трещинам и на стенах каверн 200 "

5. Доломиты, известковистые доломиты белье, сверху (20-30 м) пятистые, охлажденные 100 "

Общая мощность разреза 670 м.

На левобережье р. Челасина (западная зона) в нижней части (30 м) залегают серые, голубовато-серые мелкозернистые вулканиты, реже массивные строматолитовые доломиты с *Gonggina* подилюса Kom. et Semik. и онкомитами *Nubesularites abusus Z. Znir.* выше пластуется монотонная толща светлых мелко- и среднезернистых сахаровидных доломитов с пачкой (15 м) гористых известняков в кровле. Общая мощность 175 м.

При сохранении состава мощность усть-юдомской свиты изменяется от 175 м в западной зоне до 670 м в Центральной и вновь уменьшается до 150 м в восточной.

В доломитах усть-юдомской свиты на правобережье р. Чапы выделен пункт никовой минерализации.

Верхний возраст юдомской серии определяется тем, что она с разным залегает на верхнеридейских отложениях юйской серии и согласно перекрывает нижнекомбрейскими отложениями пестропятной свиты. Отложения серии характеризуются присущим только комплексом строматолитов и микрофитолитов.

Кимерийская система

Н и ж н и й о т д е л

Алданский надъярус

П е с т р о ц в е т н а я с в и т а (*Ч1**) сложена известняками в западной и восточной зонах и аргиллитами, алевролитами, песчаниками и известняками в Центральной зоне; согласно залегает на усть-юдомской свите.

В разрезе на левобережье р. Челасин (западная зона) в нижней части (20 м) залегают шоколадно-красные известняки с пластом (1-3 м) глинистых известняков с пастрюлами *Aldanella attaborensis* Schäfer. *Oeldandiella kogovkovi* Vost., *Anabarella*

Общая мощность разреза 600 М.вт

Таким образом, никанская свита, имеющая в западной зоне кремнисто-глинисто-известковистый состав и мощность до 90 м., в центральной сменяется карбонатной толщей и мощность ее возрастает до 600 м. Далее к востоку мощность снова уменьшается до 200 м. (восточная зона).

отложения Центральной зоны имеют определенную геохимическую специализацию. По данным спектрального анализа, они содержат на порядок выше хлорка кобальт, серебро и более, чем в 2 раза выше хлорка медь, никель, скандий, лантан.

Ранне-среднекембрийский возраст индикаторной свиты определяется тем, что она содержит остатки трилобитов *Bergeronellus cf. exquisitus* Lem., *Pagettellus lenicus* (Tol.), патирующие ярус нижнего кембрия, а в кровле непосредственно к за-паду на листе О-53-ХХII известны *Tomopterostus fissus* (Lind.), *Rapadoidea fissus* Salter, амфигного яруса среднего кембрия /48/.

С Р Е П Н И Й

Среднему отделу отвечают чайкаи и усть-майская свиты, развитые в западной и восточной зонах.

известниками, согласно залегает на иллюинской.

зеленоватых и желтовато-серых глинистых известняков, в нижней части (70 м) включавших линзы (0,3 м) желтых мергелей. выше (50 м) залегают плитчатые известняки с прослоями (0,5-2 м) темно-серых арганитовых и (30 м) мергелистых известняков с раковистым изломом, в кровле массивные. Химический состав известняков показывает (в %) содержание: CaO - 53,54; MgO - 0,98; Н.О. - 3,0. В мергелях терригенная примесь составляет до 25% породы.

на северо-западе листа 0-05-03 (Бассейн р. Малмыж) в селе Чайской сланцы преобладают песчанистые и обломочные известняки. Мощность здесь увеличивается до 800 м.

Среднекембрийский возраст чешуекой свиты определяется ее стратиграфическим положением между нижнекарской свитой нижнего — среднего кембрия и усть-майской свитой среднего кембрия 1/2.

Усть-майская свита (62-37 м), согласно залегающая на чешуекой, сложена алевритистыми известняками, в нижней части с прослоями и линзами глинистых обломочных и кальцефильных известняков.

В разрезе на левобережье р. Челасина залегают I. Известняки серые, реже пятнистые зеленоватые

серые, со стекловатой поверхностью, с линзами и прослойками (10 м) тонкоплитчатых глинистых известняков. . . 110 м

(0,5-1,5 м) алевролитах и обломочных известняках . . . 150 п

(2 м) желобковых известняков; плоские округлые или удлиненные желваки микрозернистого известняка (10-80%), стягиваемые сростно- или композитными напластованиями.

По данным химического анализа известняки содержат (в %):
CaO - 50,95; MgO - 3,08; H.O. - 2,36.

Иотканы) в составе Усть-Майской синты преобладают песчанистые известники. Видимая мощность здесь 300 м.

убородостомицким возрастом йиль-майской свиты определяется тем, что непосредственно севернее на листе 0-53-XII верхние горизонты свиты содержат триады *Tomagnostis perrugatus* Cromw. *Curadostus parvifrons* Llans, характеризующие майский ярус среднего кембрия /4/.

СРЕДНИЙ-ВЕРХНИЙ ОТДЕЛ

Недорасщепленным среднему — верхнему отцелам отвечают отложения иотканской толщи, развитые на северо-востоке листа О-53 уп. в густом штатском пояс

И отканская толща (θ_2-3 ит) сложена изве-

стяжками, доломитистыми, глинистыми, обломочными и водорослевыми известняками, в верхней части с прослойми алевро-лещанистых известняков. Она согласно залегает на никанской свите и с разницей перекрывается саккырской слитой нижнего ордовика. Окраска пород серая, светло- и темно-серая, реже буровато- и розовато-серая, зинново-красная.

В разрезе на левобережье р.Инканы обнаружены:
I. Известняки доломитистые, выше (40 м) светлые

серые, афанистовые и темно-серые массивные известняки 170 м
2. Известники светло-серые и пятивальные, серо-вато-розовые, в нижней части (25 м) буровато-серые с лимонитовым крапом, в средней части вишнево-красные,

3. Известники зеленовато-серые, с прослойями (по 15 м) глинисто-хлоритовых сланцев

4. Известняки глинистые, залегающие в верхней части горизонта

песчаников слоями тонкодлинчатых, красновато-бурых, малкозернистых

Общая выделяемая мощность 600 мВт

Таким образом, в восточном направлении происходит олезчание саккирийской синтизы одновременно породы приобретают более пеструю окраску.

Спектральный анализ показал, что породы саккирской свиты содержат на порядок выше хларка моль, никель, кобальт, олово, ниобий, более чем в 2 раза выше хларка цинк, свинец, хром, vanадий, молибден, марганец, скандий, лантан, цирконий.

Возраст саккирской свиты определяется находками в нижней ее части непосредственно к северу (лист 0-53-XII) саторнитов, jakutense Тих., Minkelnburgia sp., характерных для ниж-

СИЛУРИЙСКАЯ СИСТЕМА

Н и ж и . отде л

Та яжская свита (*Sy 4*) развита только на северо-востоке листа 0-53 XII (центральная зона). Она с размы-
вом залегает на саккырской свите и представлена известняками
песчанистыми и глинистыми с прослоями и линзами песчаников, мер-
гелей и доломитов.

В разрезе на левобережье р.Инкан прослеживаются: Т. Источник газа

1. известняки лесчанистые, темно-серые, с прослойками ($0,2$ – $0,5$ м) буровато-розовых мергелей, включаями остатки брахиопод *Pentamerus* sp., *Holorhynchus gigas* Klaer., и колониальных кораллов 70 м
2. известняки светло-серые и бурые с прослойками

3. Песчаники кварцевые, мелкозернистые, бурые, вверху (20 м) серые и темно-серые известники с линзами (0,3-0,5 м) контемпораторов; галка (1-3 см) квадровых песчаников хорошо окатанная, памятник песчано-карбонатный..70 "

4. Известняки песчанистые, темно-серые, с редким гипсовым включением, в верхней части (100 м) с линзами зеленовато-серых и синеватых мелкозернистых кварцевых песчаников; в кровле (5 м) псевдооблицевые известняки. • 200

5. Известняки зелено-серые, глинистые, в верхней части (20 м) песчанистые 120 м
Общая мощность 500 м.

Верхней части (20 м) песчанистые
области мощностью 500 м.

Спектральный анализ

держат на порядок выше жарка олово и более чем в 2 раза выше
жарка Мельч. никель. уром. матвеев. стоящий посредине

Нижнесилурский возраст тагильской свиты определяется находками брахиопод *Pentamerus* sp., *Holorhynchus giganteus* Kiaer., которые характеризует Шадоновский и Бентонский этапы.

KAMMENHAGEN

СРЕДНИЙ-ВЕДУЩИЙ ОТДЕЛЫ (G₂-3)

Эти отложения выходят в тектоническом блоке на левобережье р. Иникина (северо-восток листа 0-53-XIII). Они сложены темно-серыми и черными известняками, алевроплитами и глинистыми известняками с прослоями кварцевых известковистых песчаников.

жаров: *Многие из нас видят наше будущее в руках судьи и верх.лишанчан сона-*

1. лонгитюмерати известняковые и конгломератоны, известники серые. Галька (2-5 см) известняков, кремней, пещаников хорошо окатанная; пемза извест-

**массивные, с ребристой и сетчатой поверхностью, с ос-
таками сильно памятных отдельных костяков**

3. Пещники кварцевые, известковистые, серые 200
 4. Известники темно-серые и чёрные, массивные 50 "

перемежающиеся со сдвоенными ребристыми и глинистыми известняками; в сплошной части прослои (2-3 м) тоже

полненный брахиоподами *Spiriferites coniformis*. 300 "

батне, темно-серые, с остатками брахиподы *Camerinella ex gr. Alazaeica* Zar. Их мякоть синевато-зеленая.

Общая видимая мощность 700 М.

Уральско-Западно-Сибирский горный возраст отложений определяется находками *Camerinella ex gr. alazae* Zav., *Crinoides* Bries, которые, по заключению В. Г. Ганелина, характерны для ольвинского - пареньского надгоризонта среднего - верхнего карбона.

МЕЛОВАЯ СИСТЕМА

Нижний отдел

Нижнемеловые вулканогенные образования развиты только на юго-востоке и фрагментарно на севере листа 0-53-ХХІІІ.

Учаликанская свита (K_{1n}) залегает с угловым несогласием на тоггинской свите среднего рида или в провесах края нижне-вернемеловых гранитоидов. В состав ее преобладают андезиты, присутствуют их туфы, в верхней части — туфлиты.

На левобережье р. Мал. Комуя на отложениях тоггинской свиты залегают в нижней части (80 м) туфы андезитов лигнокластические, зеленовато-серые, в средней части (100 м) андезиты порфировые с прослоями и линзами туфов, в верхней части (170 м) андезиты темно-серые и черные с прослоями их туфов, вверху туфлитов.

Общая мощность 350 м.

Андезиты порфировые, реже афировые. Во вкрашениниках (15-20%) преобладает плагиоклаз, в меньшем количестве роговая обманка и пироксен. Основная масса гиалопилитовая, пилотакситовая, состоит из микролитов плагиоклаза и стекла, обычно замещенных хлоритом, кальцитом и гидроокислями железа. Аксессорные минералы — магнетит, ильменит, апатит. Туфы андезитов лигнокластические. В обломках преобладают андезиты (80-95%), встречаются псаммитовые туфы, реже гранитоиды и песчаники. Промежутики заполнены обломками пород, осколками плагиоклазов и стекла, определенных хальцедоном, хлоритом и гидроокислями железа. Туфы тонкослоистые, мелкозернистые; в пепловом материале рассеяны мелкие пластинки биотита, обломки кварца и плагиоклазов.

Раннемеловой возраст учаликанской свиты определяется тем, что непосредственно к югу на листе 0-53-ХХІ в аналогичных об разованиях собраны *Rhytophyllum* sp., *Sphenopteris* sp., *Ind.*, *Eloptoscladus* sp., *Taeniopteris* sp., *Coniopteris* sp., *Hausmania* sp., характеризующий южный возраст по Е.П. Лебедеву, на юге листа 0-53-ХХІІІ в аналогичных отложениях /21/.

Еманянская свита (K_{1e}) залегает на разных горизонтах учаликанской и представлена контрастными породами от липаратов до андезитов и их туфов. В нижней части (300 м) преобладают дациты и их туфы с редкими прослоями андезитов, вверху — липарато-дациты; в основании залегают горизонты липаратов и их туфов с обломками кварцитов и гранито-гнейсов.

Верхняя часть (350 м) сложена липаратами жёлтых, зелёных, сиреневых, витиевыми и их туфами.

Липараты порфировые и афировые. Вкрашениники (до 15%) мелкие (2-3 мм): плагиоклаз, каменистый полевой шпат, кварц, биотит; основная масса флюидальная, микрофельзитовая, микролитовая, иногда стекловатая. Аксессорные минералы — магнетит, апатит, реже сёден, циркон. Туфы липаратов лигнокристаллические, состоят из угловатых обломков (0,5-1 см) липаратов, фельзитов, осколков каменного полевого шпата, кварца и олигоклаза. Цемент кремистый, часто каолинизированный. Химический состав цемента показывает следующие содержания породообразующих окислов (в вес. %): SiO_2 — 62,96; TiO_2 — 0,50; Al_2O_3 — 15,76; Fe_2O_3 — 1,04; FeO — 2,74; MnO — 0,13; MgO — 1,01; CaO — 4,90; Na_2O — 2,34; K_2O — 2,80; H_2O — 1,19; P_2O_5 — 0,14; пл. п. — 4,34; сумма — 99,89. При пересчете данных по методу А.Н. Заваринского определены следующие параметры: a — 10,0; c — 6,0; b — 6,1; s — 77,9; f — 63,50; m — 30,30; σ' — 6,20; n — 55,50; φ — 15,10; t — 0,57; Q — 29,45; $a:c$ — 1,86.

Мощность еманянской свиты 650 м.

Раннемеловой возраст свиты обосновывается находками неподалеку от юга на листе 0-53-ХХІ *Coniopteris* sp., *Hausmannia* sp., характерных для альбского яруса /22/.

ЧЕТВЕРТИЧНАЯ СИСТЕМА

Рыхлые отложения этого возраста образуют сплошной покров переменной мощности, отсутствующий лишь в местах коренных выходов. По условиям накопления выделяются аллювиальные, делювиально-проливильные и эоловально-делювиальные отложения. Последние в силу малой мощности (до 3 м) на карте не показаны.

Нижнее звено (Q_1)

Нижнечетвертичные отложения в разрезе 125-метровой IV надпойменной поймальной террасы, сохранившейся на левобережье р. Мал. Близ оз. Токо (лист 0-53-ХХІІІ), перекрывают известняки среднего кембрия. Они представлены в верхней части (0,3 м) тонкой коричневой супесью с мелкой (до 1 см) хорошо окатанной галькой кварцитов и гранитоидов, в средней части (0,5 м) — супесью с тонкими прослоями коричневатой глины и редкой галькой (3-5 см) и в нижней (0,2 м) — галечниками с редкими валунами. Галька (1-5 см)

кварцевых песчанников, кварцитов и гранитолов хорошо окатана; элемент суглинистый светло-коричневый.

Раннечетвертичный возраст определяется по сопоставлению с отложениями II надпойменной террасы р.Учур, в которой найдены зубы *Elaphras medionalis* (Nest.). В обоих случаях в отложении преобладает пыльца теплолюбивых широколистенных дубов *Quercus Ulmus*, *Carpinus*, *Murica*, *Inglans*, являющихся реликтами неогена /63/.

В е р х о в ы е з з е н ы

Казанцевский горизонт (QIII^{1/2})

Отложения казанцевского возраста представлены аллювиальными песками и галечниками, в основании суглинками II надпойменной террасы (10–20 м) рек Май, Сев.Уя, Нёта, Тоты, Челасина.

В разрезе на правобережье р.Сев.Уя ниже устья р.Тоты обнаружены:

1. Суглинок светло-желтый с редкой хорошо окатанной галькой (до 7 см) и линзами (до 1 см) глины в нижней части 0,8 м
2. Песок мелкозернистый, хорошо сортированный, с косыми прослоями (до 5 см) серой глины и редкой галькой 0,7 "
3. Песок среднезернистый, хорошо сортированный, с равномерно рассеянной (до 10%) галькой 0,5 "
4. Галечник: галька (2–7 см) кварцитов, гранитолов и эфузивов хорошо окатанная, заполнитель песчано-гравийный 0,4 "

На р.Нёт верхняя часть (3,1 м) разреза сложена супесью с линзами (до 0,3 м) песка, нижняя часть (2,8 м) – песком с линзами (до 0,5 м) суглинка.

В отложениях II надпойменной террасы в верховых р.Май обнаружены зубы *Elaphras rymichensis* (Blum) позднего типа. В обоих случаях отложения содержат споры холотолобовой фиторы *Rolipdiaeae* и *Lisoriodium* /63/. По времени накопления эта толща отвечает казанцевскому междениковым.

Каргинский и сартанский горизонты объединенные (QIII^{1/2+1})

Отложения этого возраста предстают залегающими галечниками, валунами, суглинками с линзами песка и супеси I надпойменной террасы.

В разрезе на левом берегу р.Май ниже устья р.Инкана прослеживаются:

1. Супесь 1,1 м
2. Галечник с линзами (0,1 м) светло-желтого пылеватого песка. Галька (2–5 см) песчаников, алевролитов (75%), альбузинных и интуризиновых пород (23%), кварца (2%), плохо, редко хорошо окатанная. 1 "
3. Песок светло-желтый, среднезернистый, poorly-кварцевый, внизу (0,2 м) суглинок 0,5 "

4. Галечник, в средней части (1,2 м) валуны (15–18 см) с линзами темно-коричневой глины и супеси. Галька (2–5 см) хорошо и плохо окатанная. Состав гальки: песчаники (73%), алевролиты и аргиллиты (15%), гранитолы, эфузивы, дидазы (7%), известняки (3%), кварц (2%). Заполнитель светло-желтый, мелкозернистый слабоглинистый песок. 3,7 "

В отложениях I надпойменной террасы р.Май известны кости грызуна *Lemmus obensis* cf. *L. timidus*, *Dicristonix torquatus* Ochotonidae, *Hipparion*, указывающие на вторую половину позднечетвертичного времени /63/.

В е р х о в о - с о в р е м е н н о е з з е н ь

(QIII-IV)

Верхнечетвертичные – современные отложения представлены цементально-прочищательными образованиями подгорных шлейфов в долинах рек, у подножья склонов и в устьях мелких водотоков. Сложеные неокатанными плохо сортированными глыбами и обломками материнских пород с большим количеством (35–40%) суглинка и щебня, они налагаются на альбий надпойменных террас, поймы и прорезаются современными русловыми образованиями. Эти взаимоотношения позволяют датировать время их образования как позднечетвертичное – современное. Мощность отложений до 3 м. Делювиальные отложения в верхне руч.Малотка, сформированные при донудации кварцевого шлаковера, включают золотоносный пласт мощностью 0,1–0,2 м.

С о в р е м е н н о е з з е н ь (QIV)

Современные отложения представлены аллювиальными песчаниками, галечниками, валунами, суглинками с линзами песка и супеси I надпойменной террасы.

В разрезе поймы р.Сев.Ур в 2,5 км выше устья р.Тоты обнаружются:

- | | |
|---|-------|
| 1. Суглинок буровато-коричневый с прослойками (5-10 см) среднезернистого песка. | 0,8 м |
| 2. Валуники с галечником, грубозернисто-песчаным и суглинистым заполнителем. | 0,7 " |
| 3. Песок разновзернистый бурый | 0,6 " |
| 4. Суглинок буровато-серый с линзами (1-2 см) гравийника | 0,4 " |
| 5. Валуны и галечники с грубозернисто-песчаным заполнителем | 0,5 " |
- В 1,5 км выше устья р.Нёт в разрезе поймы преобладает (2 м) гравийный материал с мелкой (до 3 см) галькой, вверху (0,3 м) — темно-бурые суглинки.

В русловых отложениях развиты преимущественно валуны и галька с грубым песчаным заполнителем. Мощность их в мелких водотоках 1-2 м, по рекам Мае, Сев.Ур — до 5 м.

Для спорово-пыльцевого спектра характерна пыльца листьев, *Ricea*, *Abies*, *Firaceae* и разнотравья, присутствуют споры сферических яиц и плаунов.

В грабеновых долинах приуставной части р.Иоткан мощность современных аллювиальных отложений возрастает до 40 м и более. По руч.Крун-Урх они включают промышленные золотоносные пласти.

ИНТРУЗИВНЫЕ ОБРАЗОВАНИЯ

В районе выделяются шесть разновозрастных групп интрузий и субвулканических образований: раннепротерозойские, позднерифейские, среднепалеозойские, ранне-, ранне-поздне- и позднемеловые. Раннепротерозойские и раннемеловые субвулканические образования и интрузии развиты только на плоскости листа 0-53-ХХIV.

РАННЕПРОТЕРОЗОЙСКИЕ СУБВУЛКАНИЧЕСКИЕ ОБРАЗОВАНИЯ

С убезуяжаническим альзио-дацитом (альциитом) образуют на правобережье р.Мал.Комуя (юго-восток листа 0-53-ХХIV) пластообразную заливу (горючий) мощностью около 250 м, протяженностью 4 м и шириной до 2 км среди метаморфических пород билякансской серии в зоне биляканского разлома.

Альциито-дациты порфировидные. Вкрапленники (5-10%) образованы хорошо ограниченными шестигранными кристаллами оливини-

(?), замещенного идиомагитом и хиоритом; реже встречаются метаморфизованные авант и плагиоклаз. В основной гиалинитовой массе беспорядочно ориентированные микролиты плагиоклаза (до 45-50%) и авантита скреплены гидрослюдами железа, тонковолокнистым актинолитом и эпилитом.

В лаптах застывшие (до 40%) представлены андезитом № 32-36, роговой обманкой и биотитом, основная масса — микролитами плагиоклаза, актинолитом или хиоритом, замещенными монолитиком. Структура порфирован, основной массы — витрофирировая или пилотактическая. Плагиоклаз подвергся альбитизации и скалолитизация. Иногда почва надело замещается соссиритом, по роговой обманке развиваются урадит или актинолит. Акессорные минералы — сёден, магнетит, титаномагнетит, лейкоксён, апатит, редко орбит и циркон.

РАННЕПРОТЕРОЗОЙСКИЕ ИНТРУЗИИ

Граноцентрический, полочечный граниты (*ГРЧ*) слагают небольшие массивы в междуручье Билякчана — Неруры, на правобережье р.Наружна и в верховьях р.Усмуна (юго-восток листа 0-53-ХХIV), прорвавшие метаморфические образования нелбачанской и билякантской серий. Это субластовые залежи, вытянутые в субмеридиональном направлении, согласном с простиранием метаморфических пород. Западные контакты пологие, восточные круты.

Граносиениты и пелевые граниты сложены постепенными переколами. Это средне- и крупнокристаллические породы серовато-розовые, оранжево-серые, бурые, вблизи контактов грязно- и красновато-зеленые. Они состоят из калиевого полевого шпата (60-70%), плагиоклаза (альбита-олигоклаза) (до 15%), кварца (до 20%), субшелушчатой роговой обманки и биотита (до 10%). Структура гранобластовая с relicками гипидроморфистой. Акессорные минералы — монацит, циркон, дигитолит, апатит, сёден, магнетит, титаномагнетит, орбит и малакон.

Породы разногенерации: в эндоконтакте образуются очковые гранито-гнейсы. Надложенная сланиватость подчеркивается ориентированным в субмеридиональном направлении расположением восточных серцитов и мусковита. В экзоконтакте (до 1 км) образуются биотитовые и блит-кордиеритовые роговики.

С лизообразной интрузией, насыщенной прожилками фторита, кварца, кальцита и гематита, связано редкоzemельное проявление,

ление Гурка (южная граница района). В аллювии ручьев, дренирующих массив, отмечены знаки касситерита и редкие знаки золота.

Раннепротерозойский возраст стабулкинических образований и щелочных интрузий определяется тем, что они прорывают метаморфические образования бильбанской серии и совместно с ними смыты в складки. Непосредственно к востоку на площади листа 0-54-XIX галка аналогичных стабулкинических образований и граносенитов присутствует в базальных конгломератах нижнеридейской голубинской свиты. Радиометрический возраст щелочных интрузий непосредственно к югу от района на листе 0-53-XXX - 1990 млн. лет /21/.

ПОЗДНЕЙЕФСКИЕ ИНТРУЗИИ

Г а б р о - д и а б а з и н, д и а б а з и н, к в а р д и -
з и е д и а б а з и н (β^1P_1), выполнение согласные, реже по-
логосекущие тела (силлы) и даики, развиты в западной, централь-
ной, реже восточной частях района среди средне- и позднеридей-
ских отложений. Они приурочены обычно к границам пластов, смо-
женных литологически разными породами, подчеркивая их простирание, или к присводовым и замковым частям складок. Мощность силь-
лов до 250 м, протяженность 8-12, редко до 20 км.

Породы зеленоватые, темно-серые, мелко- и среднекристали-
ческие, массивные, с маломощными (до 5 см) кварцевыми и кварц-
аппаративными прожилками.

В составе габро-диабазов преобладают плагиоклаз (50-55%),
авгит и титан-авгит (30-35%), обычно замещенные агрегатом хло-
рита и роговой обманки. Плагиоклаз (лабрадор № 20-45) представ-
лен призматическими идиоморфными кристаллами; соскочитализирован
и хлоритизирован. Обично присутствуют в виде скелетных кристал-
лов ильменита и титано-ильменита (3-8%), в кварцевых диабазах -
кварца (5-7%) и калиевого полевого шата (до 3%), образующих
микротекстурные срастания. Аксессорные минералы - апатит, пир-
кон, сфен.

Силкатным анализом характерного образца диабаза (левобе-
режье р. Челасина) определен химический состав породы (вес. %):
 SiO_2 - 49,86; Al_2O_3 - 14,74; Fe_2O_3 - 4,24; TiO_2 - 1,78; CaO - 9,65; MgO - 6,55; K_2O - 0,96; Na_2O - 2,29; H_2O - 0,70; CO_2 - 0,32; сумма - 99,24. Пересчет данных по методу А.Н. Заваринского (a - 6,3; b - 27,1; c - 6,9; d - 40,5; e - 21,8; t - 76,0; p - 2,4; q - 8,32; $a:c$ - 0,9; q - 0,7) показывает, что порода отвечает диабазам по Р.Дэли.

Спектральным анализом установлено, что габро-диабазы и диабазы содержат в 2 раза и более выше чистота медь, олово, германий, бор.

При полном залегании силлы габро-диабазов и диабазов эк-
ранируют зоны интенсивного окварцевания и способствуют образова-
нию кварцевых метасоматитов, в которых местами установлены сле-
ды золота.

Позднеридейский возраст описанных габро-диабазов и диаба-
зов определяется тем, что они как в районе, так и за его преде-
лами в бассейне р.Мая образуют силлы только в рифейских толщах
и отсутствуют среди верхних и палеозойских отложений. Их выдел-
ение связывается с эпиконтактной тектономагматической активизацией
района в конце рифена /3/.

СРЕДНЕГАЛЕЗОМСКИЕ ИНТРУЗИИ

Д а и к и д и а б а з о в, г а б р о - д и а б а з о в,
д и а б а з о в и х п о р ф и р и т о в (β^1P_2) в отличие
от позднепротерозойских силлов залегают как среди отложений
среднего - верхнего рифена, так и среди отложений венда - кам-
рия. Количество их увеличивается вблизи разломов и в замковых
частях складок в бассейнах Сред.Инкантана, Күргүн-Уржа, Түрчи
(0-53-XIII), на левобережье р.Мадакана (0-53-XII).

Простирание даек преимущественно субмеридиональное, углы
падения крутые (до 80°). Обычная мощность их 1-3 м, редко до
10 м, протяженность от первых сотен метров до 3-5 км.

Диабазы по внешнему виду сходны с позднеридейскими. В от-
личие от последних в них практически отсутствует калиевый поле-
вой шпат, а кварц встречается крайне редко (до 1%). Чаше отме-
чаются разности, приближающиеся по структуре к диабазам пор-
фиритам с вкраплениями идиоморфных кристаллов авгита в основ-
ной микротекстурной массе.

Среднепалеозойский возраст даек диабазов определяется тем, что в районе они прорывают отложения среднего кембрия. Севернее, на простирации тех же структур (бассейн р.Аллах-Дын), даики ана-
логичного состава прорывают отложения верхнего кембрия и, по
мнению К.К.Давыдова, являются подводящими каналами покровов, на
которых с разрывом залегают фаунистически оконтактирующие
отложения девона /16/.

РАННЕМЕЛОВЫЕ СУБУЛКАНИЧЕСКИЕ ОБРАЗОВАНИЯ

Анделезиты, андезито-дациты (аK_1), диориты и порфириты (ДиK_1), слагают небольшой (1-2x0,6 км) участок на левобережье р.Балыкчана (юго-восток листа 0-53-ХХ), где прорывают учуликанскую свиту. В составе преобладают андезиты, лишь в эндоконтакте появляются андезито-дациты и диоритовые порфириты.

Анделезиты — темно- или зеленовато-серые среднекристаллические порфировые породы. Во акваплениниках преобладает (30-35%) андезин № 35-45, обычно присутствуют моноклинный приокон (до 5%) и биотит; плагиоклазы соссюритизированы, пироксен актинолитизирован. Основная масса гиалопилитовая или андезитовая, состоит из мельчайших зерен или микролитов плагиоклаза и приокона, иногда появляются оливковые включения кварца. Аксессорные минералы — апатит, циркон, турмалин, плюмит.

Диоритами порфиритами сложены две апофизы (до 1 км²) плоскообразного тела, жерловые фации которого обнажены на площади соседнего с ним листа 0-53-ХХ. Породы серые с порфировыми выделениями (30-40%) плагиоклаза (андезин № 30-35) и игольчатой роговой обманкой. Основная масса состоит из мелкокристаллического агрегата тех же минералов. Аксессорные минералы — магнетит, сфен, апатит.

Липариты, липпарито-дациты (ЛД_1), граниты — порфиры слагают небольшие (до 1 км²) пятна на левоберегье р.Нарури (юго-восток листа 0-53-ХХ), которые прорывают еманыринскую свиту. Это зеленовато-серые и зеленоватые породы с порфировыми выделениями (1-3 мм) плагиоклаза (плагиоклаз № 28), калиевого полевого шата, кварца и биотита. Плагиоклаз замещается альбитом и серицитом. Основная масса сферолитовая или микрофельзитовая флюидальная.

Более сложно построена субулканническая интрузия на юго-западе территории в бассейне р.Малакан. Она лемпиритируется в виде прослоек на южно- и аэрофотоснимках и выделяется положительной магнитной аномалией субширотного простириания интенсивностью до 5 мЭ. Строение интрузии грубоцентрическое. Она ограничена дугообразными разломами и разбита трещинами северо-западного и северо-восточного простирания. В тектонических блоках по периферии залегают андезиты, андезито-дациты и их туфы, в центральной части преобладают липариты и мелкие скапулевые туфы, среди которых присутствуют субластовые тела (20-30 м) и дайки

крупнокристаллических гранит-порфиров. По периферии радиальные разломы залечены дайками диоритовых порфиритов мощностью 2-3 м и протяженностью до 30 м. В эзооконтакте карбонатные породы мраморизованы, песчано-глинистые — оквартированы и орогипсованы: вдоль даек отмечаются пиритизация, редкие окраинники халькопирита и сфalerита. Спектрозолотометрическим анализом в субулкантических образованиях установлены следы золота.

Раннемеловой возраст описанных судулканнических образований определяется тем, что в меандре Балыкчана — Нерури они прорывают образования учуликанской свиты нижнего мела и, в свою очередь, прорываются ранне-по-западнеловыми гранитоидами в ворхьях р.Бал.Комуя.

РАННЕМОЛОВЫЕ ИНТРУЗИИ

Гранодиориты (ГД_1), диориты

Омтагинский массив на северо-востоке листа, в верхнем тек-

чении р.Омтаги, прорывает средне-позднеридейские отложения и, в свою очередь, сам прорывается ранне-позднеловыми интрузиями. Он представлен овальным лакколитом, площадью около 70 км², вытянутым в северо-восточном направлении. Судя по широкому (до 2 км) оребру kontaktово-измененных пород, контакты пологие, что подтверждается также постепенным переходом положительного магнитного поля над массивом в отрицательное по мере удаления от контактов. Массив слабо зеродирован. Пробы кровли в чередовании с интрузивными останками определяют "сигнатурный" фототон, по которому он хорошо лемпиритируется на аэрофотоснимках.

Аналогичными признаками отличается и вторая интрузия, расположенная у восточной границы листа на правобережье р.Сев.Уй

гранодиоритами, часто содержащими округлые включения (до 30-60 см) мелкозернистых диоритов, являющихся, по-видимому, остатками переработанной кроны. Диориты и габбро-диориты развиваются также в эндоконтакте с карбонатными породами. Гранодиориты секутся латками диоритовых порфиритов и немногочисленными маломощными (до 0,2 м) жильями аplitов.

Гранодиориты серые, средне- и неравномерно кристаллические, участками с крупными (до 3 см) таблитчатыми кристаллами калиевого полевого шата, реже плагиоклаза. Породы состоят из калиевого полевого шата (15-40%), плагиоклаза (35-55%), кварца

(до 25%), биотита и роговой обманки (до 20%). Плагиоклаз идоморфный, зональный, в центре кристаллов андезин № 30-35, по периферии олигоклаз № 22-25. Калиевый полевой шпат ксеноморфный, участками с перитовыми вростками. Зерна кварца неправильные и изометричные. Роговая обманка шестигранная и ромбическая, биотит широколистчатый. Аксессорные минералы - сфеен, апатит, реже пирокон, гранат, иногда ортит, фторит. Вторичные изменения выражаются в соссюритизации плагиоклаза и хлоритизации биотита.

Для характерного образца из центральной части массива определены содержания породообразующих окислов (вес. %): SiO_2 - 67,68; Al_2O_3 - 26,96; Fe_2O_3 - 11,22; FeO - 1,94; TiO_2 - 0,46; P_2O_5 - 0,16; MnO - 0,10; CaO - 2,49; MgO - 0,85; K_2O - 3,38; №₈₂₀ - 4,62; п.п.п. - 1,05; сумма - 100,91. Пересчет данных по методу А.Н.Заваридского (a - 14,67; c - 2,99; b - 5,92; s - 76,22; a' - 26,29; f' - 49,72; m' - 23,99; n - 67,60; q - 17,39; t - 0,51; q - 19,72; $a:c$ - 4,97) показывает, что порода при сравнении со средними составами по Р.Дали соответствует грандиориту.

Внешние песчано-глинистые отложения превращены непосредственно у контакта в полевошпат-кварцевые и кордиерит-альбитизированные роговики. По мере удаления от контакта они постепенно сменяются мелкозернистыми кварц-биотитовыми роговиками. В роговиках обычно присутствие магнетита (до 3%). В карбонатных породах образуются трещинные скважины небольшой мощности.

К жильной серии относятся нешироко развитые диоритовые порфиры, окрашенные в серые и зеленовато-серые тона. Во вкладышах (10-25%) присутствуют плагиоклаз (андезин-олигоклаз) и буроватая роговая обманка. Основная масса состоит из беспорядочно ориентированных мелких лейст или микролитов плагиоклаза с мелкими иллюминатами роговой обманки, промежутки между которыми заполнены хлоритом с примесью рудного минерала.

-Рудной минерализации в связи с описанными интрузиями в районе не отмечено.

Раннемеловой возраст этой интрузии определяется тем, что она прорывает рифейские отложения и, в свою очередь, прорывается ранне-позднемеловыми гранитами. По петрографическим особенностям и условиям залегания эти породы весьма схожи с образование нижнемелового (удского) комплекса, развитыми юго-восточнее района.

РАННЕ-ПОЗДНЕМЕЛОВЫЕ ИНТРУЗИИ

Ранне-позднемеловые интрузии сложены широкой гаммой город от гранитов до диоритов и габбро. Выделяются две фазы - диориты, габбро-диориты, габбро (первая фаза), образующие малые тела, и грандиориты, альбомелиты, граниты, диориты (вторая фаза), слагающие крупные пластинкообразные тела и штоки. На заключительном этапе образовались лайки и жилы диоритовых пород-литов, альбомелиты и гранит-порфиров, аplitы.

Диориты (№₁₋₂), габбро-диориты, габбро-первый и фаза слагают малые интрузии в Межуречье Сев.Уя - Малого Комуя (лист О-53-ХХIV) и в Межуречье Мам - Нёта в восточной части листа О-53-ХХIV. В первом случае они контролируются разломами северо-западного направления, во втором - субмеридиональными разломами.

Интрузии штокообразные; при крутих контактах они фиксируются в магнитном полеovalными или концентрическими положительными аномалиями интенсивностью до 20 мЭ. Интрузии обычно насыщены ксенолитами переработанной кровли, что свидетельствует об их слабой эродированности.

Преобладают диориты, которые в краевых и апикальных частях сменяются габбро-диоритами и габбро. Редко встречаются грандиориты и граниты.

Диориты серые со следом зеленоватым оттенком среднекристаллические породы, состоят из плагиоклаза - 55-65%, роговой обманки, моноклинного прикоснова и биотита - 15-25%, калиевого полевого шата до 10%, кварца - до 3%. Плагиоклаз-андезин № 35-40 образует тонкокристаллическое, иногда зональные призматические кристаллы, часто соссюритизирован. Роговая обманка обыкновенная; она развивается по пироксену и, в свою очередь, по краям замещается актинолитом. Моноклинный прикоснов в виде изометрических и неправильной формы зерен, а также в виде реликтов в роговой обманке, бесцветный; $c:\text{Ng} = 43^\circ$. Аксессорные минералы - сфеен, апатит, пирокон, монацит.

Для образца диорита (верховья р.Немikan) были определены содержания породообразующих окислов (вес. %): SiO_2 - 56,52; Al_2O_3 - 18,42; Fe_2O_3 - 2,73; FeO - 3,16; TiO_2 - 0,94; P_2O_5 - 0,50; MnO - 0,12; CaO - 5,41; MgO - 2,03; K_2O - 3,17; Na_2O - 4,42; п.п.п. - 2,88; сумма - 100,31. Пересчет данных по методу А.Н.Заваридского (a - 15,11; c - 5,45; b - 10,87; s - 68,51; f - 52,91; m - 23,35; c' - 13,74; n - 67,96; q - 22,65; t - 1,24;

$Q = 1,45$; $a:c = 2,77$) показывает, что порода при сравнении со средними составами по Р.Дэли близка к диоритам.

Габбро-диориты — темно-серые массивные средне- и мелко-кристаллические породы. По сравнению с диоритами, содержание темнократных (роговая обманка, монактинит пироксен) увеличивается до 40%, отмечается присутствие магнетита и титаномагнетита — 3–10%. Габбро отличается еще большим (до 60%) содержанием цветных. Плагиоклаз представлен лабрадором.

Силикатным анализом породы из эндоконтакта интрузии в верхних р.Неликан установлены следующие содержания окислов (вес.-%): $SiO_2 = 41,32$; $Al_{2O_3} = 7,83$; $Fe_{2O_3} = 5,80$; $FeO = 8,03$; $TiO_2 = 1,06$; $MnO = 0,20$; $P_{2O_5} = 0,23$; $CaO = 13,15$; $MgO = 7,03$; $Na_2O = 1,81$; $K_2O = 1,64$; $Co_2 = 0,91$; п.п.п. — 1,12; сумма — 100,83. Пересчет параметров по методу А.Н.Заваринского ($a = 4,2$; $c = II,8$; $b = 33,0$; $s = 50,9$; $f = 40,9$; $m = 42,9$; $o' = 16,1$; $p = 100,0$; $Q = 18,3$; $a:c = 0,35$) показывает, что при сравнении со средними составами по Р.Дэли порода занимает промежуточное положение между габбро и горноблендитами, но в отличие от последних, содержит больше кальция и меньше темнократных.

Гранодиориты, альмазиты, дио-риты (δE_{1-2}), гранодиориты ($\gamma \delta E_{1-2}$), граниты-диориты ($\gamma \pi E_{1-2}$), граниты: дайки диоритовых пород и рифтов ($\delta \pi E_{1-2}$), аplitы в (ρE_{1-2}) в т.р. ойфа зны слагают Комицкий массив в южной части и Мензыгунский массив на севере листа О-53-ХХІІІ.

Комицкий массив в междууречье Сев.Уя — Челасина является северо-западной частью интрузии, широко распространенной на соседних с юга и востока листах О-53-ХХІІІ и О-54-ХХІІІ. По форме это трехногое пластинкообразное тело, приуроченное к широтной зоне скрытого Томитокано-Челасинского разлома. Массив прорван от нижележащих вулканитов, а сам прорывается позднемеловыми интрузиями. В магнитном поле ему отвечает положительные аномалии интенсивностью до 14 мЭ.

Второй массив — Мензыгунский — приурочен к зоне скрытого Кондеро-Нетского разлома. Он оконтуривается положительной магнитной аномалией, вытянутой в субширотном направлении. Контакты пологие, что подтверждается широкими (2–3 км) ореолами роговиков.

Интрузии сложены породами тектоноземельного ряда — гранодиоритами, альмазитами, гранитами, диорит-моноклитами, кварцодержащими и бескварцевыми диоритами. При этом диориты и дио-

рит-моноклиты слагают обычно эпикальные и краевые части массивов, являясь интенсивно гибридизированными эндоконтактовыми разностями. Какой-либо закономерности в распределении гранодиоритов, альмазитов и гранитов в массивах не наблюдается. Все они связаны постепенными переходами, часто сменяя друг друга.

Наиболее широко распространенные гранодиориты, альмазиты и граниты представляют собой среднезернистые, иногда мелкозернистые, периодически неравномернозернистые, промежуточные к породамющим породы розового-серого или розового цвета. В них хорошо различимы зерна белого или светло-серого плагиоклаза (олигоклаз-андезина № 30–40) — 25–45% и розового кальевого полевого шпата — 5–30%, черные листоочки биотита — 1–5% и удлиненные пряматические кристаллики роговой обманки — 3–7%. Несколько выше различается кварц (15–20%) — бесцветный или светло-фиолетовый, образующий обычно более мелкие выделения. Аксессорные минералы — сфен, магнетит, ильменит, циркон, апатит. Силикатным анализом (левобережье р.Нет) определены следующие содержания окислов в породе (вес.-%): $SiO_2 = 68,86$; $Al_{2O_3} = 15,79$; $Fe_{2O_3} = 1,57$; $FeO = 1,26$; $TiO_2 = 0,34$; $P_{2O_5} = 0,12$; $MnO = 0,06$; $CaO = 2,50$; $MgO = 0,94$; $K_2O = 3,97$; $Na_2O = 3,93$; п.п.п. — 1,24; сумма — 100,54. Числовые характеристики по А.Н.Заваринскому ($a = 14,24$; $c = 3,02$; $b = 4,86$; $s = 77,89$; $a' = 14,47$; $f = 53,03$; $m = 32,50$; $n = 60,31$; $o' = 27,41$; $c' = 0,37$; $Q = 24,28$; $a:c = 4,72$) показывают, что порода при сравнении со средними составами по Р.Дэли соответствует гранодиоритам.

Эндоконтактовые разности — диориты и монодиориты представляют собой более темнократные породы, что является следствием увеличения содержания цветных (до 25–30%), а также густой окраской плагиоклаза, отвечающей по составу андезину № 38–45. Диорит-моноклиты, содержащие достаточно большое количество розового кальевого полевого шпата, окрашены в темные розово-серые тона, а диориты и кварцевые диориты — в зеленовато-серый или серый цвет.

Силикатным анализом породы на эндоконтакте (правобережье р.Джагды) установлены следующие содержания окислов (вес.-%): $SiO_2 = 57,04$; $Al_{2O_3} = 29,09$; $Fe_{2O_3} = 1,92$; $FeO = 3,36$; $TiO_2 = 0,54$; $MnO = 0,11$; $P_{2O_5} = 0,31$; $MgO = 2,42$; $K_2O = 2,20$; $Na_2O = 2,77$; п.п.п. — 0,11; сумма — 99,87. Пересчет параметров по А.Н.Заваринскому ($a = 12,1$; $b = 7,7$; $c = II,6$; $s = 68,6$; $f = 43,3$; $m = 3,35$; $c' = 1,0$; $n = 71,7$; $Q = 6,3$; $a:c = 1,5$) показывает, что порода при сравнении со средними составами по Р.Дэли наиболее близка к диоритам с повышенной щелочностью.

Для пород второй фазы характерно присутствие во всех разностях, даже в диоритах, калького полевого шата, роговой обманки и кварца, в то же время отмечается некоторый лейцит кварца в гранодиоритах и амфиболах.

Кроме близости количественного минерального состава, все породы обнаруживают структурные и текстурные особенности. Структура пород гипидиоморфно-зернистая, нередко с участками монцитовой; в более кислых разностях — гранитовая с участками гранулитовой и гранодиоритовой.

Все породы отличаются высокой магнитной восприимчивостью (средняя 2830-10⁻⁶ ед. CGSM).

Петрографическое сходство пород снимается от их темного генетическом родстве, а разнообразие объясняется ассоциацией гранитной маткой разнообразных по составу вмещающих пород. Контактово-измененные породы представлены различными роговиками, часто содержащими вкрапления пирита, мраморами, магнетит-гранат-пироксеновыми скарнами. Широка контактовых ореолов достигает 2-3 км, что связано, по-видимому, с пологим погружением кровли интрузии.

Диорит-пирофилиты (δK_1-2), граниты-порфириты (δK_1-2), аplitы (ρK_1-2) — жильная форма.

Большое количество пород жилной фации, образующих дайки и мелкие жилы, отмечается в Менингуском массиве среди гранито-дов второй фазы и на правобережье р.Бераны (северо-восток листа О-53-ХШ).

Гранит-порфиды и гранит-аплиты — розовые или розово-серые, обычно лейкократовые породы со светлым кварцем. Они неравномерно кристаллические или порфировые. Аplitы слагают маломощные (до 0,2 м) и зияющие жилы протяженностью 3-7 м, обычно тонко- и мелкокристаллические. В составе их кальцит полевой шпат — 40-50%, олигоклаз — 20-30%, кварц — 20-30%. Аксессорные — орбит, магнетит. Диоритовые порфиды серые с порфировыми выделениями (30-40%) плагиоклаза (размером 2-5 мм) и ильменитом. Основная масса состоит из мелкокристаллического агрегата плагиоклаза и роговой обманки. Структура жильных пород микрогранитовая, аplitовая, иногда гранофирован. К жильной фации отнесенного комплекса, по-видимому, относятся малоизменные кварцевые жилы и прожилки, слагающие штокверк на левобережье руч.Курун-Урх, а также отмеченные на правобережье рек Мал.Комуя и Бераны вокруг малых интрузий диоритов.

Тесная пространственная приуроченность диоритов, габбро-диоритов и габбро к массивам гранитоидов второй фазы и некоторое петрографическое сходство с их габридинами разностями позволяют считать и те и другие производными однотипной матки и относить их к единому интрузивному комплексу. Однако тот факт, что диориты и габбро часто окварцованны под воздействием этой интрузии и прорваны полевошпат-кварцевыми и кварцевыми прожилками, более интенсивно изменены и обладают иными структурами и даже текстурами особыми, сидетельствует об их более раннем образовании в первую, самостоятельную fazu становления интрузии. С постинтрузивным этапом формирования комплекса связываеться образование в его экзо- и эндоконтактах гидротермально-измененных пород (типа вторичных кварцитов), к которым приурочены проявления золотой, медной, полиметаллической и молибденовой минерализации.

В районе гранитоиды прорывают нижнемагматовую емандинскую свиту и, в свою очередь, прорываются верхнемеловыми гранитами. Значение их радиологического возраста (калий-аргоновый метод по замыслу проблем) укладывается в интервал 95-119 млн. лет /14/. Все это позволяет отнести время формирования гранитоидов к концу раннего — началу позднего мела.

ПОЗДНЕМЕЛОВЫЕ ИНТРУЗИИ

Граниты субшелочных и лейкокорратов (τK_2), граниты-пирофилиты (δK_2) слагают относительно небольшие тела (до 50 км²) и штоки в междуречье Мал.Комуя — Челсина на юге листа О-53-ХШ. Эти тела являются апофизами крупного Курильского массива, расположенного на плоскости соседнего с юга листа О-53-ХХХ. Широкие ореолы роговиков свидетельствуют о пологих контактах массива. Интрузии прорывают средне-верхнеридейские отложения, вулканы емандинской свиты и джукурские гранитоиды.

Тела сложены в основном лейкократовыми, диотитовыми, альбитовыми субшелочными гранитами, которые в краевых частях иногда частично замещаются гранит-пирофилами. Это довольно однородные средне- и крупнокристаллические породы, легко разрушавшиеся в пресву. Они окрашены в розово-серый и розовый цвет и состоят из розового кальцевого полевого шата — 40-60%, окружных зерен серого кварца — 30-40%, белых или желтоватых кристаллов кислого плагиоклаза (олигоклаз — олигоклаз — андезин № 20-25) — 10-20% и редких идиоморфных пластинок биотита — до 3%;

очень редко встречаются иголочки роговой обманки. Акессорные минералы – магнетит, ильменит, сфен, апатит, циркон, турмалин, орбит.

Породы обычно неравномерно зернистые, иногда порфировидные, с вкраплениниками полевого шпата и кварца. Структура гранитная.

Составленный анализ характерного образца (левобережье р. Куря) S₁O₂ – 75,94; Al₂O₃ – 12,83; Fe₂O₃ – 1,42; FeO – 0,36; TiO₂ – 0,04; MnO – с.л.; P₂O₅ – с.л.; CaO – 0,35; MgO – 0,29; K₂O – 3,98; Na₂O – 4,04; SO₃ – 0,38; Cl₂ – 0,30; Н.П. – 1,01; сумма – 100,90; а – 13,9; с – 0,4; б – 3,5; г – 82,2; ф – 42,6; п – 12,9; а' – 44,4; п – 50,7; q – 35,9; а:с – 34,9 свидетельствует о преобладающей роли кремнекислотой и большом содержании делочек при равном количестве натрия и калия. По сравнению со средними составами по Р.Дэли она занимает промежуточное положение между гранитами и аляскитами и принадлежит делочным гранитам.

Гранит-порфиры, слагающие кроме эндоконтактов отдельные мелкие штоки, слагающие кроме эндоконтактов отдельные линзы лишь несколько меньшим содержанием (от 3 до 10%) плагиоклаза (от альбит-олигоклаза до основного олигоклаза). Наблюдаются микропегматитовые срастания кварца с кальцитом полевым шпатом, а также мелкие (1–2 см) микролитовые пустоты, выполненные кристаллами дымчатого кварца и иногда оксидизированные. Структура основной массы гранитирована.

Контактовые взаимодействия интрузий на вмещающие терригенные отложения проявляются в упомянутых широких зонах ороговикования. В эзаконтактах с карбонатными породами образуются магнезиальные скарны, в которых наблюдаются значительные скопления бора, молибденована и вольфрамовая минерализация.

А п л и т и т (Ap). П е г м а т и т (Peg) – жильная фация. Жильная фация субделючной гранитной интрузии отличается широким присутствием пегматитов. В междууречье Бол. и Мал. Комуя, выделяются поля (3–4 км²), насыщенные пегматитами и кварцевыми жилами. Мощность жил 0,6–1,7 м. Пегматитовые жилы зональные, с кристаллами кварца (30×15 см) в центральной части. Кварцевые жилы обычно имеют мощность 20–30 см, протяженность до 10 м. С пегматитовыми и кварцевыми жилами связывается проявление полей ложных камней.

Позднемеловой возраст субделючных гранитов основывается на том, что они прорывают южно-камчатскую санти нижнего мела и граниты джуруктурского комплекса. Радиогеологический возраст интрузии, определенный калий-аргоновым методом, составил 100–70 млн. лет.

ТЕКТОНИКА

В районе выделяются три структурных этажа: нижнеретро-зоильский, позднеретро-терразийско-палеозойский и мезозойский. Нижний этаж сложен метаморфическими вулканогенно-терригеническими образованиями, средний – терригенно-карбонатными толщами среднего риффа – верхнего карбона, верхний – меловыми вулканогенными образованиями. Средний этаж включает два подэтажа: средне-верхнеретро-зоильский и венеско-карбоновый (рис. I).

Складчатые структуры района инверсионные. Они возникли на месте краевых или шовных пропилов на этапе мезозойской активизации. Эти структуры относятся к Верхнеколымской складчатой области. Только на юго-востоке располагаются реликты Джуруктурского наложенного вулканогенного прогиба, входящего в состав Охотско-Чукотского вулканогенного пояса /5,6,22,23,63/.

Верхояно-Колымская складчатая область

Верхояно-Колымская складчатая область сложена в основном лислоцированными плашкоутовыми и суплатформенными формациями. Ближайшие выходы архейского кристаллического фундамента известны непосредственно к востоку от района в Верхнекемском поднятии Жогтского остаточного массива. Фундамент сложен амфиболитами и амфиболитовыми кристаллическими сланцами. По гравиметрическим данным /20/ можно предположить, что в пределах района фундамент подходит ближе всего к поверхности на юго-востоке, юго-западе и северо-западе. Здесь на южном фланге отрицательных и нулевых значений силы тяжести, выделяются небольшие по площади положительные аномалии, которые сохраняются и в трансформированном поле (Н.пер. = 5 и 15 км). В южной зоне Биликанско-Бурхалинского разлома обнаружены раннепротерозойские метаморфизованные терригенно-вулканогенные отложения мощностью свыше 3 км, также входящие в состав юрламента плашкоутов.

Вся оставшаяся часть района выполнена терригенно-карбонатными отложениями среднего риффа – карбона. Максимальной мощностью (более 13 км) эти отложения достигают на севере между Бурхалинским и Биликанским разломами. К западу от Бурхалинского разлома мощность уменьшается до 6 км, к востоку от Биликанского – до 4 км. С запада на восток меняется и фациальный состав осадков. Среди карбонатных пород возрастает роль доломитов. Помимо терригенных – полимитовых песчаников и анкерлитов. По-

O-53-XXIV

O-53-XVIII

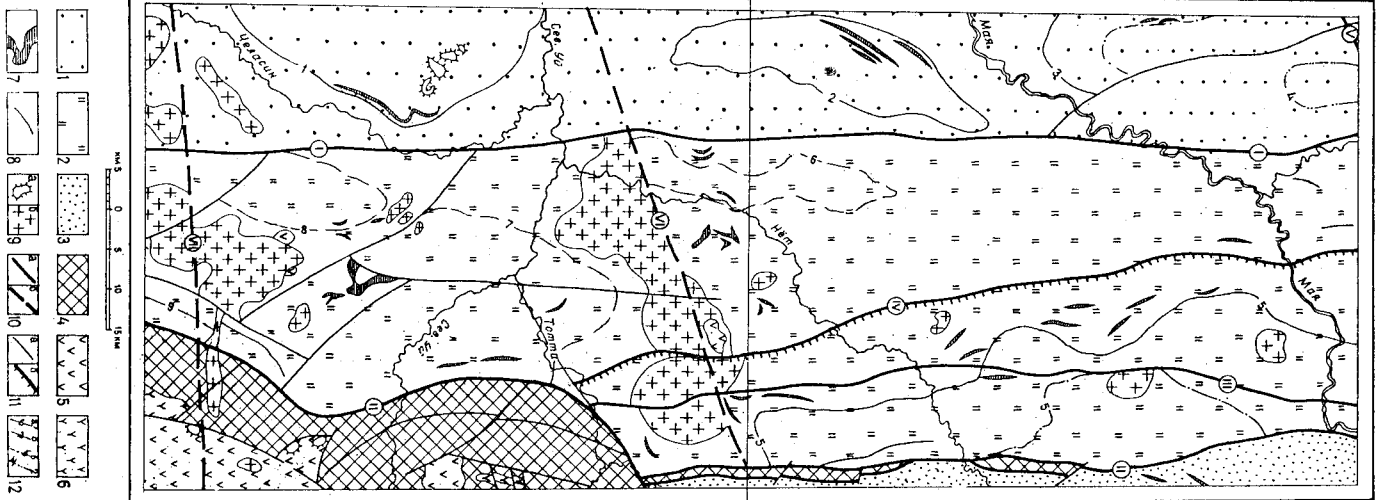


Рис. I. Тектоническая
схема

1-4 - Верхоянско-Колымская складчатая система; 1 - Нелькано-Кылымское поднятие; 2 - Нетский антиклиниорий; 3-4 - Верхнемайский массив; 3 - Верхнемайский массив; 4 - Биличинский горст; 5-9 - Охотско-Чукотский антиклиниорий; 10 - Трещинные и штоки; 5 - Дугутуринский наложенный прогиб; 6 - раннепротерозойские интрузии завершающей стадии погодки проявленного этапа; 7 - позднепротерозойские интрузии среднего этапа; 8 - среднедевонеское время винчанской зоны Охотского эпиглянтового пояса; 9 - ранне-поздненелевые интрузии; 10 - глубокие разломы (на схеме в кружках); а - соскличатые

11 - Ариканская, УЛ-Топтока-

-Но-Чалынский; 12 - прочие раз-

ломы; у - Урханская, УЛ - Кондрово-Нетской; 13 - линия, отвеча-

щая простиранием пластов;

а - среднего риффа, б - верхне-

го риффа, з - впада, г - ординаты. Цифры в разрезах обозначают назимные структуры: синклиналь -

Манаканская (1), Чаплинская (2),

Туринская (3), Салакандская (4), Инянская (5); антиклини-

альная - Усть-Нетская (6), Усть-Тот-

тинская (7), Усть-Малокумская (8), Беркое-Комисская (9)

являются внутриформационные континентальные кристаллические и пестроцветной синекз. В разрезе известны стратиграфические несогласия в основаниях титанитовой синекзы, коломской серии, орловика, силура, среднего карбона.

В пределах Верхояно-Колымской складчатой области выделяются Южно-Верхоянская складчатая система и Охотский остаточный массив. Южно-Верхоянская складчатая система включает Нелькано-Кылымское краевое поднятие и Нетский антиклиниорий. Охотский остаточный массив - Верхнемайское поднятие и Биличинский горст.

Южно-Верхоянская складчатая система

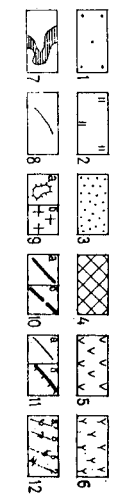
Нелькано-Кылымско-Полиния расположается вдоль западной границы района к западу от Бурхалинского разлома. Оно имеет чешуйчато-надвиговое строение (Нельканская краевая надвиговая зона) и занимает промежуточное положение между Слюдской платформой и Верхояно-Колымской складчатой областью. Характерны меридиональные надвиги и приуроченные к ним короткотные синклинали, разделенные гребневидными антиклиналями, в среднерифейско-среднекембрийских терригенно-карбонатных отложениях (платформенные формации). Выделяются Манаканская, Чандыканская, Туринская и Салакандская синклинали.

Манаканская брахиантиклиналь, хорошо видимая на космических снимках, заходит в район только восточной части. Имеет северное простирание, длина 35 км, ширина 20 км, амплитуда до 1 км. Углы падения крыльев 20-35°, в ядре породы залегают практически горизонтально.

Чандыканская синклиналь расположена в междууречье Мая и Сев. Уя. Простирание субмеридиональное, длина 40 км, ширина 10 км. Ядро и восточное крыло сильно раздроблены; падение крыльев 20-25°, в приразломных зонах до 25-40°.

Туринская синклиналь на правобережье р. Мая представлена южным замыканием и западным крылом; восточное крыло срезано разломом. Заделание пород в замке 5-80, на крыле до 20°.

Салакандская синклиналь на правобережье р. Мая в северо-западной части района представлена раздробленным южным замыканием субмеридионального направления. Длина 7 км, ширина 5 км. Нетсекий анатил и орор расположены в центральной части района между Бурхалинским и Биличинским разломами. Он представляет собой блоково-складчатые структуры в среднерифейских - карбоновых терригенно-карбонатных отложениях.



ях (субплатформенные формации), ступенчато подтрухнущие к северу. В том же направлении возрастает интенсивность дробления. Выделяются следующие блоково-складчатые структуры: Иникинская синклиналь расположена между реками Мам и Тотой. Сохранились только ее западное крыло и днище; восточное срезано Былжанским разломом. В лишие выходят карбоновые отложения, на крыле — отложения среднего рида — нижнего силура. Длина синклиналии более 70 км, ширина до 40 км. Углы падения пластов на крыле 35–45°, в замке — до 20°. Линейная складка эолована более мелкими синклинальями и разломами различных направлений. Крыло прорвано штоками ранне-позднемеловых гранитоидов, включает силии и даеки позднерифейских лабазов.

Усть-Нетская брахиантекиналь представлена лишь северным периклинальным замыканием и фрагментами восточного крыла. В севоле выходят породы тоттинской свиты, а в присловьевой части — кругопадающие (до 40°) породы малгинской — кандинской свиты. Длина ее около 40 км, ширина 10 км.

Усть-Тоттинская брахиантекиналь представлена северным периклинальным замыканием и восточным крылом, обрванным Былжанским разломом. Ядро сложено полого залегающими (до 10°) породами тальинской свиты, а крыша — породами светлинской и тоттинской свит; углы падения крыльев 20–25°. Длина складки более 40 км, ширина 15–20 км.

Фрагментами восточного крыла, западное крыло срезано разломом. Длина ее 30 км, ширина 10 км.

Верхне-Комуйская моноклиналь, расположенная в междуручье Больш. и Мал. Комуя, представляет собой юго-западное крыло синклиналии, сорванное Былжанским разломом. Длина ее около 20 км, ширина до 10 км, углы падения пластов до 40°.

Охотский остаточный массив

Верхнемайское поднятие (западные склоны Охотского остаточного массива) вытянуто вдоль восточной границы района к востоку от Былжанского разлома. Оно разбито поперечными разломами северо-западных и субширотных направлений. На правобережье рек Инхана и Нета отмечены фрагменты коротких брахиформных складок северо-восточного и субмеридионального направлений в среднедийских — ордовикских терригенно-карбонатных отложениях (субплатформенные формации). Простирание крыльев

подчеркивается субплакстовыми интрузиями габбро-диабазов; углы падения крыльев — 15–20°.

Бильчанский горст расположается на юго-востоке района, в междуручье Былжанца и Тоты; уже фрагменты его протягиваются в северном направлении до правобережья р. Нет. Слагающие горст нижнепротерозойские вулканогенно-теригенные отложения, метаморфизованные в залегносланцевой фации, смешаны изоклинальные складки субмеридионального простирания; углы наклона восточных крыльев достигают 50°, западных — 60–70°. Горст разбит разломами северо-восточного, северо-западного простирания и луговыми. Раннепротерозойские субвуликанические интрузии и интрузии цементных гранитов вытянуты также в субмеридиональном направлении и, по существу, являются сокоскладчатыми. Разломы, ограничивающие горст, хорошо лепидифирируются на космо- и аэрофотоснимках. На карте поля силы тягести горсту отвечают вытянутые в субмеридиональном направлении положительные аномалии.

Охотско-Чукотский вулканогенный пояс

Джуричихинский наложенный про-
тиб фрагментами прослеживается на ёге. Он представлен субгоризонтальными покровами меловых пород основного — хилого со-
става мощностью до 1000 м, которые залегают с угловым несогла-
сием на структурах осадочного чехла.

Разрывные нарушения

Среди разрывных нарушений выделяются глубинные разломы со-
складчатые и поперечные. К первым относятся два наиболее круп-
ных региональных разлома — Бурхалинский и Былжанский. Зоны
этих разломов отчетливо лепидифирируются на космических снимках в
виде протяженных линеементов, которые на сотни километров про-
следиваются к северу и югу от района.

Бурхалий разлом уходит в мантию, а по гравимет-
рическим данным он смещает фундамент на 2–4 км; опущен восточ-
ний блок. Разлом отделяет Нельхано-Кылчанско краевое поднятие
от Нетского антиклинария. Плоскость смещения вертикальная.
Амплитуда смещения по нему колеблется от 0,5 до 2,5 км. К раз-
лому в районе Курун-Урка приурочена зона дробления и окварце-
вания, несущая золотое оруденение. В присловьевой части р. Нет в

зоне разлома наблюдается сгущение силлов и лаков диабазов и габбро-диабазов, которые, как правило, вторично просвердлены и содержат знаки золота.

Б и л я к а н с к и й р а з л о м в восточной части района разграничивает Южно-Верхоякскую складчатую систему и Охотский остаточный массив. Северная меридиональная ветвь его представляет собой взброс с амплитудой смещения до 10 км, а южная дуговая ветвь является взбросо-надвигом с вертикальной амплитудой смещения до 1 км. Вдоль разлома в Бильяканско-Каллахском горсте вытянуты раннепротерозойские субшельочные интрузии, несущие редкоземельную минерализацию, а западнее — силлы и дайки габбро-диабазов и диабазов.

От Бильяканско-Каллахского отвечается **К о м у й - М у р а м - Н я н с к и й р а з л о м**, осложняющий Иниканскую синклиналь. Характер его взбросо-надвиговый. Амплитуда смещения не превышает 1 км. К зоне разлома приурочены силлы и дайки габбро-диабазов, а также штоки ранне-позднемеловых гранитоидов. Широко развиты зоны дробления и окварцевания, местами несущие золотую минерализацию. Это свидетельствует, очевидно, о глубинном заложении разлома.

А р и а з к а н с к и й р а з л о м, расположенный к западу от Комуй-Мурманского, представляет собой региональный надвиг. Плоскость смещения наклонена на восток под углом 25–30°. Вертикальная амплитуда смещения составляет 2–4 км. Не исключено, что Аризканский надвиг является западным ограничением Комуй-Мурманского глубинного разлома. Время заложения надвига, по-видимому, позднерифейское, что подтверждается значительным изменением фаций и мощностей к востоку от него. Интенсивные перемещения по всем крупным субмеридиональным разломам произошли в поздней кре, во время складчатости, когда они присобрили характер взбросов и взбросо-надвигов.

К крупным полеречным разломам относятся трансрегиональные скрытые сквозные глубинные разломы Томтокано-Челюский, Кондеро-Нетский и Урхакинский. Зоны этих разломов хорошо линиируются на космо- и аэрофотоснимках. Все эти разломы являются маломпроницаемыми. Наибольшей проницаемостью обладают узлы их пересечения с субмеридиональными глубинными разломами. К этим узлам приурочены ранне-позднемеловые массивы гранитоидов на юге и в центральной части.

У р а х а н с к и й р а з л о м (фрагмент на северо-западе) ограничивает с юга поле широкого развития верхоянского комплекса. Этот разлом, по-видимому, отражает ступень в фунда-

менте, контролирующей значительное увеличение мощности верхоянского комплекса в северном направлении. Ступенчатое погружение фундамента в том же направлении устанавливается и по двум другим широтным разломам. Это подтверждается увеличением мощности отложений чехла в северных блоках.

Среди прочих выделяется один крупный разлом, пересекающий с юго-запада на северо-запад Джулукурский наложенный прогиб, Нёсийский антиклиниорий и Нелькано-Каллахское поднятие; он является магматопроницаемым. В зоне его широко представлены крупные силлы и дайки габбро-диабазов, а также малые интрузии диоритового состава.

Район разбит густой сетью более мелких разрывных нарушений, образующих диагональную систему. Достаточно широко представлены субмеридиональные, реже широтные разломы. Среди них выделяются взбросы, сбросо-слимы и надвиги. Плоскости смещителей вертикальные или крутые (60–80°), у надвигов 30–45°. Амплитуда перемещения до 1,5 км. По возрасту эти разломы, по-видимому, позднемеловые, в Джугдурском прогибе — меловые.

Магнитное поле района характеризуется резкой расщепленностью (рис. 2). В целом пониженное поле совпадает с выходами мощных осадочных толщ. Редкие положительные аномалии в северной части (шток 0-53-Хуш) соответствуют штокам диоритов. Вытянутая в субширотном направлении положительная аномалия в центральной части оконтуривает выходы гранитоидов Менигунского массива. Положительные аномалии на юге района соответствуют вулканитам Джугдурского прогиба (между речье Бильякана — Нерури), массивам ранне-позднемеловых гранитоидов (между речье Мал. Комуя — Челасина), штокам субвулканических образований /18/.

История геологического развития

В истории развития района выделяются три этапа: ранне-протерозойский, позднепротерозойско-палеозойский и мезозойский.

В раннем протерозое в фундаменте платформы заложился Бильяканско-глубинный разлом, в зоне которого происходит накопление вулканогенно-терригенных толщ Нельканской и Бильяканско-серий. В конце эпохи произошло внедрение субвулканических образований основного — среднего состава и субшельочных интрузий. Затем сформировавшиеся толщи были метаморфизованы в зеленосланцевой фации и вместе с интрузиями смыты в складки. Остальная часть района вплоть до среднего рифта испытывает интенсивное поднятие и является источником сноса.

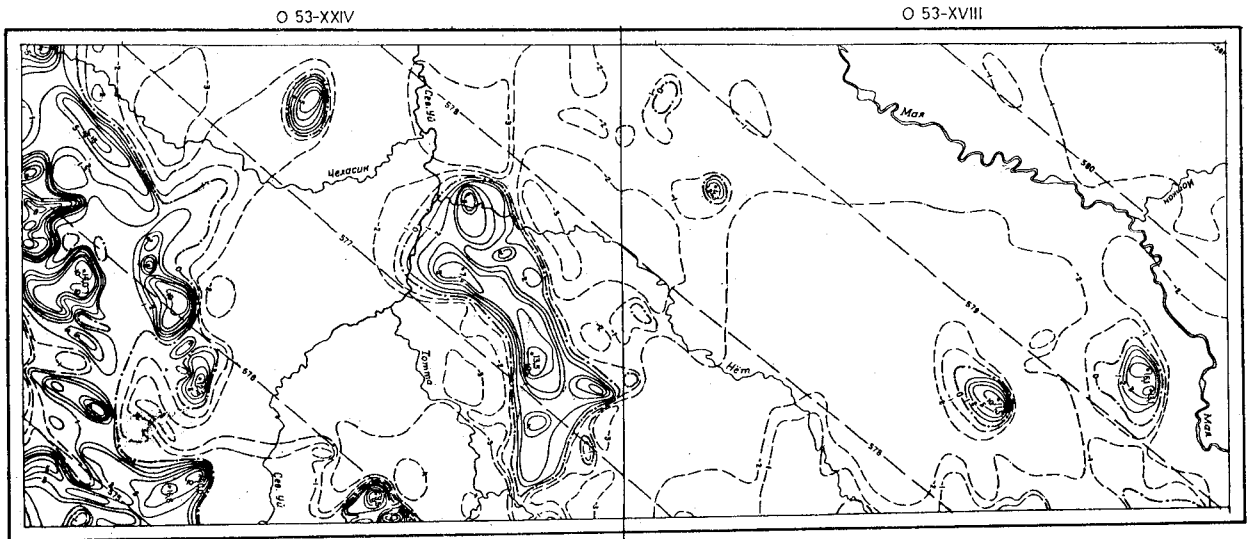


Рис.2. Карта аномаль-
ного магнитного поля

Изолинии $\Delta T_a, Mz$:

1 - положительные, 2 - нуле-
вые, 3 - отрицательные,
4 - максимальные
значения, 5 - изогония

В начале верхнего протерозоя на юго-восточной окраине Сибирской платформы начал формироваться Юдомо-Майский прогиб. Восточным ограничением его был Охотский выступ фундамента. Не позднее среднего ридая начала погружаться и рассматриваемая террито-рия. С этим временем связывается активизация Бурхалинского и Би-лячанскоого разломов, между которыми в Юдомо-Майском прогибе на юге района накапливаются среднерифейские отложения амчанской серии.

Особенно четко различия в интенсивности погружения западной и восточной частей Юдомо-Майского прогиба выявляются с уль- ского времени. Мощность уйских отложений на востоке возрастает по сравнению с западной частью в 2 раза, намечаются и фациаль- ные различия.

В позднем ридае вдоль активизировавшихся субмеридиональных разломов внедрились даек и силия диабазов и габбро-диабазов.

Общее погружение территории изредка сменялось кратковремен- ными перерывами (в предкембрийское и предхандинское время). С предхандинским перерывом связывается образование маломощной коры выветривания.

В предодомское время вся территория была осушена. В венд- ское и камбрийское время интенсивность погружения на востоке простила значительно возрастает. По сравнению с западной частью Юдомо-Майского прогиба мощность отложений вендского комплекса увеличивается здесь в 4 раза, пестротворческий свиты в 20 раз.

В позднекембрийское время весь район испытывает поднятие. Оно было кратковременным на востоке, где уже в нижнем ордовике накапливались отложения не менее 100 м. а в силуре 500 м. Ос- тальная часть территории встала в континентальный режим разви- тия, который продолжался до мела. На востоке и западе в палеозое отмечены перерывы в основании ордовика, силура и карбона. Однако угловых и азимутальных несогласий не наблюдалось, что свидетель- ствует о сквозном развитии.

В среднем палеозое (в девоне?) происходили внедрения даек диабазов.

Второй этап завершился, по-видимому, в позднеюрское время, когда складчатые процессы привели к формированию складчатых и многих разрывных структур района: обнуряется Нетский антиклино- рий и Нелькано-Кылчанское поднятие. Характер складок в прелелах этих основных структур, как было упомянуто, несколько различных.

В раннемеловую эпоху формируется Джулукурский наложенный прогиб, в котором накапливались зуланиты среднего и кислотного состава, залегающие с угловым несогласием на складчатых структу- рах чехла.

В заключительную стадию орогенеза происходит внедрение гранитоидов. Сначала внедряются малые интрузии диоритового состава, контролирующие зоны субмеридиональных и северо-западных разломов. Крупные интрузии гранодиоритового состава локализуются в зонах пересечения субмеридиональных и субширотных разломов. С математической логичностью этого этапа связывается почти вся известная в районе эндогенная минерализация.

ГЕОМОРФОЛОГИЯ

Современный гористый рельеф территории сформировался в результате длительного аэродинамического расчленения, протекающего в условиях общего тектонического поднятия в неоген-четвертичное время. Решающая роль в его формировании принадлежит, по-видимому, дифференцированным новейшим тектоническим движением. Большую роль в строении рельефа играют также отдельные геологические структуры и литологический состав пород.

Выделяются три основные поверхности рельефа, различающиеся по возрасту, генезису и строению (рис. 3).

Денудационная поверхность выравнивания неогенового (?) возраста, сохранившаяся в условиях относительного покоя

Поверхность выравнивания сохранилась в виде фрагментов на водоразделах пригорков р. Сев. Уй у западной границы района. Относительные превышения в ее пределах не более 50 м, углы наклона поверхности до 7°. Повсеместно развалины мелких обломков коренных пород. Средняя абсолютная отметка вершины поверхности – 600 м. Неогеновый возраст поверхности выравнивания устанавливается достаточно приближенно на основании того, что на ней к юго-востоку от района обнаружена кора выветривания с пыльцой широколистевых драесных пород, характерных для неогена /14/.

Эрозионно-денудационная поверхность неоген-четвертичного возраста

Эта поверхность по крутизне и условиям образования расчленяется на три подтипа.

Пологие лёгкоконо-солифлюкционные поверхности, разви- вавшиеся в условиях относительного тектонического покоя, обра- щают поверхность выраживания и прослеживаются севернее вдоль

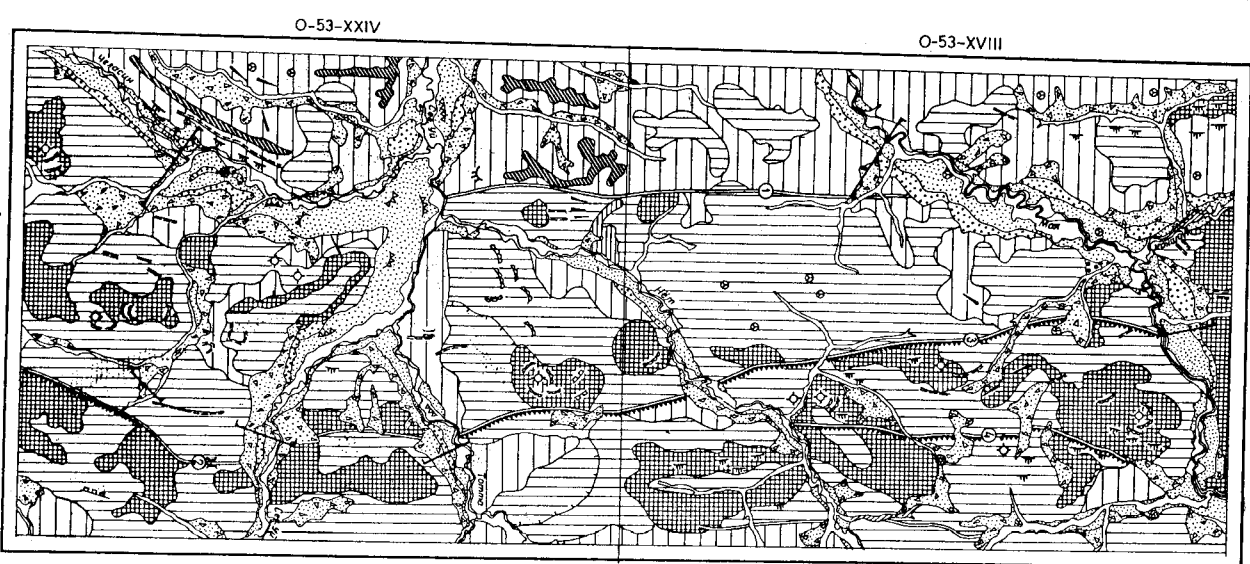


Рис. 3. Геоморфологиче-
ская схема

1 – денудационная поверхность выравнивания неогенового (?) возраста (фрагмент); 2-4 – эрозионно-денудационная поверх-ность неоген-четвертичного воз-раста; 2 – пологая лёгкоконо-солифлюкционная, развиваю-щаяся в условиях относительного тектонического покоя, 3 – сред-ний кривизна солифлюкционно-денудационная, развивающаяся в условиях умеренного понижения, 4 – крутая обрывисто-осканическая, развивающаяся в условиях отно-сительно сильного тектоническо-го поднятия; 5-6 – эрозионно-денудационная поверхность чет-вертичного возраста; 5 – крутые террасы: а – II, б – III, в – IV, г – V, д – VI, е – VII, ж – VIII, з – IX, и – X, к – XI, л – XII, м – XIII, н – XIV, о – XV, п – XVI, р – XVII, с – XVIII, т – XVIX; 6 – пологие террасы: а – I, б – II, в – III, г – IV, д – V, е – VI, ж – VII, з – VIII, и – IX, к – X, м – XI, л – XII, н – XIII, о – XIV, р – XV, с – XVI, т – XVII, в – XVIII, п – XVIX; 7 – уступы; 8 – структурно-денудационные, выглубленные поверхности чет-вертичного возраста; 9 – кривизна, 10 – отдельные гра-дии, 11 – отдельные интрузи-и, 12 – седловины, приуроченные к разломам; 13 – ледник, 14 – кар-стовые воронки, 15 – поклон-речных террас, 16 – наледные поклоны, 17 – бугры (лучины с ле-ником), 18 – сильы и дни-хи, 19 – разломы выраженные в ре-льефе (на схеме в кружках); 1 – Бурзалинский, 2 – Бийский-Ко-муй-Мурзинский, 3 – Ак-ракинский, 4 – Ко-ро-бровые долины, 19 – гребни для накопления захороненных россыпей

зона Бурханского разлома. В восточной части района они сохранились фрагментами эдоль подножья склонов. Поверхности развиваются на брахиформных синклиналях, сложенных породами верхнего рифея - среднего кембрия. Абсолютные высоты 800-1000 м, углы падения до 10° .

Поверхности прямые и волнистые, осложненные отрепарированными пластами и субпластовыми интрузиями. У основания склонов на них образуются линейно-вытянутые ложбины стока (делли), пересекающие в эрозионные борозды и ритмы. Снос сменяется наклонением и образуются вали и бугры пучения.

Поверхности средней крутизны солифлюкционно-деклокционные, развивающиеся в условиях умеренного тектонического поднятия, преобладают в центральной части в междуурье Мая - Сев.Уя, а также достаточно широко развиваются на востоке и юго-востоке района, где обрамляют крутые склоны. Эти поверхности прямые или слегка волнистые, покрыты глибовыми развалами и курумами. На плоскогорьях на горных террасах и уступах развиваются ледниковые сугники со щебнем и мелкоземом. Средние абсолютные отметки вершин поверхности 800-1000 м, углы наклона $15-20^{\circ}$.

Крутые обвално-осыпные поверхности, развивающиеся в условиях относительно сильного тектонического поднятия, сохранились в юго-восточной и восточной частях района. Углы наклона 30-50°, абсолютные отметки вершин 1200-1500 м.

В междуурье Тоты - Бильячана крутые поверхности развиваются на раннепротерозойском складчатом основании; севернее, в междуурье Тоты - Мая, на мезозойских Алтас-Южного синклиниория, а в междуурье Сев.Уя - Челасина - на выступах меловых гранитоидов. Поверхности, формирующиеся на гранитоидах, окружены, с массивными куполовидными вершинами отрицающимися интрузий и обрамляемыми их нагорными террасами. Для Бильячанского горста и особенно для Алтас-Южного синклиниория характерна кuestообразная поверхность, ограниченная наивысшими моноклиналью (в целом) падение пластов структуры. Поверхности каменистые, в предвершинной части с крупногабаритными "килеми" осыпями.

Неоген-четвертичный возраст эрозионно-денудационных поверхностей определяется их положением между неогеновой (?) поверхностью выравнивания и позднечетвертично-современными эрозионно-аккумулятивными поверхностями.

Эрозионно-аккумулятивные поверхности четвертичного возраста

Эти поверхности формируются в днищах речных долин - в руслах, на пойме и надпойменных террасах. Речные долины закладывались по разломам. Самые широкие (до 8-12 км) участки Майской и Челасинско-Уйской долин расположаются в зоне активно живущего Бурханского разлома. Профиль их здесь грабенообразный, абсолютные высоты днища 386-407 м, бортоов - до 1000 м.

В долинах крупных рек широко развиты поверхности II и I надпойменных террас. Только на левом берегу р.Мая у оз.Токо сохранились остатки III террасы.

III терраса пологая, высота ее составляет 120 м. Поверхность полого ($1-3^{\circ}$) наклонена к реке. Бровка закругленная, уступ кругой, тыловой щов выражен нечетко. Возраст этой поверхности определяется как раннечетвертичный в соответствии с возрастом слагающих отложений.

Поверхность II надпойменной террасы высотой 12-20 м сохранилась в днище долины р.Мая и в виде отдельных фрагментов по другим крупным рекам. Поверхность ровная, наклоненная (до 4°) к руслу, часто засolonченная. Сложенная, реже ступенчатая, бровка выделяется лишь на отдельных участках; тыловой щов обычно перекрыт ледникально-проливальным плащом.

Поверхность I террасы сохранилась лучше, чем II и прослеживается по всем речным долинам. Ширина ее у озимия р.Сев.Уя и Челасина достигает 4 км, по р.Мая - 2 км. На поверхности местами сохранились старичные углубления и термокарстовые воронки. Бровка обычно резкая, уступы сплажен и заболочен.

Возраст поверхностей II и I надпойменных террас в соответствии с возрастом слагающих отложений определяется как позднечетвертичный.

Поверхность поймы ровная, изобилует протоками, старичками, заболоченными низинами, термокарстовыми воронками, местами буграми пучения. Ширина ее по крупным рекам до 4 км. На пойме часто образуются наледные полыни. Самая большая по р.Маямкан протягивается от устья до верховьев. Широко развиты морозобойные трещины, термокарстовые грунты, крупные (до 25 м в диаметре) бугры пучения с ледяным ядром (булгуньи) и термокарстовые воронки. Последние особенно характерны в верховьях р.Маямкан, прорезающей здесь карбонатные породы кембрия. Описанная поверхность по возрасту относится к современному звену.

Поверхности подгорных плейядов наиболее широко развиты в бассейне р. Сев. Уя. Они наклонены (до 5°) к реке, осложнены пологовыемыми конусами вноса и обычно заболочены.

По особенностям строения рельефа района можно выявить основные этапы и особенности его формирования. В неогене рельеф

развивался в условиях относительного тектонического покоя. Диагональная линия привела к его выравниванию. В конце неогена начались поднятия и связанные с ним врезание, которое продолжается до настоящего времени. Задолжались долины современных рек.

Диаметрированные новейшие движения, связанные с активизацией зон Бурхалинского и Бильянчанского глубинных разломов, обусловили общее повышение рельефа в восточной части района. На юго-востоке продолжает обособляться Бильянчанский горст; к северу от него в Междуречье Тотты - Май развивается кустообразная надвиговая гряда.

В это же время западнее Бурхалинского разлома рельеф формируется в условиях относительного тектонического покоя, что позволяет сохранять здесь остаткам неогеновой поверхности выраживания.

Рельеф центральной части района между Бурхалиским, Бильянчанским и сопряженным с последним Арикаванским разломами развивается как бы в промежуточных условиях умеренно тектонического поднятия.

Общее воздымание территории было преувеличено, что подтверждается террасированием профилем речных долин, а в зоне Бильянчанского разлома возможно и знакопеременное. Это предположение основано на том, что только в этой зоне известны, с одной стороны, поклонные террасы (левобережье Май и Челасина), а с другой стороны - захороненные под дельтами аллювиальные отложения (противоположная часть р. Курун-Урх). Возможно, что и формирование Челасинско-Уссской долины, сходной по профилю с Майской, протекает в аналогичных условиях.

Очевидно, что активная жизнь Бурхалинского разлома, который продолжается до настоящего времени (в 1951 и 1981 гг. в зоне этого разлома зафиксированы землетрясения по 7 баллов), способствует образованию долинной россыпи золота по руч. Курун-Урх. Обращает на себя внимание, что долина р. Курун-Урх разрабатывается в условиях умеренного (возможно, и знакопеременного) поднятия между относительно поднятыми и находящимися в условиях тектонического покоя морфоструктурами. По-видимому, такой же режим развития имеет Майскую долину в зоне Бурхалинского разлома и

Челасинско-Уссскую долину между Бурхалинским и Бильянчанским разломами. Эти участки долин могут быть, по-видимому, благоприятными для образования захороненных россыпей.

ПОЛЕЗНЫЕ ИСКОПАЕМЫЕ

Район характеризуется широким спектром полезных ископаемых. В пределах его выявлены коренные проявления железа, меди, полиметаллических руд, молибдена и вольфрама, редких земель, золота, боросиликатов и боратов, россыпные месторождения золота, шлиховые и геохимические ореолы золота, молибдена, вольфрама, редких земель. Практически значимы концентрации достигают золото и медь. Преобладают гидротермальные и скарновые проявления рудных полезных ископаемых. Эти проявления сосредоточены в меридиональной полосе между Бурхалинским и Бильянчанским разломами и группируются в пределах трех рудных узлов: Курун-Урхского на северо-востоке, Усть-Тоттинского - в центральной части и Комуско-Джадинского - на юге района. Проявления рудных полезных ископаемых приурочены обычно к зонам вторичного окварцевания и кварцевым жилам и прожилкам. Золото-серебряные, полиметаллические и редкометальные оруденение генетически связываются с мезозойскими (меловыми) магматизмом. Осадочные железорудные проявления по возрасту позднерифейские, осадочно-метаморфические - ранне-протерозойские.

МЕТАЛЛИЧЕСКИЕ ИСКОПАЕМЫЕ

Ч е р н ы е м е т а л ы

Железо

В районе выявлено 10 коренных проявлений железа: два в метаморфизованных кварцитах бильянчанской серии, оставленные в глисто-альвролистистых породах лахадинской подсерии.

Проявления первого типа, расположенные в Междуречье Сев. Уя - Тотты на листе 0-53-ХХII (П-4-1, 2), представляют собой прослои и линзы кварцитов, пропитанных скрытокристаллическим буровато-розовым гематитом. Мощность прослоев 1-3 м, протяженность до 100-200 м. Гематитовый элемент составляет 70-80% от объема породы. Химическим анализом штучных проб установлены (в %): окись железа - 65,6-80,8, окись железа - 0,5-4,31, окись кремния - 15,1-25,05, окись титана - 0,3-0,5, окись фосфора - 0,25-0,28, окись серы - 0,06-0,28.

Проявления второго типа на листе 0-53-ХII расположены на правобережье р.Мал в районе устья Мондона (Ш-Л-1), по рекам Амля (Ш-3-Л,2) и Нёт (Ш-4-4; ГУ-2-1); на листе 0-53-ХХII на левобережье р.Челасин (Ш-Л-1,2) и в верховьях р.Мал.Комля (ГУ-3-14). Эти проявления представляют собой пласти и линзовидные прослои бурых и красноватых гет-гидротитовых пород и бурых железняков среди алевролитов и аргиллитов в нижней (Кумахинской) части лахандинской подсерии. Мощность пластов и линзовидных прослоев 0,1-0,5 м, реже 1-3 м, протяженность 50-100, иногда до 400 м. По химическому анализу многих бороздовых и штрафных проб содержание окиси железа колеблется от 40,69 до 71,85%, залиси железа - 0,14-4,31%.

Проявления железа, виду незначительных размеров пластов и линз, оцениваются как бесперспективные.

Марганец

На листе 0-53-ХХII обнаружен один пункт минерализации марганца. На правобережье верхнего течения р.Мал.Комуя (ГУ-3-10) встречены элювиальные развалы брекчированных кварцитов, склеритированные гипсом и псиломеланом. Полоса брекций шириной до 10-25 м прослежена в субмеридиональном направлении на 250 м. По данным химического анализа штрафных проб, содержание марганца достигает 11,3%.

Повышенные содержания марганца (до 2-4%) выражены спектральным анализом штрафных проб в известняках пестроватой свиты в Межуречье верховий Сред. и Верх.Инниканча и в смарнированных породах апикальной части гранитного штока в приуставной части р.Маямкан.

Ц в е т н ы е м е т а л л ы

Медь

В районе выявлено одно непромышленное месторождение, три проявления и один пункт минерализации меди в коренном залегании, а также два проявления и шесть пунктов минерализации в элювиально-делювиальных развалих. По генезису они разделяются на скарновые, гидротермальные и предположительно осадочные (стратиграфические).

Малокомуйское непромышленное месторождение расположено между составляющими р.Мал.Комуя (ГУ-3-11). Открыто оно Г.О.Гукасяном и др. в 1957 г. Рудное поле приурочено к залежам пироксен-гранатовых скарнов, развитых на контакте ранне-позднемеловых монцодиоритов с отложениями лахандинской подсерии. Детально опрошованы три скарновые залежи с наложенным медно-свинцово-цинковым оруднением. Центральная залежь ориентирована в субмеридиональном направлении. Она рассечена сердцей зон дробления, окварцована, насыщена кварц-карбонатными жилами и прожилками, интенсивно сульфидизирована. Средняя мощность рудной залежи 9 м, протяженность 300 м.

Из гипогенных минералов распространены халькопирит, сфалерит, галенит, висмутин, пирит и магнетит; отмечается блеклая руда, шеелит, вулфенит, серебро. Гипергенные минералы - Малахит, азурит, хризоколла, перусит, пироморйт, симтсонит. Среднее содержание полезных компонентов, по данным химического анализа бороздовых проб, составляет: медь - 2,3%, цинк - 2,6%, свинец - 1,6%. Подсчитанные запасы (с полоской на 150 м) составили: медь - 33 000 т, цинк - 23 000 т, свинец - 14 000 т /59/.

Суппараллельные скарновые залежи, расположенные к востоку и западу от центральной, изменены в меньшей степени и несут преимущественно свинцово-цинковую минерализацию. Мощность восточного рудного тела от 2,5 до 16 м, протяженность - 500 м. Среднее содержание никеля - 0,91%, свинца - 0,43%. Мощность западного рудного тела - 12 м, протяженность - 200 м; среднее содержание никеля - 0,57%, свинца - 0,34%. В штрафных пробах из восточного тела установлены медь - от 0,02 до 1,42% и серебро - до 200 г/т.

Кроме того, в единичных пробах из ячеек рудных тел отмечены: золото - до 0,6 г/т, молибден - до 0,01%, вольфрам - до 0,32%, олово - до 0,05%, висмут - до 0,62%, бор - до 0,45%.

Малокомуйское месторождение представляется перспективным и в целом слабо изученным объектом. В его пределах прогнозируются запасы меди 100 000 т /59/.

Проявление меди Снежок (ГУ-3-9), расположение в долине р.Мал.Комуя в 2 км к северо-западу от вышеописанного месторождения, также приурочено к скарнам. Скарны магнетит-гранат-диородного состава, развиты в провесе кровли ранне-позднемеловых монцодиоритов. Положительная магнитная аномалия, связанная с рудным телом, прослеживается в северо-западном направлении на 1,5 км.

В рудной зоне, детально описанной на протяжении 110 м при ширине 40 м, скарны несут прожилково-вкрашенную сульфидную минерализацию: халькопирит, сфalerит, блеклая руда, борнит, пирит, пиротин. По химическому анализу бороздовых проб (длина борозды 1 м) установлены: медь – 2–5%, в одной пробе 6%, цинк – 2–5%, серебро – 8,2 и 304 г/т, золото – до 5 г/т. Составляющие компоненты: свинец – до 0,7%, висмут, мышьяк – до 0,3%, олово – до 0,07%, марганец – 3–7%. Проявление рекомендуется для поисково-оценочных работ /59/.

Медное проявление Магнитное расположено в междууречье Бол. и Мал. Комуя (ГУ-2-2) и аналогично по происхождению и составу рудных тел. Мощность залежей гранат-магнетитовых и гранат-пироксеновых скарнов – 10–20 м, протяженность до 1 км. В скарнах наблюдается рассеянная вкрашенность халькопирита, борнита и пирита. Содержание меди 0,003–1%; сопутствующие компоненты – олово – до 0,1%, вольфрам, цинк – до 0,01%. Вышу никаких содер-жаний проявление оценено как бесперспективное /59/.

В 3 км к северо-востоку от Малокомужского напромышленного месторождения выявлено Бородинское прожилково-вкрашенное проявление меди. Оно связано с небольшим (0,3×0,4 км) штоком медо-вкрашенных гранит-порфиров среди брекчированных, окварцованных и суль-фидизированных кварцитов кандидской свиты. Прожилки и вкрашеными халькопирита, галенита, висмутина, молибдена локализованы преимущественно внутри штока в кварц-полевошпат-серпентитовых и кварц-хлорит-серпентитовых метасоматитах. Спектральным анализом шести штуфных проб установлены (в %): медь – до 1–3, висмут – до 0,7, свинец – до 0,3, цинк и вольфрам – 0,01, молибден – 0,02, серебро – 20 г/т. Претворение о принадлежности проявле-ния к меднопорфировой рудной формации послужило обоснованием его положительной перспективной оценки /59/.

Два проявления меди, близкие к стратиграфическому типу, выяв-лены на листе 0-53-ХХII. Они приурочены к элювиальным развалам серо- и красноцветных песчаников усть-кирибинской свиты, которые содержат вкрашенность халькопирита, максита, азурита, хризо-кона. На проявлениях Бороды (ГУ-4-1) в верхнем течении р. Сред. Ини-коганширина развалов с рудной вкрашенностью 4–6 м, прослежен-ная протяженность 7 км. Содержание меди, по данным спектрально-го анализа штуфных проб, от 0,1–0,2 до 0,7–1%.

На правобережье р. Маянкан (Ш-4-1) минералами меди обогаше-ны четыре параллельных полосы развалов. Ширина каждой полосы 1,5–2 м, прослеженная протяженность – 1 км. Содержание меди

0,1–0,6%. В одной пробе отмечены свинец – 1%, висмут – 0,03%, серебро – 10 г/т.

Оба проявления рекомендуются для поисковых работ /40/.

Коренной пункт минерализации (П-3-3) на правобережье при-устинской части р. Тоты связан с кварцевыми метасоматитами. Со-держание меди по спектральному анализу штуфной пробы – 1%.

Пункт минерализации на левобережье р. Мая в 8 км ниже р. Иникана (ГУ-4-3) выявлен в развалих кварца с вкрашенностью сульфида.

По спектральному анализу (три штуфные пробы) содержание меди – 0,1–1%, свинца – 0,05–0,8%, серебра – 1–1,5 г/т.

Остальные пункты минерализации меди в элювии и делювии на листе 0-53-ХХII расположены на водоразделе рек Челесина – Бол. Комуя (ГУ-1-1), на правобережье р. Курьи (ГУ-1-3), на левобере-жье р. Бол. Комуя (ГУ-2-4), на водоразделе рек Бол. и Мал. Комуя (ГУ-3-12), в верховьях правой составляющей р. Мал. Комуя (ГУ-4-2).

Они связаны со скарнизованными пиритизированными породами и ро-говиками. Содержание меди по спектральному анализу штуфных проб от 0,1 до 1%.

Свинец

На листе 0-53-ХХII выявлены три пункта минерализации свин-ца в элювиальных и делювиальных развалих, приуроченных к эндо-, экзоконтактовым зонам гранитолов. На правобережье р. Курьи (ГУ-1-4) и в междууречье Куры – Бол. Комуя (ГУ-1-9) в пиритизи-рованных роговиках спектральным анализом штуфных проб установлены: свинец – до 1%, медь, цинк, висмут – до 0,1%, серебро – до 10 г/т.

На правом притоке р. Бол. Комуя (ГУ-2-6) в мраморах и скар-нах с вкрашенностью сульфида содержание свинца – до 0,5%, цинка – до 0,1%. Наибольших концентраций (до 1,6%) свинец дости-гает на Малокомужском медно-полиметаллическом месторождении.

Цинк

В районе обнаружены пять пунктов цинковой минерализации: два – в коренном залегании, три – в элювиальных развалих.

Пункт минерализации на правобережье р. Мая против устья р. Иникан (Г-4-1) вскрыт канавами. Он приурочен к брекчированным и обожженным доломитам усть-юромской свиты. По данным химическо-го анализа бороздовой пробы, содержание цинка составляет 2,41%.

Спектральным анализом штучных проб установлены (в %): никель - до 0,6, кобальт - до 1, олово - до 0,013, висмут - до 0,01, цирконий - до 0,1, титан - до 0,8.

Второй аналогичный пункт минерализации, также покрытый гравирами, расположен на севере листа 0-53-ХШ в верховых лавового притока р.Найя (I-3-2). Бреактированные поломы усть-шломской свиты содержат незначительную вкрапленность сфалерита, смитсонаита, гематита, халькоцирита, пирита, царусита, вискутина, малахита, лироформита. По химическому анализу двух бороздовых проб, содержание цинка - 2 и 3%. Спектролитометрическим анализом установлено серебро - до 20 г/т.

Третий аналогичный пункт на листе 0-53-ХШ в верховых р.Дыламу (II-1-1) связан с элювиальными развалами перекристаллизованных ломомитов кровли усть-шломской свиты. По химическому анализу двух штучных проб, содержание цинка - 0,3 и 2%, кальция - 0,001-0,02%.

Остальные два пункта минерализации цинка на листе 0-53-ХШ на правобережье р.Куры (II-1-4) и в Междууречье Куры и Большой Кумя (II-1-2) связаны с элювиальными развалами окварцованных и сульфидизированных ожарнов, приуроченных к эндо- и экзоконтактам меловых гранитоподошв. Спектральным анализом в них установлены: цинк - 0,5-1%, медь - до 0,05%, золото - до 0,13 г/т.

Из приведенной характеристики пунктов минерализации цинка видно, что они разделяются по генезису на две группы: скарново-гидротермальные, характерные для южной части района, и стратиформные, развитые в северной части на листе 0-53-ХШ. Для однократного проявления второго типа рекомендуется проведение поисковых работ /39,40/.

Олово

В качестве сопутствующего компонента олово довольно часто отмечается на проявлениях бора, меди, золота, молибдена, редких земель. Содержание его обычно не превышает 0,05-0,07% и лишь на борато-скарновом проявлении Горное повышается до 0,4-1%. Минералом-носителем в последнем случае является станино-поливигит. Штоковой ореол касситерита на листе 0-53-ХШ (II-4-1) расположен в правом притоке р.Нерури. В пределах ореола касситерит встречен в семи шихах в количестве первых знаков. Источником сноса, по-видимому, служила ранне-протерозойская субдактическая интузия.

Никель

Как сопутствующий компонент никель достигает относительно высокого содержания (до 0,6%) лишь в пункте цинковой минерализации (I-4-1) на правобережье р.Мак.

Спектральным анализом штучных проб выявлено также повышенное содержание никеля (до 0,01-0,05%) в алевро-аргиллитах и песчаниках тогтинской и пестропиетной свит, развитых в Алтае-ЮНЕском синклиории.

Кобальт

Как сопутствующий компонент кобальт присутствует в выше-указанном пункте цинковой минерализации. Содержание его до 0,6-1%.

Мышьяк

Повышенное содержание мышьяка (0,1-0,3 до 1-3%) сопутствует от некоторым скарновым проявлениям меди и кварцево-жильным проявлениям молибдена.

Алюминий

Высокие содержания алюминия выявлены только на листе 0-53-ХШ, где они связаны с железорудным проявлением (Ш-1-1). Здесь в основании лахадинской подсерии канавами вскрыты пестроокрашенные железисто-глиноzemистые породы, принадлежащие, по-видимому, предхандинской коре выветривания. Мощность слоя 0,2-0,6 м, прослеженная протяженность 200 м. По химическому анализу 4 бороздовых проб содержание оксида алюминия - 23,67-38,65%; окиси кремния - 13,22-17,42; окиси железа - 13,13-23,72%; закиси железа - 0,14-13,3%. Бокситовый метод - 1,7-2,2.

Из-за незначительного распространения и малой мощности описанных образований, перспективы бокситоносности этого участка оцениваются отрицательно.

Р е д к и е м е т а л л и и р а с с о ѡ и н и е з л е м е н т и

Молибден

В районе выявлены три коренных проявления молибдена, одно проявление и два пункта минерализации в развалях, а также шлиховой ореол молибдениита в аллювиальных отложениях. Только одно проявление в развалях расположено на листе 0-53-ХШ, остальные сосредоточены в южной части листа 0-53-ХГУ. Проявления относятся к скарновому и гидротермальному кварц-прожилковому типу.

Проявление Шандрикское (ГУ-1-10) на левобережье р.Джалы приурочено к крупной субмеридиональной дайке фельзит-порфиров, рассекающих позднемеловые граниты. В зоне контакта разлиты кварцевые жили и прожилки и кварц-серпентитовые метасоматиты с вкрашенностью молибдениита, образующие широкие эллиптические-дельвильные развалы. По форме развалов предполагается небольшой кварцевый штокверк, сопровождающийся четырьмя линейными зонами жильно-прожилкового окварцевания (ширина до 40 м, протяженность 0,2-1 км) и восемью зонами кварц-серпентитовых метасоматитов (ширина 1-3 м, протяженность 100-550 м). По химическому и спектральному анализам штучных пород, в кварцевых жилах содержится молибден - 0,05-0,2 до 0,45%; вольфрам - 0,01-0,03% в одной жиле (10 см) - 0,1-0,95%; золото - 0,01-1,95 г/т, серебро - до 170 г/т. В кварц-серпентитовых метасоматитах, насыщенных кварцевыми прожилками, содержание молибдена 0,05-0,1%, трехокись вольфрама - до 0,08% (в одной точке 1,02%), золота - до 2,8-5,68 г/т (обычно десятие и сотне доли г/т). Сопутствующие компоненты (в %): берилл - 0,05, лантан - 0,03, олово и ванадий - 0,1, медь - до 0,7, самарий - 0,5, цинк - 0,3, редкие земли - 0,17, мышьяк - до 1. Проявление оценивается как перспективное и рекомендуется для поисково-оценочных работ.

Аналогичное по типу проявление молибдена на листе 0-53-ХШ в верховьях р.Верх.Инканка (Г-3-4) связано с аллювиальными развалами кварца. Ширина полосы развалов 2-5-3,5 м, протяженность до 300 м. Обожженный позднеракитовый кварц включает вкрашенность молибдениита. Содержание молибдена по спектральному анализу штучных проб - до 0,2%, в единичных пробах обнаружено золото - до 0,2 г/т.

Другие коренные проявления молибдена на листе 0-53-ХГУ - основное на левобережье р.Джалы (ГУ-2-3) и Инкекуринское на левобережье р.Куры (ГУ-1-7) локализуются в пироксеновых и гра-

нат-пироксеновых скарнах в антиклинальных частях гранитоидных интрузий.

На проявлении Осиновое гнезда и рассеянная вкрашенность молибдениита и халькопирита сконцентрированы вблизи небольшого штока гранит-порфиров в двух линзообразных залежах скарнов. Мощность залежей 2-2,5 м, протяженность до 200 м. По химическому анализу бороздовых проб, содержание молибдена - 0,01-0,6%, медь - 0,1-0,6% (до 1%), цинка - 0,4%. В ряде штучных проб отмечены единичные знаки золота. На проявлении рекомендуется проведение полевых работ.

На втором проявлении опробована приконтактовая зона скарнов шириной 250 м, содержащая вкрашенность молибдениита, шеелита, галенита и ландшагита. Содержание молибдена - 0,05-0,1%.

Пункты минерализации молибдена на левобережье среднего течения р.Мал.Комы (ГУ-3-1,2) выявлены в развалях гранитов и роговиков по вкрашенности чешуек молибдениита. По спектральному анализу штучных проб содержание молибдена 0,01%.

Как сопутствующий компонент, молибден установлен в проявлениях вольфрама и золота.

Шлиховой ореол молибдениита в бассейнах р.Бол.Комы и Куры (ГУ-1-6) охватывает площадь более 80 км² и открыывается на юг за пределы района. Молибден установлен в 44 шихах в количестве редких знаков. Он сопровождается шеелитом, галенитом, ландшагитом. Источником сноса служат расположенные внутри ореола молибденовые проявления и пункты минерализации.

Вольфрам

На листе 0-53-ХГУ обнаружено коренное проявление вольфрама и один шлиховой ореол шеелита в аллювиальных отложениях, на листе 0-53-ХШ - один шлиховой ореол.

Проявление вольфрама Саверное в верховьях небольшого левого притока р.Бета (Г-3-3) концентрируется в субмеридиональной зоне скарнизованных пород устьевомской свиты на контакте с гранитоидами Менингунского массива. Протяженность зоны 1 км ширина 350 м. Линзы шеелитоносных апидот-гранат-пироксеновых скарнов заути зоны распределены неравномерно. По химическому анализу бороздовых проб, содержание вольфрама 0,05-0,55%, молибдена - 0,01-0,08%, в штучных пробах из окварцированных скарнов содержание трехокиси вольфрама достигает 2,14%.

Спектральным анализом повышенные содержания вольфрама (до 0,1%) установлены на левобережье верховий р.Мал.Комуя в кварди- тах билякчанской серии.

Шлиховой ореол (I-2-4) шеелита расположены в левых притоках нижнего течения р.Нёта. В пределах ореола шеелит встречен в 33 шлихах. Минералы содержатся от знаков до 30 г/м³. Из другихрудных минералов отмечены редкие знаки висмутина. Источником сноса служили, по-видимому, дайки гранит-амбитов, секущие гра- нодиориты.

Шлиховой ореол шеелита на листе 0-53-ХIII (I-3-1) расположена в р.Ариакан. Шеелит встречен в 10 шлихах в количестве первых знаков. Источник сноса связывается с гранитным массивом, расположенным севернее на листе 0-53-ХII.

Вольфрам, как упоминалось, часто присутствует на скарновых проявлениях меди и молибдена; также часто он отмечается на дого-гратоскарновых проявлениях.

Ниобий

Как сопутствующий компонент ниобий отмечен только на редко-земельном проявлении Горка, содержание его 0,006–0,03%. На р.Дев.Немуйкан в отдельных шлихах обнаружены мелкие зерна про-хлора. Источники сноса неизвестны.

Висмут

Как сопутствующий компонент висмут постоянно отмечается на проявлениях молибдена, меди, золота и серебра. Содержание его 0,1–0,3%, на Маванском боровом проявлении достигает 1%.

Висмутин образует шлиховой поток рассеяния в небольшом ле-том притоке р.Нёта. Он встречен в четырех шлихах в количестве первых знаков.

Редкие земли

На листе 0-53-ХIII известны коренное проявление и пункт минерализации редких земель.

Проявление Горка (ГУ-4-3), расположение на левобережье р.Биякчан, детально описано. Рудноносный участок сложен по-родами билякчанской серии, имеющими две либо обособленные интрузии (110x40 и 90x10 м) раннепротерозойских щелочных гранитов. Границы разgneсованы и насыщены прожилами флюорита, кварца, кальци-

та и гематита. По химическому анализу бороздовых и штуфных проб, содержание микроэлементов в минерализованных породах составляет (в %): иттрий – 0,006–1, иттербий – 0,06–0,1, тория – 0,02–0,2, урана – 0,088–0,2, гафния – 0,01–0,2, циркония – 0,01–1, ниобия – 0,006–0,03, олова – до 0,01. Радиоактивность пород – 150–540 мкР/ч.

В связи с неравномерным распределением полезных компонентов и малыми параметрами рудноносных тел проявление оценивается как малоперспективное.

Пункт минерализации редких земель (ГУ-4-4) расположен в 1,5 км выше вышеописанного проявления в той же зоне Биякчан- ского разлома. В развитых здесь альбит-кварц-микроклиновых мета-соматитах по химическому анализу штуфных пород содержатся: ит-трий – до 0,03%, иттербий – до 0,008%, ниобий – до 0,03%.

Шлихи, содержащие языксенит и поликрас в количестве первых знаков, известны в нижнем течении р.Мал.Комуя и по р.Джалдань.

Кадмий

Установлен как сопутствующий компонент в пункте цинковой минерализации в верховых р.Далиму (П-1-1), содержание – до 0,02%.

Церезная группа

В районе выявлено два геохимических ореола церезовой группы. На листе 0-53-ХIII геохимический ореол расположен на левобережье приставной части р.Маямкан (Ш-4-2).

Спектральным анализом в 22 геохимических пробах из лейви-ального мелкозема установлены: церий – 0,01–0,02%; лантан – 0,01–0,025%; иттрий – 0,002–0,006%. Источником сноса являются граниты, которые оконтуриваются ореолом.

Геохимический ореол на листе 0-53-ХIII расположен в верховьях руч.Нерундакан (Г-2-1). В пределах ореола в 22 донных пробах спектральным анализом установлены церий, иттрий и лантан с со-держанием 0,006–0,01%. Прямые источники сноса не обнаружены, но сам ореол располагается в зоне Бурхалинского разлома.

Германит

Повышенные концентрации германия (до 0,008%) отмечены на вольфрамовом проявлении Северное, а максимальное содержание

(0,06–0,3%) – в магнезиальных скарах борового проявления Горное.

Цирконий

Цирконий известен как сопутствующий компонент на редкоземельном проявлении Горка, содержание – 0,1–1%.

Благородные металлы

Золото

На площади листа 0-53-ХШ выявлено одно проявление коренного золота, одно проявление в элювальных развалих, одно прошмельченое месторождение и три непримесленных месторождения россыпного золота, шесть шлиховых и один геохимический ореол. На листе 0-53-ХШ – четыре проявления коренного золота, одно проявление в элювальных развалих, четыре коренных пункта минерализации, пять пунктов минерализации в элювии, четыре шлиховых и два геохимических ореола. Как сопутствующий компонент золото часто отмечается в медных, молибденовых и боратовых проявлениях скарнового типа.

Проявление Малютка расположено на севере листа 0-53-ХШ на левобережье р. Курун-Урек (1-2-3). Оно изучалось с 1943 г. и к настоящему времени детально описано с поверхности. Проявление представляет собой кварцевый штокверк, сформированный в узле пересечения различных нарушений широтного, меридионального и диагонального направлений. Вещают штокверк известковистые алевролиты и аргиллиты пестроцветной, отчасти доломиты Усть-Юртской свиты; последние слагают ядро антиклинальной складки, ориентированной в северо-восточном направлении. Широко распространены дайки диабазов и габбро-диабазов. Породы вблизи даек орогеникованы. Многочисленные разрывные нарушения имеют преимущественно взбросо-сдвиговый характер и сопровождаются смятием, брекчированием и рассланцеванием пород. Гидротермальные изменения проявлены окварцеванием и рассеянной пиритизацией.

Золото сконцентрировано внутри зон дробления и рассланцевания в кварцевых, кварц-гематитовых, кварц-карбонатных и кварц-баритовых жилах и нитевидных прожилках. Поле распространения золотоносных прожилков не имеет четких границ, площадь его примерно 2–3 км². По подсчетам А.А.Мело /51/ до 1976 г. на проявлении отобрано 3029 бороздовых проб, из них 18% показали содер-

жение золота более 1 г/т, а 2% – более 8 г/т. Одновременно были отмечены случаи ураганного (до 279 г/т) содержания золота в кварц-гематитовых прожилках.

Детальными поисковыми работами последующих лет установлено, что минерализованные зоны дробления, состоящие из тектонерк, имеют меридиональное и широтное простирание, мощность 0,3–3 м, протяженность до 1 км; содержание золота 0,01–3 г/т, максимум 13,3 г/т. В узлах пересечения мощность рудоносных тел достигает 16 м, а содержание золота снижается до 0,04–1,2 г/т и в среднем составляет 0,3 г/т. Единичные кварцевые жилы имеют мощность 3–5 см, редко до 1,5 м, протяженность до 20–40 м. Золота в жилах обычно содержится 0,01–0,6 г/т. В одних из кварц-гематитовых прожилков отмечено содержание 97,5 г/т.

Комковатые и пластинчатые выделения золота наблюдались в греденчатом медно-, среднекристаллическом серовато-белом кварце в ассоциации с гематитом или сульфидами (пирит, халькопирит, галенит, сфалерит, арсенопирит). Размер золотин 0,1–3 мм, пробы 940–945. В рудоносных породах помимо золота содержатся: серебро – 0,1–5 г/т, олово – до 0,004%, вольфрам – до 0,001%, медь – до 0,03%, ник – до 0,01%.

В 5 км к северо-востоку от проявления, в вершине руч. Курун-Урек выявлены геохимические аномалии мыльца и сурьмы – до 0,01–0,03%, сопровождающие аномалии золота с содержанием от 0,2–0,3 до 3 г/т. Последнее послужило основанием для рекомендации по продолжению поисковых работ на коренное золото в бассейне руч. Курун-Урек. Для участка Малютка допускается возможность обнаружения золоторудных тел на глубине /51,62/.

Три проявления коренного золота на листе 0-53-ХШ расположены на правобережье р. Мал. Комуя (Одуковское рудоносное поле). Они локализованы вокруг штока диоритов и монцодiorитов на площади 40 км² (Ш-3-3,4).

Рудоносные тела – протяженные зоны дробления в орогеникованных терригенных породах тогтинской свиты сложены сульфидизированными серпент-кварцевыми метасоматитами, насыщенными кварцевыми, хальценовыми, кварц-адуляровыми, карбонат-кварцевыми и аплит-кварцевыми прожилками и жилами. Мощность зон дробления достигает первых десятков метров. Широко распространены дайки диоритовых пород, оинеит-порфиров, андезитов и фельзитов.

По данным спектрозволотометрического и пробуренного анализа штуфных и редких бороздовых проб установлено 11 пунктов с повышенным (2 г/т и более) содержанием золота, почти равномерно распределенных по площади рудоносного поля. В каждом экзоконтак-

те штоки (Ш-3-5) в одной пробе содержание золота достигает 367,6 г/т, серебра 2801,2 г/т; в северо-западной экзоконтактовой зоне (Ш-3-4) окварцованные и миллиметрированные песчаники содержат до 75 г/т золота и до 649 г/т серебра. Кварцевые прожилки и брекчии алевролитов наиболее протяженных и гидротермально проработанных зон северной части рудноносного поля (Ш-3-3) содержат до 5-30 г/т золота. Здесь же в двух пробах отмечен молибден - 0,03 и 0,1%. Минералогическим анализом прототочечных штучных проб установлены галенит, сфalerит, халькопирит, молибденин, золото, аргентит. Количество сильвийдов не превышает 5-7% объема пород, наиболее распространен пирит.

В 1983 г. на Одуховском рудноносном поле начаты поисковые работы.

Проявление коренного золота турмалиновое на левобережье р.Бол.Комуя (ГУ-1-8) расположается в зоне разлома северо-западного простирания, который рассекает массив гранитоидов. По разлому выделяется полоса брекчированных турмалинизованных, альбитизированных пород. Протяженность полосы 1,5 км, общая ширина - 32 м при ширине измененных пород от 0,4 до 4,6 м. Спектролитометрическим анализом многих штучных проб установлено, что серпентит-турмалин-кварцевые метасоматиты содержат золото от 0,1-0,4 до 1 г/т. В гематит-турмалин-кварцевых брекчиях золото распределено крайне неравномерно: наряду с большим количеством "пустых" проб, в отдельных точках содержание достигает 1,5 г/т. Минералогическим анализом в прототочках установлены пирит, галенит, халькопирит, молибденин, аргентит. Проявление рекомендуется для постановки поисковых работ.

Проявление Изначальное (ГУ-1-5) расположено в 4 км к северу от Тумадинского. Оно связано с эловиально-деловиальными развалами кварца и березитоподобных серпентин-кварцевых метасоматитов, распространенных в северной части гранитного массива. Эти обломки грушируются в пределах двух полос северо-западного простирания; ширина полос 20-40 м, протяженность до 100 м. По спектролитометрическому анализу штучных проб содержание золота в кварцевых метасоматитах (три пробы) составляет 19,2; 2,8; 0,01 г/т; в кварце (три пробы) - 9 и 4,76 г/т. Согутствующие компоненты: висмут - 0,02-0,1%, вольфрам - 0,01%. Минералогическим анализом установлены висмутин, молибденин, мелкие зерна золота.

Верхне-Линканчанское проявление золота в эловии на листе 3-53-ХУШ (П-3-2) расположено в верховых одноименного ручья.

Обломки килевого кварца занимают площадь 30 км² среди верхнерифейских терригенных пород, прорванных силиками и лайками габбро-диабазов. Содержание золота, по данным спектрального анализа 16 штучных проб, 0,01-0,2 г/т, в одной пробе - 50 г/т.

Известно несколько пунктов минерализации коренного золота. В приустьевой части р.Нета (Г-2-3) в окварцовых диабазах минералогическим анализом обнаружены мелкие золотники. Там же (П-2-1) в скарнированных породах содержание золота составляет 0,2 г/т (спектральный анализ). В приустьевой части руч.Уман (П-3-2) золото установлено в кварцевых метасоматитах, которые образуются по голомитам светлинской свиты и окраинируются силиками габбро-диабазов. Мощность залежи метасоматитов 5-8 м, протяженность до 2 км. Метасоматиты раздроблены и рассечены прожилками преденчного кварца. По спектролитическому анализу проб (семь проб) содержание золота - 0,004-0,03 г/т, меди - 0,05-0,4%. В то же время пылевидные знаки золота всегда присутствуют в шлихах из дресвяно-глинистого эловия, а спектролитический анализ (три пробы) показал в них содержание золота 0,2; 0,4; 1,5 г/т. На правобережье р.Бол.Комуя против устья р.Джагды (ГУ-2-7) золото встречено в пиритизированных скарнах. Содержание его до 0,1 г/т, серебра - до 0,4 г/т.

Кроме того, выявлены пункты минерализации золота в эловиальных развалих: на левобережье р.Джагды (ГУ-1-1) в кварце (содержание 2,3 г/т); на левобережье верхнего течения р.Мал.Комуя (ГУ-3-13) в брекчированных пиритизированных песчаниках. Содержание золота 0,07 г/т, в проточке установлено более 100 знаков аргентита; в междуречье Омтаги и Ниж.Омтаги (Г-3-4,5) в кварцевых прожилках. Содержание золота 0,4 г/т, серебра 5 и 14 г/т; в истоках руч.Ультика (Г-4-1) в окварцованных песчаниках в проточкой пробе установлены знаки золота.

В заключение можно сделать вывод, что коренные проявления золота Курун-Уркского рудного узла отличаются от проявлений золота Курун-Джагдинского узла. В первом случае проявления связаны с кварцевыми прожилками, жилами и штокверками в зонах интенсивной разрывной тектоники и отличаются низким содержанием серебра. Коренные проявления сопровождаются золото-шешитовыми шлаковыми ореолами. Во втором случае проявления золота, также часто связанные с кварцевыми прожилками, приурочены к зонам гидротермально-измененных пород: кварцевым метасоматитам, албитизированным и серпентинизированным породам в апикальных частях гранитоидных массивов. Они локализуются в трещинах склона и отрава, определяющих

разомы диагонального, преимущественно северо-западного направления. В этих проявлениях отмечаются высокие содержания серебра. Проявления оконтуриваются золотыми шлифовыми ореалами. По этим признакам проявления Курун-Уржского узла принадлежат, по-видимому, золото-кварцевой формации (мезо- или высокотермальный тип), а проявления Комуй-Джалдинского узла - к золото-серебряной формации (эпитеrmальный тип). По генезису золото-кварцевые проявления связываются с внедрением малых гранитоидов в складчатые толщи Нетского антиклинария, а золото-серебряные проявления - с вулканической деятельности в Охотско-Чукотском вулканогенном поясе. К коренным проявлениям первой группы притугоны крупные россыпи золота.

Промышленное месторождение российского золота Курун-Урж (I-2-2) расположено в долине одноименного левого притока р.Иоткан. Открыто оно В.Н.Нагаровым в 1937 г. /31/. Добыча золота началась в 1940 г. и, так же как и поисково-разведочные работы, продолжается до сих пор.

Длина долины руч.Курун-Урж 8 км., ширина днища в среднем 0,8 км., уклон русла 0,02. Поперечный профиль долины корытообразный. Слоны сложены преимущественно доломитами усть-доломской и терригеническими породами пестролистовой свиты. Породы часто брекчированы, рассланцованны и подвергнулись изменениям, широко распространены зоны прожилкового окварцевания.

Длина долинной россыпи с отчетливыми по тальям левых притоков Горелый, Малотка, Кругой примерно 8 км., ширина 0,1-0,4 км. Золотоносный пласт мощностью до 3-4 м сложен водно-галечным материалом с песчано-глинистым заполнителем. Глубина затопления пласта 5-10 м; в приусыевой части долины р.Курун-Уржка пласт погружается на глубину более 40 м. В долине руч.Малотка золотоносный пласт выходит на поверхность и сопрягается с делювиальной россыпью, формирующейся при денудации кварцевого щитокверка коренного проявления Малотка.

Золото распределено в россыпи в целом неравномерно. Среднее содержание металла за первые 15 лет эксплуатации составляло 2,5-4,8 г/м³, а на отдельных участках достигало 17-20 г/м³ (зарегистрированы прокодки, показавшие урановое - до 300 г/м³ содержание). Размер золотин 0,01-3 мм, иногда встречаются самородки весом 10-30 г. Окатаанность следая, форма чешуйчатая, пластинчатая или комковатая. Прода 895-980. В делювиальной части россыпи в вершине руч.Малотка мощность пласта 0,1-2 м, содержание металла до 2,5 г/м³, среднее 3,15 г/м³. Прода золота 915.

Изменчивость состава золотин свидетельствует о том, что коренным источником российского золота, помимо проявления Малотка, служат многочисленные слабозолотоносные (0,001-0,2 г/т) зоны проявленного окварцевания и, возможно, не обнаруженные золоторудные тела. Подтверждением может служить геохимический ореол золота, выявленный в вершине руч.Курун-Урж /51/.

Всего добыто 12 т металла. В последние годы добыча здается преимущественно гидромониторным способом из отвалов россыпи, содержание металла в которых на отрабатываемых участках составляет в среднем 400-500 мг/м³. Значительный прирост запасов возможен за счет глубоко залегающих золотоносных струй, которые предполагаются на продолжении Курун-Уржской россыпи в долине р.Иоткан /51/.

Золотоносная россыпь руч.Майский (I-2-4) расположена в долине небольшого правого притока р.Май в 6,5 км к юго-востоку от пос.Курун-Урж. Пройдены две буровые линии. Четырьмя скважинами верхней линии вскрыта золотоносный пласт, сложенный валунно-щебнистым материалом с глинисто-песчаным заполнителем. Ширина пласти 22,5 м, средняя мощность 5 м. Содержание золота 129-1209 мг/м³, в среднем 470 мг/м³. Размер золотин 0,3-0,7 мм, форма ленинградская и комковатая, окатанность слабая. Мощность торфов - до 5 м. Скважины нижней линии не добыты из-за вспучистости аллювия, однако и здесь отмечены знаковые концентрации золота. Предполагается, что скважинами верхней линии вскрыта головка россыпи. Коренным источником служили зоны прожилкового окварцевания типа тех, которые распространены на проявлении Малотка. Как неразведенная, россыпь относена к нетронутенной.

Золотоносная россыпь Верх.Инжанчан (I-4-3) расположена в долине верхнего течения одноименного ручья. Долина здесь корытообразная, длина 14 км, ширина поймы 50-70 м. На этом участке пройдено 20 буровых и шурфовых линий, в большинстве случаев не добыты до подножия из-за вспучистости приподнятого слоя. Мощность валуно-галечного аллювия с песчано-глинистым заполнителем составляет 4-12 м. Знаки золота в разрезе аллювия встречаются постоянно. Содержание золота в пределах приподнятого валуно-щебнистого слоя мощностью 0,6-1,0 м достигает 1-5,2 г/м³, а обычно составляет сотни миллиграммов. Золотини мелкие и средние, направленной формы и средней окатанности.

Шесть буровых линий пройдено также в долине правого притока р.Верх.Инжанчан. Ими вскрыта золотоносный пласт мощностью 1,2 м с содержанием металла до 1,9 г/м³.

Поставщиком россыпного золота являются, по-видимому, зоны прожилкового охваривания, широко распространенные в эзоконтактных диоритового штока на правобережье р.Верх.Инканчаны. С этой зоной связано вышеописанное Верхне-Инканчанское проявление золота и геохимические аномалии.

Золотоносная россыпь руч.Амунгда (I-4-4) расположена в долине правого нижнего притока р.Инкан. Частично разведана шурфами и скважинами. Ее характеризуют следующие параметры: протяженность золотоносного вадуно-галечного пласта 3-5 км., мощность 0,2-2,8 м, ширина 50-80 м, мощность торфов 5-7 м, содержание золота 0,02-0,2 г/м³. Россыпь оценена как перспективная /52/.

На листе 0-53-ХУШ выявлены два щлиховых и один геохимический ореол золота, три щлиховых золото-вольфрамовых ореола.

Щлиховой ореол золота (I-2-1) на правобережье р.Мал.оконтуризует проявление коренного золота Малотка и золотоносные россыпи Курун-Урак. Он открывается на север на площадь листа 0-53-ХI.

Щлиховой ореол золота (II-3-1) в среднем течении р.Лев.Ненюкана охватывает сильно подработанный блок терригенно-карбонатных пород верхнего рифа - кембрия в ложем боку Аризаканскоого нарява. Золото встречено в 14 щликах от 2 до 8 знаков. Источником сноса служат, очевидно, гидротермально-измененные породы в зоне разлома.

Щлиховой ореол (I-4-2) на правобережье нижнего течения р.Инканы охватывает золотоносную россыпь руч.Амунгда, на левобережье р.Инканы - зону Комуй-Бурманского разлома, где разрезы подобленные, часто охваченные терригенно-карбонатные породы верхнего рифа - венда. Золото, кроме россыпи, встречено в 15 щликах от первых знаков до 0,02 г/м³. Постоянно присутствует щелит в количестве первых знаков.

Щлиховой ореол по руч.Верх.Инканчан (II-4-2) охватывает проявление коренного золота в элюви и золотоносную россыпь. Постоянно присутствует щелит (редкие знаки).

Щлиховой ореол по левым притокам р.Нета, алатами против руч.Курелькан (IV-3-1), охватывает участок развития песчаников усть-кирбинской свиты, програнных щлихобразными апофизами гранитоидного массива. В эзоконтакте в гидротермально-измененных породах спектральным анализом установлено повышенное содержание золота (до 0,01 г/т). Золото в пределах ореола встречено в 17 щликах от I до 8 знаков. Постоянно в количестве первых знаков присутствует щелит, очень редко молибденит, хромит. Описанный ореол замыкается на листе 0-53-ХУШ (I-3-1), где золото встречено в шести щликах.

Геохимический ореол золота в верховьях р.Прав.Айли приурочен к зоне разлома северо-восточного простирания, рассекаемой осадочные породы верхнего рифа. В пределах ореола золото спектролитометрическим анализом установлено в 13 пробах из девяти и аллювием. Содержание его 4-6 мг/т.

На листе 0-53-ХУШ известны три щлиховых и два геохимических ореола золота.

Щлиховой ореол в приустевой части р.Тотты (II-3-1) оконтуривает выходы кварцевых метасоматитов, включающих мельчайшие золотинки. В пределах ореола золото установлено в девяти щликах в количестве первых знаков. Золото пылевидное, легко смываемое. Щлиховой ореол золота (III-3-2) в среднем течении р.Мал.Комуй и по руч.Джагданы (лев.приток р.Сев.Уя) охватывает большую площадь (200 км²), включаящую проявления коренного золота Одуховского рудноносного поля, пункты минерализации и геохимические аномалии золота, а также проявления меди, в которых золото существует в качестве сопутствующего компонента. В пределах ореола золото встречено в 39 щликах от I-2 до 10 знаков.

Щлиховой ореол в нижнем течении р.Бол.Комия (IV-2-3) оконтуривает коренные проявления, пункты минерализации и геохимические аномалии золота, а также проявления меди, где золото присутствует как сопутствующий компонент. В пределах ореола золото установлено в 20 щликах в количестве первых знаков.

Геохимический ореол золота (I-2-2) в нижнем течении руч.Золочар охватывает участок, сложенный терригенно-карбонатными породами верхнего рифа, включающими силик габро-диабазов. Золото в пределах ореола установлено в 14 лонных пробах в количестве до 0,005 г/т, в одной пробе - 0,01 г/т.

Геохимический ореол золота в среднем течении р.Мал.Комия охватывает проявление коренного золота Одуховского рудноносного поля. Во многих пробах здесь установлено золото с содержанием до 0,01 г/т и выше.

Серебро

Серебро выявлено в пределах Одуховского золотоносного поля - 649-2801 г/т. Как сопутствующий компонент серебро присутствует в проявлениях меди и молибдена с содержанием от 10-20 до 174-304 г/т. Такие высокие концентрации серебра установлены только на площади листа 0-53-ХУШ, тогда как в золото-кварцевом щлиховере Малотка (0-53-ХУШ) содержание его не превышает 0,1-5 г/т.

НЕМЕТАЛЛИЧЕСКИЕ ИСКОПАЕМЫЕ

На территории листа 0-53-ХХУ выявлено одно проявление боросиликатов, три проявления боратов и один шлиховой ореол лопатита и аексинита. Все проявления скарнового типа и располагаются в амфикальных частях гранитов, прорвавших карбонатные породы лахтинской подсери.

Боросиликаты

Проявление боросиликатов (ГУ-3-7) на правобережье р.Мал.Коми связано с пироксен-гранатовыми скарнами, включавшими кварц-калиевит-лапиллитовые и актинитовые прожилки и гнезда. Мощность скарнов 0,2-0,3 м., прослеженная протяженность - 350 м. Содержание борового ангидрида - 2,5-4%.

Бораты

Проявление Мезанское (ГУ-2-5) в долине правого притока р.Бол.Комуя представлено двумя залежами магнетитовых скарнов. Их мощность 5-8 и 13,5 м., протяженность 400-600 м. Обе залежи кругло (60-70°) погружаются в северо-западном направлении. Скарны диопсидовые и форстерит-клиногаббитовые насыщены ландышигитом, магнетитом и несут рассеянную мелкую минерализацию (халькопирит, борнит, халькоzin). По химическому анализу бороздовых проб содержание борового ангидрида - 3,9-15,8%, магнетита - 28-63,5%, меди - до 8,48%, цинка - 0,3-1%, свинца и олова - 0,1%, висмута - до 1% /55/.

Проявление Горное (ГУ-3-4) расположено на левобережье р.Мал.Комуя. Залежь боратоносных магнетитовых скарнов, ориентированная в субширотном направлении, имеет протяженность 200 м, мощность от 4 до 40 м. Минерализация представлена ландышигитом, станиноландышигитом, осмийелитом, реже флюорборнититом и данубритом. На скарны наложена полиметаллическая минерализация (халькопирит, борнит, халькоzin, сфалерит, галенит, шеелит, висмутин и золото).

Содержание борового ангидрида не превышает 2-5%. Вместе с тем, спектральным анализом штучных проб выявлены высокие содержания металлов (в %): меди - 0,02-5, до 10, олова - до 0,3-1, висмута - 0,2, герmania - до 0,06-0,3, цинка - до 2-5, серебра - до 50 г/т, золота - до 3 г/т. По пробному анализу содержание золота 0,2-0,6 г/т, серебра - 22 г/т; по химическому анализу

максимальное содержание меди - 1,42%, цинка - 1,3%, олова - 0,44% /55/.

Проявление Береговое (ГУ-3-5), на левобережье р.Мал.Комуя представляет собой протяженную (до 1,4 км) полосу распространения суперпараллельных скарновых залежей. Мощность залежей 8-50 м. Гнезда, прожилки и линзы ландышигита локализованы в магнетит-форстеритовых скарнах в краевых зонах залежей. Содержание борного ангидрида 0,1-0,9%, иногда до 3,6-5,9%. Сопутствующие компоненты - олово - 0,02-0,06%, медь - 0,1-1%, мышьяк - 0,03-0,3%, цинк - 0,01-0,1%.

Описаные проявления боратов принадлежат, видимо, к стабильно-борат-полиметаллически-мелкой формации. Отмеченная комплексность оруднения и, особенно присутствие олова и золота, определяет положительнуюоценку проявлениям в отношении такого вида сырья /59/.

Фосфориты

Теххимическая аномалия фосфора установлена микротехническим анализом на левобережье руч.Неньней (правый приток р.Нета) в алмазроллах Тотгинской санты. Содержание фосфора больше 1%. По спектральному анализу установлены сопутствующие компоненты: лантан, иттрий, иттерий - до 0,01%.

СТРОИТЕЛЬНЫЕ МАТЕРИАЛЫ

Район характеризуется наличием разнообразных строительных материалов: гранитоидов, известняков и доломитов, гравия и гальки, кварцитов.

Известенные породы

В качестве строительматериалов могут быть рекомендованы граниты Менингтунского и Комицкого массивов. Граниты порфиро-видные, неравномернозернистые, разбиты трещинами на отдельные блоки (2-5x5-10 м). Они могут быть использованы как облицовочный и бутовый камень. По технологическим испытаниям граниты отвечают марке бутового камня I400 и марке щебня I200 (ГОСТ 22132-76 и 8267-75).

Карбонатные породы

Полевоцветные камни

Известняки малининской, мильконской, никанской и усть-майской свит могут быть рекомендованы в качестве пементного сырья. Чистые их разности в верхней части разреза никанской и усть-майской свиты, содержащие 50,95–55% окиси кальция, 1,06–3,08% окиси магния и 0,28–2,36% кремнезема, при отсутствии примеси серы могут быть рекомендованы для изготовления вяжущих средств и металлургических флюсов.

Доломиты усть-майской свиты, содержащие окись магния – 17,92%, кремнезем – 15,82%, подторные окислы – 0,67%, пригодны для производства огнеупоров. Химически чистые доломиты светлинской свиты с содержанием окиси магния 21,84%, кремнезема 1,16% и подторных окислов не более 2,5% могут быть рекомендованы для производства металлического магния и термоизоляционных материалов. Технологические испытания доломитов показали, что они также удовлетворяют требованиям ГОСТ 8267–64 и МРГУ-21-33-67 для строительных работ (шебень, бутовый камень).

Обломочные породы

Скопления галечника и гравия, удовлетворяющие требованиям ГОСТ 8268–62 для использования в дорожном строительстве (балласт, щебень), распространены в долинах всех крупных рек. Наиболее удобны для разработки и транспортировки валуны галечники с линзами гравия в долине р.Мая. Мощность их 3–5 м, ширина поля 0,5–1,5 км, протяженность 2–3 км. В составе преобладает галька (6–10 см) карбонатных и интузивных пород.

Кварцит кандинской свиты массивные, мелко- и тонкозернистые, характеризуются высокой механической прочностью. Величина глыб в разнотлах до 1 м³ и более. Они могут быть использованы как облицовочный и бутовый камень. Высокое содержание кремнезема – 90,38%, низкое – окиси алюминия – 1,27%, кислотупорность, по Загеркрамеру /2,9/, позволяет рекомендовать эти породы для производства кислотупоров. Массивные кварциты бильянской свиты могут служить сырьем для изготовления строительных блоков, а цветные (розовые, яшмевые, зеленовато-серые) разности – для изготовления облицовочных плит.

Аметисты и раухтопазы выявлены в пегматитовых жилах, секущих аляскитовые граниты, на левобережье р.Мал.Комля (ГУ-3-3). Мощность жил 0,6–1,7 м. Жилы зональные, друзы аметистов и раухтопазов заполняют полости в кварцевых ядрах пегматитовых тел. Размер кристаллов кварца достигает 30×15 см. Выделяются три генерации, частично совмещенные в одном кристалле: I – молочно-белый непрозрачный кварц (внутренняя зона кристаллов), II – водяно-прозрачный бесцветный кварц (промежуточная зона), III – аметисты, раухтопазы, морионы (внешняя зона). Преобладают бледноокрашенные, матовые и трещиноватые кристаллы.

Совместно с аметистом, в ядрах жил встречаются мелкие друзы горного хрусталя. Чистые водяно-прозрачные кристаллы обычно не более 2×0,5 см.

Агаты встречаены в карбонатно-кремнистых породах края зоны светлинской свиты на водоразделе рек Чадасина и Неликана (Ш-2-1). Они образуют светло- и темно-серые концентрически полосчатые кремнистые стяжения диаметром до 3 см. Подобного типа образования наблюдалось также на правом склоне долины р.Тотты в 7 км выше устья.

Интересным декоративно-поделочным и облицовочным материалом являются пестроокрашенные буситы, орнеститовые и серпентинобрусситовые кальцифиры, слагающие внешнюю 35-метровую зону одной из скальных залежей на проявлении дара Берегово.

ПОДЗЕМНЫЕ ВОДЫ

Среди подземных вод различаются пластово-поровые, прокулирующие в рыхлых четвертичных образованиях, и преимущественно трещинные воды в породах субстрата. Первые относятся к надмерзлотным и приурочены к деятельному слою. Водоупором для них служат многолетнемерзлые грунты или ложе коренных город. Питание осуществляется за счет атмосферных осадков и таяния деятельного слоя. Воды циркулируют в четвертичных песчано-галечных отложениях, обладающих хорошей фильтрационной способностью. Тип источников низкоджид. Дебит источников 0,3–1 л/с. Климатический состав воды из источника на правобережье р.Бол.Комуя определен по формуле Курлова:

Мо,07 НС0393
Са74 №22.

Широко развиты также воды элювиальных и ладожиальных отложений. Источники их, встречающиеся в основании склонов, имеют небольшойdebit (до 0,5 л/с). Химический состав, как и у вод аллювиальных отложений, гидрокарбонатно-кальциевый.

Разгрузка пластово-поровых вод у основания склонов вместе с небольшой глубиной залегания многолетней мерзлоты повсюду способствуют заболачиванию больших плоских участков речных долин.

Для пластово-трещинных вод в породах верхнего протерозоя – нижнего палеозоя водоупором служат аргиллиты. Источники встречаются в бортах долин, прорывающих эти отложения. Дебит их 2–5 л/с. По химическому анализу эти воды гидрокарбонатные магниево-кальциевые или кальциево-магниевые с минерализацией, не превышающей 30 мг/л.

Источники трещинных вод, циркулирующих в метаморфических породах нижнего протерозоя и меловых гранитоидах, образуют обводненные участки в нижних частях склонов и выходы с небольшим (0,5 л/с) дебитом (долины верхнего течения рек Вол. и Мал. Комяя, Нёта, Тоты).

Широко развитые трещинные воды в зонах разломов маркируются наледями в местах их разгрузки. Наледи развиваются в долинах рек Нёта, Мал. Комяя, Чанычкаана, Айли, Иннеканна. Продолжительность наледей 0,5–2 км, ширина 0,2–0,5 км. В долине р. Маямкан наледь протягивается от устья до верховьев. Мощность льда достигает 3 м, некоторые наледи за лето не ставят. Дебит трещинных вод 1–3 л/с. Химический состав воды из источника в долине р. Мал. Комяя определен по формуле Курлова:

$$M_{0,18} \frac{HCO_3-83}{SO_4-14}$$

Сах-МЧО №12

Оценивая подземные воды с точки зрения водоснабжения, можно сказать, что в летнее время воды комплекса четвертичных об разований, включая поверхности водотоки, могут обеспечить водооснабжение промышленных предприятий. Эти воды пресные, холопные, прозрачные, приятные на вкус и пригодные для питья. В зимнее время для водоснабжения могут использоваться поверхностные воды рек Май, Сев. Уя и Чаласна, которые не промерзают до дна. Не исключаются возможности обнаружения артезианских пластово-трещинных и карстовых подземных вод в терригенно-карbonатных отложениях верхнего протерозоя. Наиболее благоприятны для поисков подземных вод зоны крупных разломов.

ОЦЕНКА ПЕРСПЕКТИВ РАЙОНА

Площадь листов 0-53-XIII и XXIV расположена в зоне соединения Верхояно-Колымской и Охотско-Чукотской металлогенических провинций. Район включает фрагменты четырех региональных металлогенических зон: 1) свинцово-цинковой, территориально совпадающей в районе с Нелькано-Кыллахским поднятием; 2) золото-медно-редкометально-полиметаллической, совпадающей с Нётским антиклинарием; 3) редкометально-редкометальный (Биликчанская горстовая зона); 4) золото-серебряной (Охотско-Чукотский вулканогенный пояс). Нётская зона выделяется еще как Комуй-Мурманянская металлогеническая зона /15,46,56/.

Каждая из выделенных зон имеет субмеридиональное простирание. Все они в мезозой-кайнозое испытывали интенсивную тектономагматическую активизацию, в результате которой сформировалось подавляющее большинство рудноносных объектов (рис.4).

Рудноносные объекты концентрируются в пределах трех рудных зон: Курун-Уржусского на северо-востоке, Комуско-Джалдинского на юге и Усть-Тотинского в центральной части района. Рудные узлы располагаются в зонах пересечения ортогональных глубинных разломов сквозного типа и занимают около 50% площади района.

Это полиметаллические сложнопостроенные образования, осложненные блоковой системой разнонаправленных полыней, которые обусловили последующий эрозионный срез, проходивший на разных уровнях.

Анализ вещественного состава и пространственное положение магматогенных структур (литорузыны и вулкано-плутонические купола, лайковые поля и просадки кровли магматогенных очагов) свидетельствует о том, что они автоморфны по отношению к структурно-формационным зонам и по существу являются наложенными образованиями.

Связь орудования с магматизмом проявляется в парагенезе эндогенных проявлений полезных ископаемых и некоторых тел магматических пород, а также в зависимости состава рудного вещества от петрохимических особенностей магматических ассоциаций. С формацией малых гипабиссальных интузий ранне-позднемеловых гранитоидов повышенной щелочности и основности (натровые гранодиориты и диориты) связано золото-серебряное, медное и полиметаллическое оруденение; позднемеловые лейкократовые судовелочные гранитоиды (калцитатровые граниты) несут молибденит, вольфрамит, среднетемпературную золотую (золото-редкометальная субформация) и, возможно, оловянную минерализацию. Комагматиче-

O-53-XXIV

O-53-XVIII

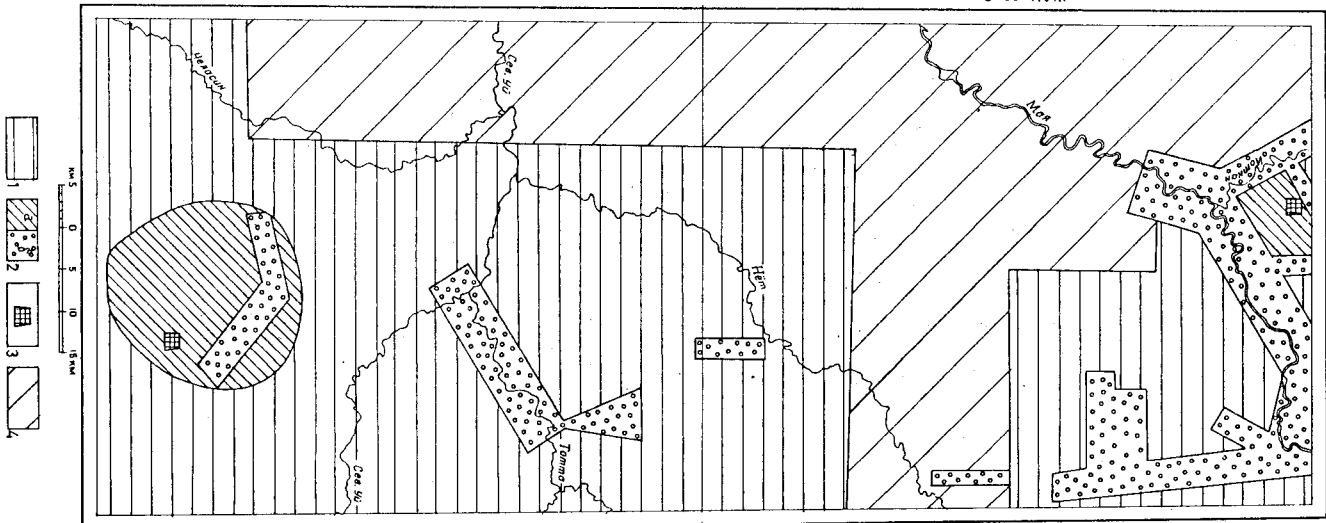


Рис. 4. Схема прогнозов и рекомендаций

1 - перспективная площадь, рекомендуемая для геологической съемки масштаба 1:50 000 с общими поисками;

2 - высокоперспективные площади, рекомендуемые для: а - поисковых работ, предварительных аэромагнитно- и аэро-радиоспектрометрических работ; б - для поиска россыпного золота; в - для поиска россыпного никеля; г - для поиска полиметаллических руд; д - для поиска полиметаллических руд с нейными перспективами

явлен в локализации метаморфизованных железисто-кремнистых терригенных пород в бильчанской свите, бурых железняков и гетит-гидрогипситовых железистых пород – в лахандинской подсвите. Место отчетливо проявляется связь полиметаллического оруденения с карбонатными формациями усть-юломской свиты и медной минерализацией с терригенными отложениями усть-жиринской свиты. В обоих случаях предполагается осадочный метагенетический тип оруденения. Очевидно, не случайна также приуроченность большинства гидротермальных проявлений золота к терригенным толщам тоггинской и пестростратиграфической свит. Разрезы этих свит весьма склонны к собиранию на борту литологических, петрографических и геохимических признаков. Для алевролитов и песчаников обеих свит характерно повышенное содержание серебра, никеля, меди, цинка и хрома.

Ведущим полезным ископаемым для описываемого района является золото, далее по значимости идут медь, молибден, полиметаллические руды, бораты, редкие земли. Наиболее высокие для района концентрации указанных полезных ископаемых характерны для Ко-муско-Джалдинского узла, который в целом отличается пестротой рудно-формационного состава (золото, серебро, медь, полиметаллы,

гранитоидам гипабиссальных интрузий субулканические образования (андезит-ливаритовая формация) имеют аналогичные металлогенические характеристики. Эндо-, экзоконтактовые зоны крупных интрузивных массивов (диорит-гранодиорит-гранитовая формация) контролируют размещение скарновых проявлений золота, вольфрама, меди, полиметаллических руд.

С силами позднерифейских габбро-диабазов часто связаны геохимические аномалии меди, золота, серебра, свинца, цинка. В ряде случаев силы экранируют мезозойское гидротермальное оруденение.

Редкоземельная минерализация, вообще характерная для различных магматических образований района, наиболее тесно ассоциирует с граносиенитами и шелочными гранитами раннепротермальной гранито-гнейсовой формации.

В строении дайковых полей, приуроченных к разломным узлам, участвуют разновозрастные жильные породы пестрого состава. На ради золотосодержащих полей (Курун-Уржуком, Нанынском и др.) полдайковыми роями предполагаются несекретные гипабиссальные интрузии мелового возраста. В позднемеловых пегматитовых жилах Колуйского массива установлены выделения горного хрусталя, аметистов и раухтопазов.

Литолого-стратиграфический контроль наиболее отчетливо проявлен в локализации метаморфизованных железисто-кремнистых терригенных пород в бильчанской свите, бурых железняков и гетит-гидрогипситовых железистых пород – в лахандинской подсвите. Место отчетливо проявляется связь полиметаллического оруденения с карбонатными формациями усть-юломской свиты и медной минерализацией с терригенными отложениями усть-жиринской свиты. В обоих случаях предполагается осадочный метагенетический тип оруденения. Очевидно, не случайна также приуроченность большинства гидротермальных проявлений золота к терригенным толщам тоггинской и пестростратиграфической свит. Разрезы этих свит весьма склонны собирать на борту литологических, петрографических и геохимических признаков. Для алевролитов и песчаников обеих свит характерно повышенное содержание серебра, никеля, меди, цинка и хрома.

Ведущим полезным ископаемым для описываемого района является золото, далее по значимости идут медь, молибден, полиметаллические руды, бораты, редкие земли. Наиболее высокие для района концентрации указанных полезных ископаемых характерны для Ко-муско-Джалдинского узла, который в целом отличается пестротой рудно-формационного состава (золото, серебро, медь, полиметаллы,

молибден, вольфрам, бор, олово). Эта пестрота, как упоминалось, объясняется значительной блоковой расчлененностью, дифференцирующей блоковых подвижек и, как следствие, различной губиной зрационального среза рудных полей.

Для наиболее глубоко залегированных участков характерна редкоzemельная и молибденовая минерализация (здесь же отмечаются хрустальноносные пегматиты); на среднем уровне вскрыты скарновые проявления бора, меди, полиметаллических руд и мезотермальные хрустальноносные пегматиты; на уровне вскрытия скарновые поверхности обнажено золото-серебряное оруденение и никотемпературные минеральные ассоциации золото-кварцевой формации. Подобная металлогеническая зональность, обусловленная геоморфологическими факторами, характерна как для рудных узлов и отдельных рудноносных полей, так и для территории в целом. В региональном плане наблюдается постепенное снижение уровня зрационального среза с юга на север и с востока на запад. Этим обстоятельством объясняется монотонность рудных ассоциаций Курун-Уржского узла по отношению к Комиуско-Джалгинскому. Усть-Тотинский узел, по-видимому, занимает промежуточное положение.

Закономерности размещения россыпей золота в общих чертах сводятся к следующему:

1. Район является фрагментом трансграничной золотоносной полосы меридионального простирания, которая проходит с севера на юг от верховьев р. Алек-Янь до побережья Охотского моря (Лантарский узел россыпей золота).
2. Золотоносные долины обычно заложены по зонам рудоконтролирующих глубинных нарушений и характеризуются повышенными морфоструктурами (до 30–70 м) выполняющих их аллювиальных отложений.
3. Обнаружение золота во внутриматричных коллекторах пестропетральной свиты в районе р. Курун-Уржа позволяет предполагать возможность многократного переноса золота и постепенного повышения концентрации золота в аллювиальных отложениях.
4. Минералогические особенности россыпного золота свидетельствуют о разнообразии коренных источников, среди которых основными являются проявления золото-кварцевой формации (золото-гематитовый, золото-шелиловый, золото-лиритовый минеральные типы).

Прогнозная оценка ресурсов полезных ископаемых, в связи с неравномерной и в целом слабой опиcкованностью района, может производиться лишь аналоговым методом и методом экспертных оценок. Для Комиуско-Джалгинского рудного узла экспертную оценку прогнозных ресурсов меди провели сотрудниками ДВИМСа /55/. По их

данным, на этой площади можно ожидать обнаружение месторождений меди с общими запасами в 1 млн.т. прогнозные ресурсы полуточно извлекаемых свинца и цинка – 900 тыс.т., серебра – 1000 т. Прогноз основан на возможности обнаружения довольно крупного месторождения меднопорфировых месторождений (хотя большая часть известных проявлений относится к полиметаллически-медицкой скарновой рудной формации), следует заметить, что крупные меденосные объекты обычно создают обширные и яркие геохимические аномалии. Результаты же геохимических исследований последних лет показали, что такие аномалии отсутствуют, поэтому возможность обнаружения обнаружения лишь мелких и средних месторождений меди с общими ресурсами порядка 500 тыс.т (соответственно в 2 раза сокращаются месторождений меди прежде всего связаны с Мало-Комиусским рудноносным полем, включая однотипное непромышленное месторождение и многочисленные проявления и пункты медной минерализации. Как ресурсы сопутствующих компонентов). Перспективы обнаружения Мало-Комиуского рудного поля рекомендуется для постановки поисковых работ, предваряя золото- и аэрогаммаспектрометрической съемкой масштаба 1:10 000, а само месторождение – для поисково-оценочных работ. Весь же Комиуско-Джалгинский узел рекомендуется для геологической съемки масштаба 1:50 000 с общими полосами. Он включает семь листов этого масштаба.

Для Курун-Уржского рудного узла ведущим полезным ископаемым является золото, которому сопутствуют вольфрам, молибден. Прогнозные ресурсы золота как для Курун-Уржского узла, так и для района в целом оцениваются достаточно высоко. Расчет прогнозных ресурсов россыпного золота основан на предположении о том, что известные золотоносные полы имеют мелкие и средние россыпи. Прогнозные ресурсы Курун-Уржского поля соответствуют среднему месторождению. Сумма прогнозных ресурсов россыпного золота по району в целом хорошо согласуется с данными по эксплуатации месторождений, расположенных в склоновых геолого-геоморфологических условиях (например, Сутамский золотоносный район). Также высокая оценка ресурсов коренного золота, рассчитанная экспертым методом, предполагает обнаружение на известных золотоносных Мало-Комиусском, Курун-Уржском, Верхне-Ичиканском и Джалгинском полах средних месторождений. Это предположение обосновано наличием промышленных концентраций металла в современных рыхлых отложениях и принадлежностью известных коренных проявлениям (часто характеризующимися высокими содержаниями золота) к

промышленным типам золоторудных месторождений. На оставших зон лотоносных полей вероятно обнаружение малых месторождений.

Прирост запасов коренного золота на самом Курун-Уряжском поле предполагается за счет разведки на глубину золото-кварцевого штока Малыка, а также возможного выявления новых проявлений коренного золота. Высокоперспективное Курун-Уряжское поле рекомендуется для превращения на нем поисково-оценочных работ, предваряемых пятиканальной аэросъемкой масштаба 1:10 000, а штольверк Малыка - для поисково-оценочных работ с глубоким бурением.

Менее ясны перспективы обнаружения стратиграфических месторождений меди, свинца и цинка /7.42/. Для решения вопроса о принадлежности мелких проявлений типа Боронг и Малык к осадочной рудной формации, а также для более обоснованной прогнозной оценки других полезных ископаемых, вся площадь Курун-Уряжского рудного узла рекомендуется для постановки геологостратиграфических работ масштаба 1:50 000 с общими поисками. Эта площадь включает пять листов указанного масштаба.

Усть-Тоттинский рудный узел по сравнению с Курун-Уряжским и Коми-Джагдинским изучен много слабее. Однако и для этого узла вердичным полезным ископаемым является золото. Коренные проявления принадлежат мезо- и эпимермальной золото-серебряной формации. Золоту сопутствуют вольфрам, молибден, висмут. Эта рудноносная тектоно-магматическая структура рекомендуется для постановки в пределах ее геологосъемочных работ масштаба 1:50 000 с общими поисками. Она включает девять листов указанного масштаба.

Для прироста запасов россыпного золота рекомендуется поисковые работы в пределах высокоперспективных участков речных долин Май, Иоткана, Ариквакана, Иникана, в нижнем течении р. Тоты и Мал. Комуя.

Перспективы бокситоносности района в целом оцениваются относительно в связи с практическим отсутствием бокситоносных отложений.

Осадочные проявления железа в Непткано-Кыллахской и Нёт- ской зонах из-за небольших размеров не могут считаться перспективными. Такие бесперспективными оцениваются проявления кварцито-гематитовых руд в Былыханской зоне. Что касается редких земель, то непосредственно к ним, на площади листа 0-53-ХХХ, в зоне Былыханского разлома известны их крупные гидропроявления, и прогнозная оценка известных в районе проявленный должна быть включена в задачу общих поисков при геологической съемке мас-

штаба 1:50 000. Аналогичной оценки заслуживают выявленные в последние годы проявления камнеизвестного сырья.

В отношении строительных материалов вся территория развития инструзионных образований, а также кварцитов представляется перспективной для поисков бутового, облицовочного и других типов строительного камня, а долины таких рек, как Мая, Сев. Уй, Чалсан, Нёт, Тотт, перспективны на поиски галечника и гравия для балластной полотна железных дорог и наполнителя бетона.

ЛИТЕРАТУРА

ОПУБЛИКОВАННАЯ

1. Алексеев В.Р., Павлов Е.Е. Новые данные по стратиграфии верхних горизонтов позднедокембрийских и нижнепалеозойских отложений юго-восточной окраины Сибирской платформы. - Бюл. МОН, отдел. геол., 1961, т.36, вып.5.
2. Алексеев В.Р. и др. Государственная геологическая карта СССР масштаба 1:200 000, лист 0-53-ХУП. Объяснительная записка. 1969.
3. Алексеев В.Р., Каминский Ф.В. Проявления позднерифейского трапового магматизма на востоке Алданского щита. - Сев. геология, 1971, № 8.
4. Алексеев В.Р. и др. Государственная геологическая карта СССР масштаба 1:200 000, лист 0-53-ХП. Объяснительная записка. М., 1978.
5. Башарин А.К. Восточно-Верхоянская эликтротонная геосинклиналь. Наука, 1967.
6. Беэр А.А. Южно-Майский прогиб и его восточное обрамление в верхнем протерозое и нижнем палеозое. - Изв.АН СССР, сер.геол., 1965, № 4.
7. Туров Г.А., Кропачев А.П. О медистых селенах в рифеях Сетте-Ладан. Геология и геофизика, 1978, № 5.
8. Дзевановский Ю.К. Геология восточной окраины Алданской плиты. (Мат-лы по геол. и полезн.иск. Вост.Сибири), Алдан, 1946, вып.19.
9. Дзевановский Ю.К. Существует ли протерозой на востоке Алданской плиты. - Изв.АН СССР, сер.геол., 1943, № 3.
10. Зарев В.Н. Геологические исследования в долине р. Май и низовьях р. Алдана. - Изв.Геолкома, 1914, т.33, № 9.
11. Калимулин С.М. Государственная геологическая карта СССР масштаба 1:200 000, лист 0-53-ХХШ. Объяснительная записка. М., 1976.

12. К о г е н В.С., Р у н о в Б.Е., С т а з д е в А.Л. Новые данные по геологии ирудносности байкальской зоны разломов (Южное Верхоянье). - Изв.АН СССР, сер.геол., 1976, № 8.
13. К о н о т а н и о в с к и й А.А., Г р о м о в В.В. Государственная геологическая карта СССР масштаба I:200 000, лист 0-54-ХШ. Объяснительная записка. М., 1968.
14. К о н с т а н т и н о в с к и й А.А., Г р о м о в В.В. Государственная геологическая карта СССР масштаба I:200 000, лист 0-54-ХК. Объяснительная записка. М., 1978.
15. К р а с н и й Л.И., Р а с с к а з о в Ю.П., Н и - к и т и н Ю.И. Металлогенез зоны сочленения Сибирской платформы и Охотского вулканического пояса. - Геология рудных месторождений, 1979, № 1.
16. Л е в а ш о в К.К. Палеорифтовая структура восточного обрамления Сибирской платформы. - Сов.геология, 1977, № 10.
17. Л е о н т о в и ч А.А. Тектонические исследования в Аянно-Майском районе (бассейн среднего течения р.Ман и пересечение хр.Джуликур). - В кн.: Мат-лы по геол. и полезн.иск. Дальневосточного края. Хабаровск, 1937, вып.68.
18. М е т е л е в а Л.С. Карта аномального магнитного поля масштаба 1:200 000, листы 0-53-ХХII, ХХIII, ХХIV, ХХVII, ХХVIII, ХХV. Объяснительная записка. Магадан, 1967.
19. Н и к и т и н Ю.И. Колываные плутономагматические структуры Южно-Майского района. - В кн.: Колываные и купольные структуры Дальнего Востока. Владивосток, 1977.
20. С а ж и н а Н.Б. Гравиметрическая карта СССР масштаба 1:1 000 000, лист 0-53. Объяснительная записка. М., 1973.
21. С т а з д е в А.Л. Государственная геологическая карта СССР масштаба 1:200 000, лист 0-53-ХК. Объяснительная записка. М., 1966.
22. С т а з д е в А.Л. О тектонике и металлогении краевых щечунично-надвиговых зон в обрамлении древних платформ. - Тектология рудных месторождений, 1976, № 1.
23. С т а з д е в А.Л. Тектоника и полезные ископаемые зон сочленения древних платформ и подвижных поясов. Недра, 1983.
24. С е м и х а т о в М.А., К о м а р Вл.А., С е р е б - р я к о в С.Н. Юдомский комплекс стратотипической местности. Наука, 1970.
25. С е м и х а т о в М.А., С е р е б р я к о в С.Н. Сибирский гипостратитный район. Недра, 1983.
26. Ш п а к Н.С., Г о л ь д е н б े р г В.И., Н у к - н о в С.В. Государственная геологическая карта СССР масштаба

I:1 000 000, лист 0-53. Объяснительная записка. 1962.
27. Я р м о л и к В.А. Протерозой восточной части Альдан-ской платы. - В кн.: Мат-лы по геол. и полезн.иск. Дальневостока. Хабаровск, 1946.

Ф о н д о в а я х/

28. А г е н т о в В.Б., В е р ж к о в с к а я В.А. и др. Обобщение материалов по тектонике,магматизму и полезным ископаемым Сибирской платформы, 1973, № 0332148.
29. А л е к с е е в В.Р., Б а р а н о в а М.С., П а в - л о в а Е.Е. Вопросы стратиграфии ранненинийских,ниже- и среднепалеозойских отложений бассейна среднего течения р.Ман, 1961, № 230790.
30. А р х а н г е л ь с к а я В.В., К а л и м у л и н С.М., С т а з д е в А.Л. Геологическое строение между реками Адана, Ман и Учара. Отчет по геологической съемке масштаба I:1 000 000. 1957, фонд ПГО "Аэрогеология".
31. В е р ж к о в с к а я В.А., И л ь и н а Т.А., К о б ц е в а Н.Л. и др. Обобщение материалов по тектонике, металлогенезу юго-восточной окраины Сибирской платформы и сопредельных областей (металлогеническая карта юго-востока Сибирской платформы и сопредельных областей масштаба I:500 000). 1970, № 030573Г.
32. В е р ж к о в с к а я В.А., К о б ц е в а Н.Л., К р и ч и з е в В.И. и др. Геологическая карта СССР масштаба I:1 000 000 (новая серия). Лист 0-(53), 54. Объяснительная записка. 1982, фонд ПГО "Аэрогеология".
33. Г о р е ц к и й Ю.К., О р л о в а В.Л. Оценка первичности верхнепротерозойских отложений р.Ман в отношении осадочных полезных ископаемых. 1953, № 00170566.
34. Г у к а с я н Г.О., Л у б л я н с к и й Я.Н., И с т о - м и н В.С. Отчет о результатах аэроразведочных работ, проведенных в клю-восточной части Алданского штата партией № 31 в 1957 г. (Октябрьская экспедиция). 1958, фонд ПГО "Дальгеология", № 07343.
35. Е г о р о в И.И., С о л о в ь е в А.Б. и др. Отчет по геологической съемке масштаба I:50 000 листов 0-53-95-Г, 0-53-96-В, Г за 1969-1974 гг. 1972, № 321712.

х/ Работы, место хранения которых не указано, находятся в "Совзагеофонде".

36. Ельянов А.А., Баранова М.С. и др. Геологическое строение и полезные ископаемые района нижнего течения р. Челасин (юго-западная часть листа 0-53-ХШ). 1962, № 239355.
37. Живцов Д.А. и др. Окончательный отчет о результатах поисковых работ по выявление бокситов на территории Учуро-Майского района (лист 0-53). 1970, № 297102.
38. Живцов Д.А., Миклашевский И.П. и др. Отчет о результатах поисковых работ на юго-восточной окраине Сибирской платформы и в сопредельных областях (части листов 0-53, 54, Р-53, 54) за 1970-1971 гг. 1972, № 325525.
39. Живцов Д.А. и др. Отчет о результатах поисковых работ на юго-восточной окраине Сибирской платформы и в сопредельных областях (части листов 0-53-Б, Т; 0-54-А) в 1974-1976 гг. 1977, № 360768.
40. Живцов Д.А. и др. Отчет о поисках золото-вольфрамовых и полиметаллических руд в Южном Верхоянье (части листов 0-53-Б, Г; 0-54-А; Р-54-В) за 1977-1980 гг. 1980, № 385339.
41. Зайдев Н.И. Геология Янко-Майского междуречья. 1939, без номера.
42. Иогансон А.К., Кутырев З.И. Геологическое обоснование перспектив Сете-Дасанского региона на стратиграфии месторождения свинца, цинка, меди. 1979, № 372946.
43. Калимурин С.М., Филиппов А.С. и др. Геологическое строение и полезные ископаемые бассейна верхнего течения р. Мая (отчет о геологической съемке масштаба 1:200 000 на листе 0-53-ХШ). 1959, № 0213857.
44. Калимурин С.М., Баранова М.С. и др. Геологическое строение и полезные ископаемые между речами Тоты, Сев. Уя и Малого Кумя (отчет о геологической съемке масштаба 1:20 000 в восточной половине листа 0-53-ХШ). 1960, № 0222218.
45. Колпаков А.А., Перепанов И.С. Отчет о работе Северо-Уссурийской геологосъемочной партии СНУ за 1953 г. 1959, № 215365.
46. Крот В.Е., Денисов С.В. Объяснительная записка к карте золотоносности Аяно-Майского района Хабаровского края масштаба 1:500 000. 1970, № 307603.
47. Кузьмин С.В., Степанов О.А., Успенский В.В. Отчет о поисковых работах на бор, проведенных в 1963 г. в Аяно-Майском районе в центральной части хр. Шкудур. 1964, № 256320.

48. Лосев А.Г., Лобанова А.Ф., Лосева С.Е. Геологическое строение и полезные ископаемые Междуречья Итиканы и Сев. Уя (юго-восточная часть листа 0-56-ХШ). 1962, фонд ПГО "Аэрогеология".
49. Майеранов В.С. Отчет о результатах гравиметрической съемки масштаба 1:1 000 000, проведенной в бассейне р. Мая (Алданской) - Уда Прихотской партией в 1965-1966 гг. 1967, № 275474.
51. Мяло А.А. Отчет о результатах поисковых работ на российское золото в центральной части Курин-Уряжского золотоносного узла за 1976-1978 гг. 1978, № 371227.
52. Мяло А.А. Отчет о результатах поисковых работ на золото в бассейне верхнего течения р. Мая (реки Ингачан, Лев. Немуркан) за 1978-1981 гг. Нелькан, 1981, фонд Аяно-Майской ГРЭ.
53. Натаров В.П., Диомидов В.А. Геология и золотоносность левобережья среднего течения р. Мая Аяно-Майского района Хабаровского края (отчет о работе Нельканской экспедиции треста "Золоторазведка" за 1942-1945 гг.). 1951, № 0211915.
54. Натаров В.Н. Препарандийский отчет о разведочных работах Верхнемамаканского участка на золотом месторождении Малютка. 1956, фонд ПГО "Якутскгеология".
55. Никитин Ю.И. и др. Метаморфия Челасинского рудного узла. 1980, № 380172.
56. Плотников И.А., Марленко Э.О. и др. Объяснительная записка к метаморфической карте (олово, золото) масштаба 1:500 000 Хабаровского края и Амурской области. 1979, № 377235.
57. Потапов С.В., Лобанова А.Ф., Чепрнов С.А. и др. Отчет о геологической съемке масштаба 1:200 000 и редакционно-увязочных работах на площади листов 0-53-ХШ, ХШ. 1934, фонд ПГО "Аэрогеология".
58. Потапов Ф.А. Предварительный отчет о поисковых работах рудногипсовой партии в вершине клада Малютка. 1946, фонд ПГО "Якутскгеология".
59. Раказов Ю.П. и др. Эндогенная металлогенез активизированной юго-восточной части Сибирской платформы и оценка ее золотой, оловянной, молибденовой, вольфрамовой, синильце-

цикновой и др. рудоносности (на примере Охотско-Майского района). 1975, № 345503.

60. Р а с с к а з о в И.П. Убийственная записка к металлогенической карте Южно-Сахалинского рудного узла и сопредельных территорий. 1978, № 366668.

61. Р у н о в Б.Е., К о г е н В.С. и др. Отчет по теме: Изучение закономерностей размещения золото-рекометального оруденения в зоне Быньянского глубинного разлома, листы 0-53 (вост. часть) и 0-54 (зап. часть). 1976, № 353928.

62. С л е з к о В.А. Отчет о геологоразведочных работах 1968-1972 гг. на месторождении Курун-Урж с подсчетом запасов по состоянию на 1 июля 1972 г. 1972, № 325151.

63. С т а з п е в А.Л. Объяснительная записка к тектонической карте юго-востока Сидирской платформы и сопредельных областей масштаба 1:500 000. 1968, фонд ПГО "Аэрогеология".

64. Х е р у з и м о в Е.Г., Л а р и о н о в В.А., М о р а л е в В.М. Отчет по аэромагнитным работам, проведенным в 1956 г. в восточной части Амданскоого шита. 1957, № 196638.

65. Х е р у з и м о в Е.Г., Л а р и о н о в В.А. Отчет по аэромагнитным работам, проведенным в 1957 г. в Аяно-Майском районе. 1958, № 204129.

66. Ш а п о ч к а И.И. Природа аномалий силы тяжести и магнитного поля Хабаровского края и Амурской области (отчет группы обобщения материалов региональных геодинамических исследований за 1964-1967 гг.). 1968, № 0293133.

67. Ш и п к а н о в А.Ф. Отчет Манько-Охотского рудного района. 1952, фонд ПГО "Дальгеология", № 03787.

68. Ш м и р и н В.А. Отчет о работе Кутуйского (Комиуского) поискового отряда. 1949, фонды ПГО "Дальногеология".

69. Я р м о л я к В.А. К геологии протерозоя и кембрия бассейна р.Мая. 1942, фонд ПГО "Дальгеология", № 0471.

СПИСОК ПРОМЫШЛЕННЫХ МЕСТОРОЖДЕНИЙ ПОЛЕЗНЫХ ИСКОПАЕМЫХ,
ПОКАЗАННЫХ НА ЛИСТЕ 0-53-ХУШ
ГЕОЛОГИЧЕСКОЙ КАРТЫ МАСШТАБА 1:200 000

| Индекс клетки на карте | № на карте | Название полезного ископаемого и наименование месторождения | Ссылка на литературу (номер по списку) |
|---------------------------------|------------------|--|---|
| 1-2 | 2 | МЕТАЛИЧЕСКИЕ ИСКОПАЕМЫЕ Золото Российское месторождение Курун-Урж | 43, 52, 53, 54, 58, 59, 62 |

Приложение 2

СПИСОК НЕФРОМЫШЛЕННЫХ МЕДИОРОДЧЕНИЙ ПОЛЕЗНЫХ ИСКОПАЕМЫХ,
ПОКАЗАННЫХ НА ЛИСТАХ 0-53-ХУШ, 0-53-ХХИУ
ГЕОЛОГИЧЕСКОЙ КАРТЫ МАСШТАБА 1:200 000

| Индекс клетки на карте | № на карте | Вид полезного ис- копаемого и наиме- нование месторожде- ния | Ссылка на литературу (номер по списку) | Примечание | Индекс клетки на карте | № на карте | Вид полезного иско- паемого и название (местонахождение) (местонахождение) проявления | Ссылка на литературу (номер по списку) | Примечание |
|---------------------------------|------------------|---|---|-------------------------|---------------------------------|------------------|---|---|-------------------------------|
| I-2 | 4 | Лист 0-53-ХШ | Золото | | I | 2 | Лист 0-53-ХШ | МЕТАЛЛИЧЕСКИЕ ИСКОПАЕМЫЕ | |
| I-4 | 4 | Российское месторож- дение Матская | 52 | | III-1 | 1 | Металлические ИСКОПАЕМЫЕ | Железо | |
| II-4 | 3 | Российское месторож- дение руч. Амунда Российское месторож- дение руч. Верх. Ини- хан | 52 | | I | 1 | Правобережье р. Май, выше устья р. Мондо- ни | 37 | В коренном залегании |
| IV-3 | II | Лист 0-53-ХХИУ | Медь | | I | 1 | Междуречье Айли – Левый Айли | 38 | То же |
| | | Майдокумское | 34, 35, 44, 47, 55, 59 | В коренном залегании | II | 2 | Водораздел рек Нёта – Лев. Айли | 38 | " |
| | | | | | III-4 | 4 | Левобережье р. Нё- та против устья р. Ай- ли | 38 | " |
| | | | | | IV-2 | 1 | Правобережье р. Нё- та выше р. Неньи | 38 | " |
| | | | | | | | Мель | | |
| | | | | | II-4 | 1 | р. Боронг (верховья р. Сыл. Иниканча) | 40 | В элювиаль- ных развалинах |
| | | | | | III-4 | 1 | р. Маякана (правобе- режье р. Маякана) | 40 | То же |
| | | | | | II-3 | 4 | Молибден Верховья р. Верх. Иниканча | 59 | В элювиаль- ных развалинах |

Приложение 3

СПИСОК ПРОЯВЛЕНИЙ ПОЛЕЗНЫХ ИСКОПАЕМЫХ,
ПОКАЗАННЫХ НА ЛИСТАХ 0-53-ХУШ, 0-53-ХХИУ
ГЕОЛОГИЧЕСКОЙ КАРТЫ МАСШТАБА 1:200 000

| Индекс клетки на карте | № на карте | Вид полезного ис- копаемого и наиме- нование месторожде- ния | Ссылка на литературу (номер по списку) | Примечание | Индекс клетки на карте | № на карте | Вид полезного иско- паемого и название (местонахождение) (местонахождение) проявления | Ссылка на литературу (номер по списку) | Примечание |
|---------------------------------|------------------|---|---|-------------------------------|---------------------------------|------------------|---|---|------------|
| II-4 | 1 | р. Боронг (верховья р. Сыл. Иниканча) | 40 | В элювиаль- ных развалинах | III-4 | 1 | р. Маякана (правобе- режье р. Маякана) | 40 | То же |
| II-3 | 4 | Молибден Верховья р. Верх. Иниканча | 59 | В элювиаль- ных развалинах | | | | | |

| I | 2 | 3 | 4 | 5 |
|-------------------------|----|---|-----------------------|-----------------------------------|
| I-2 | 3 | Золото Малотка | 43, 53, 54, 58, 68 | В коренном залегании |
| II-3 | 2 | Верхнеиндиганское | 59 | В элювиаль- ных развалинах |
| Лист 0-53-ХХIV | | | | |
| МЕТАЛИЧЕСКИЕ ИСКОПАЕМЫЕ | | | | |
| Железо | | | | |
| II-4 | 1 | Водораздел рек Сев. Уя - Тогты | 44 | Горка (левобережье р.Биликана) |
| II-4 | 2 | Там же | 44 | Золото |
| III-I | 1 | Левобережье р.Чала- сина | 36 | В коренном залегании |
| III-I | 2 | Там же | " | To же |
| IV-3 | 14 | Правобережье верх- ней р.Мал.Комыя | 36 | В элювиаль- ных развалинах |
| Медь | | | | |
| IV-2 | 2 | Магнитное (междуречье Бол. и Мал.Комыя) Бородинское (там же) | 35 | В коренном залегании |
| IV-3 | 6 | Снежок (левобережье р.Мал.Комыя) | 55 | To же |
| IV-3 | 9 | Молибден | 55, 59 | " |
| Нижнекурильское | | | | |
| IV-I | 7 | В коренном залегании | 36, 55 | В коренном залегании |
| IV-I | 10 | Шамринское (левобе- режье р.Джалы) | 36, 55, 68 | To же |

| I | 2 | 3 | 4 | 5 |
|---------------------------|----|---|------------|-------------------------------|
| IV-2 | 8 | Осиновое (там же) | 36, 36, 55 | В коренном залегании |
| IV-4 | 3 | Болидрам | 40, 44, 59 | В коренном залегании |
| Редкие земли | | | | |
| III-3 | 3 | Саверное (левобе- режье р.Нёта) | 34, 35, 47 | To же |
| III-3 | 4 | Горка (левобережье р.Биликана) | 55, 59 | В коренном залегании |
| III-3 | 10 | Золото | 55, 59 | To же |
| IV-1 | 5 | Правобережье сред- него течения р.Мал. Комыя (Одужовская группа) | 55, 59 | В элювиаль- ных развалинах |
| IV-1 | 8 | Там же | 55, 59 | " |
| НЕМЕТАЛИЧЕСКИЕ ИСКОПАЕМЫЕ | | | | |
| Боросиликаты | | | | |
| IV-3 | 7 | Надежда (правобережье р.Мал.Комыя) | 35 | В коренном залегании |

**СПИСОК ПУНКТОВ МИНЕРАЛОДИИ,
ПОКАЗАННЫХ НА ЛИСТАХ 0-53-ХШ, 0-53-ХГУ
ГЕОЛОГИЧЕСКОЙ КАРТЫ МАСШТАБА 1:200 000**

| Индекс кодами на карте | № на карте | Вид полевого иско- даемого и местона- хождение пункта ми- нерализации | Ссылка на литературу (номер по списку) | Примечание |
|---------------------------------|------------------|--|---|-----------------------------|
| I | 2 | 3 | 4 | 5 |
| Лист 0-53-ХУШ | | | | |
| МЕТАЛЛИЧЕСКИЕ ИСКОДАЕМЫЕ | | | | |
| | | Медь | | |
| I-4 | 3 | Левобережье р.Мая ниже р.Иникана | 40 | В развалих |
| | | Цинк | | |
| I-4 | 1 | Правобережье р.Мая выше р.Иникана | 39 | В коренном залегании |
| П-1 | 1 | Верховья р.Ламы | 39 | В элювий- ных развалих |
| Лист 0-53-ХУЧУ | | | | |
| МЕТАЛЛИЧЕСКИЕ ИСКОДАЕМЫЕ | | | | |
| | | Марганец | | |
| IУ-3 | 10 | Верховья р.Мал.Ко- мью | 55 | В элювиаль- ных развалих |
| | | Медь | | |
| П-3 | 3 | Приступьевая часть р.Тотты | 57 | В коренном залегании |

| I | 2 | 3 | 4 | 5 |
|------------------|---|--------------------------------------|----------|----------------------|
| IV-2 | | Бораты | | |
| IV-3 | 5 | Маванское (правобережье р.Бол.Комуя) | 35,36 | В коренном залегании |
| IV-3 | 4 | Горное (левобережье р.Мал.Комуя) | 35,47,55 | То же |
| IV-3 | 5 | Береговое (там же) | 35,47,55 | " |
| Поделочные камни | | | | |
| III-2 | I | Водораздел Челасина - Нельхана | 55 | В коренном залегании |
| IV-3 | 3 | Маринка (левобережье р.Мал.Комуя) | 55 | То же |

| I | 2 | 3 | 4 | 5 |
|------|----|---|----|---------------------------------------|
| IV-1 | 1 | Водораздел р.Челаси-на - Бол.Комуя | 36 | В элювиально-дельвикальных разваликах |
| IV-1 | 3 | Правобережье р.Куры | 55 | То же |
| IV-2 | 4 | Левобережье р.Бол.Комуя | 36 | " |
| IV-3 | 12 | Водораздел рек Бол. и Мал.Комуя | 35 | " |
| IV-4 | 2 | Верховья правой со-ставляющей р.Мал.Комуя | 61 | " |
| | | Синней | | |
| IV-1 | 4 | Правобережье р.Куры | 36 | В элювиально-делвикальных разваликах |
| IV-1 | 9 | Междуречье Куры и Бол.Комуя | 36 | То же |
| IV-2 | 6 | Правый приток р.Бол. Комуя | 36 | " |
| | | Цинк | | |
| I-3 | 2 | Верховья левого при-тока р.Нёта | 40 | В коренном залегании |
| IV-1 | 2 | Междуречье Куры и Бол.Комуя | 36 | В элювии |
| IV-3 | 8 | Междуречье Бол. и Мал.Комуя | 35 | То же |
| | | Молибден | | |
| IV-3 | 1 | Левобережье среднего течения р.Мал.Комуя | 44 | В элювиальных разваликах |
| IV-3 | 2 | Там же | 55 | То же |

| I | 1 | 2 | 3 | 4 | 5 |
|------|----|--|--------------|-------------------|----------------------|
| IV-4 | 4 | Левобережье р.Билик-чана | Редкие земли | 35 | В коренном залегании |
| | | | Золото | | |
| I-2 | 3 | Правобережье р.Нёта | 57 | To же | |
| I-3 | 4 | Водораздел рек Омтаги и Ник.Омтаги | 59 | В элювии | |
| I-3 | 5 | Левобережье р.Ник.Омтаги | 59 | To же | |
| I-4 | 1 | Истоки руч.Ультика | 59 | " | |
| II-2 | 1 | Левобережье приступьевской части р.Нёта | 57 | В коренном выходе | |
| II-3 | 2 | Приступьевая часть руч.Уман | 57 | To же | |
| IV-1 | 11 | Левобережье р.Джагды | 36 | В элювии | |
| IV-2 | 7 | Правобережье р.Бод.Комыя Против устья р.Джагды | 36 | В коренном выходе | |
| IV-3 | 13 | Левобережье верхнего течения р.Мал.Комыя | 55 | В элювии | |

Приложение 5

СПИСОК ГЕОХИМИЧЕСКИХ АНОМАЛИЙ,
ПОКАЗАННЫХ НА ЛИСТАХ 0-53-ХШ, 0-53-ХХГУ
ГЕОЛОГИЧЕСКОЙ КАРТЫ МАСШТАБА 1:200 000

| Индекс клетки на карте | № на карте | Вид полезного иско- емого и местонахождение геохимической аномалии | Ссылка на литературу (номер по списку) | Примечание | III-3 | 6 | Правобережье среднего текуща р.Мал.Колы (Одуковская группа) | 55,59 | В элювиаль- ных развали- лах |
|---------------------------------|------------------|---|---|-----------------------------------|-------|----|---|-------|------------------------------------|
| I | 2 | 3 | 4 | 5 | III-3 | 7 | Там же | 55,59 | То же |
| III-4 | 3 | Лист 0-53-ХШ | 4 | 5 | III-3 | 8 | " | 55,59 | " |
| МЕТАЛЛИЧЕСКИЕ ИСКОПАЕМЫЕ | | | | | | | | | |
| Марганец | | | | | | | | | |
| III-4 | 3 | Левобережье пристуль- вой части р.Маямкан | 57 | В коренном залегании | III-3 | 9 | " | 55,59 | " |
| | | Золото | | | III-3 | 10 | " | 55,59 | " |
| II-3 | 5 | Междуречье Левого Не- шуйканы и Верх.Ини- канчана | 59 | В элювиаль- ных разва- лах | I | 2 | 3 | 4 | 5 |
| II-3 | 6 | Там же | 59 | To же | II | 3 | 4 | 5 | 6 |
| II-3 | 7 | " | 59 | " | II | 3 | 4 | 5 | 6 |
| II-4 | 4 | Правобережье р.Верх. Иниканана | 57 | В деляниаль- ных разва- лах | II | 3 | 4 | 5 | 6 |
| II-4 | 5 | Там же | 57 | To же | II | 3 | 4 | 5 | 6 |
| II-4 | 6 | " | 57 | " | II | 3 | 4 | 5 | 6 |
| II-2 | 1 | Левобережье р.Прав. Атти | 57 | " | II | 3 | 4 | 5 | 6 |
| IV-3 | 2 | Левобережье р.Нёга | 57 | " | II | 3 | 4 | 5 | 6 |
| | | Лист 0-53-ХХГУ | | | II | 3 | 4 | 5 | 6 |
| III-3 | 5 | Правобережье средне- него течения р.Мал. Комля (Одуковская группа) | 55,59 | В элювиаль- ных разва- лах | II | 3 | 4 | 5 | 6 |

Приложение 6

СИСТОМЫ И ГЕОДИНАМИЧЕСКИХ ОРЕМОВ,
ПОКАЗАННЫХ НА ЛИСТАХ 0-53-ХУ, 0-53-ХХУ
ГЕОЛОГИЧЕСКОЙ КАРТЫ МАСШТАБА 1:200 000

**СПИСОК ШЛЮХОВЫХ И ГЕОХИМИЧЕСКИХ ОРЕОЛОВ,
ПОКАЗАННЫХ НА ЛИСТАХ 0-53-ХIII, 0-53-ХIV
ГЕОЛОГИЧЕСКОЙ КАРТЫ МАСШТАБА 1:200 000**

| Лист 0-53-ХIII | | | | | Лист 0-53-ХIV | | | | |
|---------------------------------|------------------|--|---|--------------------------|---------------------------------|------------------|--|---|---------------------------------|
| Индекс клетки на карте | № на карте | Вид полезного ископае- мого и местонахождение (геохимиче- ского) ореола | Ссылка на литературу (номер по списку) | Примечание | Индекс клетки на карте | № на карте | Вид полезного ископае- мого и местонахождение (геохимиче- ского) ореола | Ссылка на литературу (номер по списку) | Индекс клетки на карте |
| I | 2 | Лист 0-53-ХIII | | | IV-4 | 1 | Правобережье р.Нерури в Верховьях | Олово | 57 |
| I-3 | 1 | МЕТАЛИЧЕСКИЕ ИСКОПАЕМЫЕ Вольфрам р.Аркакан | 43 | Шлюховой ореол | IV-1 | 6 | Междуречье Джагди и Курьи | Молибден Вольфрам | 55 |
| III-4 | 2 | Левобережье устья р.Магманка | 57 | Геохимиче- ский ореол | I-2 | 4 | Левобережье нижнего текущия р.Нёта | Вольфрам Золото | 57 |
| I-2 | 1 | Правобережье р.Мал р.Инхана | 52 | Шлюховой ореол | I-2 | 2 | Верховья руч.Нерун- дакан | Золото | 57 |
| I-4 | 2 | Нижнее течение р.Инхана | 43, 52, 53, 55 | То же | I-2 | 2 | Нижнее течение руч.Золонар | Золото | 57 |
| II-3 | 1 | Среднее течение руч.Лев.Немуйкан | 43, 52, 53, 55 | | I-3 | 1 | Левобережье р.Нёта | Геохимиче- ский ореол | 40, 43, 44 |
| II-4 | 2 | Руч.Верх.Инханчан | 43, 52, 53, 55 | " | I-3 | 1 | Правобережье р.Нёта р.Лоты | Геохимиче- ский ореол | 57 |
| III-3 | 3 | Верховья р.Прав. Айли | 57 | Геохимиче- ский ореол | II-3 | 1 | Прудовая часть Среднее течение р.Мал.Комуя | То же | 35, 55 |
| IV-3 | 1 | Левобережье р.Нёта против руч.Курель- кан | 43 | Шлюховой ореол | III-3 | 2 | Там же | | 55 |

| I | 2 | 3 | 4 | 5 |
|------|---|---|-------|------------------|
| IV-2 | 3 | Нижнее течение р.Бол. Комыя | 36,55 | Шиховой Ореол |
| I | 1 | Бораты Междуречье бол. и Мал. Комыя | 35,36 | Шиховой Ореол |

В брошюре пронумеровано 119 стр.

Редактор И.С.Кудорова
технический редактор С.Г.Воронина

Сдано в печать 17.02.88.
Полисано к печати 14.05.88.

Центральное специализированное производственное хозрасчетное предприятие
ООБЩЕСТВО С ОГРАНИЧЕННОЙ ОТВЕТСТВЕННОСТЬЮ "Союз-Эмбонд"